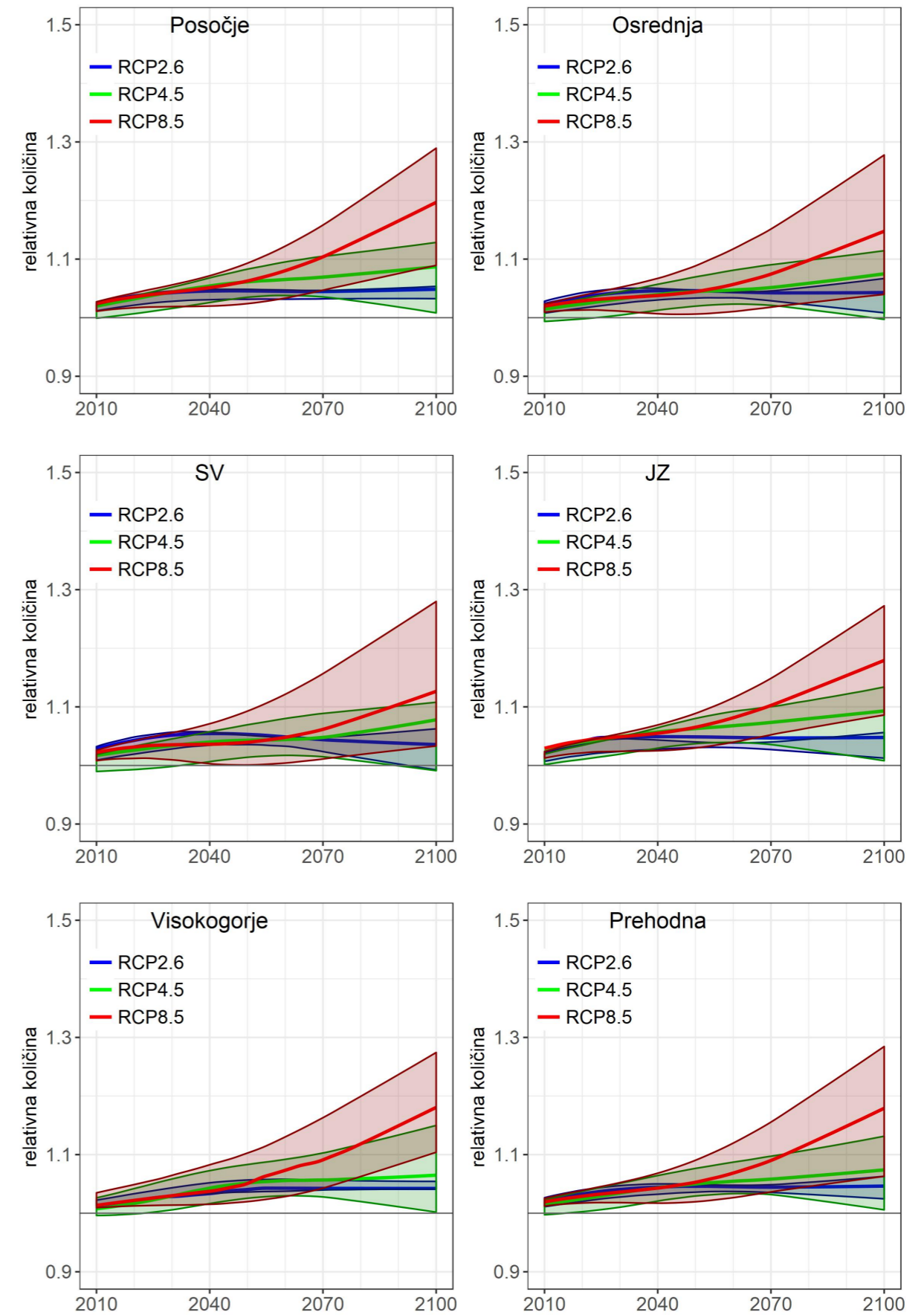


## PRILOGA 3: SPREMEMBE VODNE BILANCE

V prilogi 3 so predstavljene projekcije spremenljivk, ki opisujejo vodno bilanco: referenčna evapotranspiracija, vodni primanjkljaj in napajanje podzemnih voda.

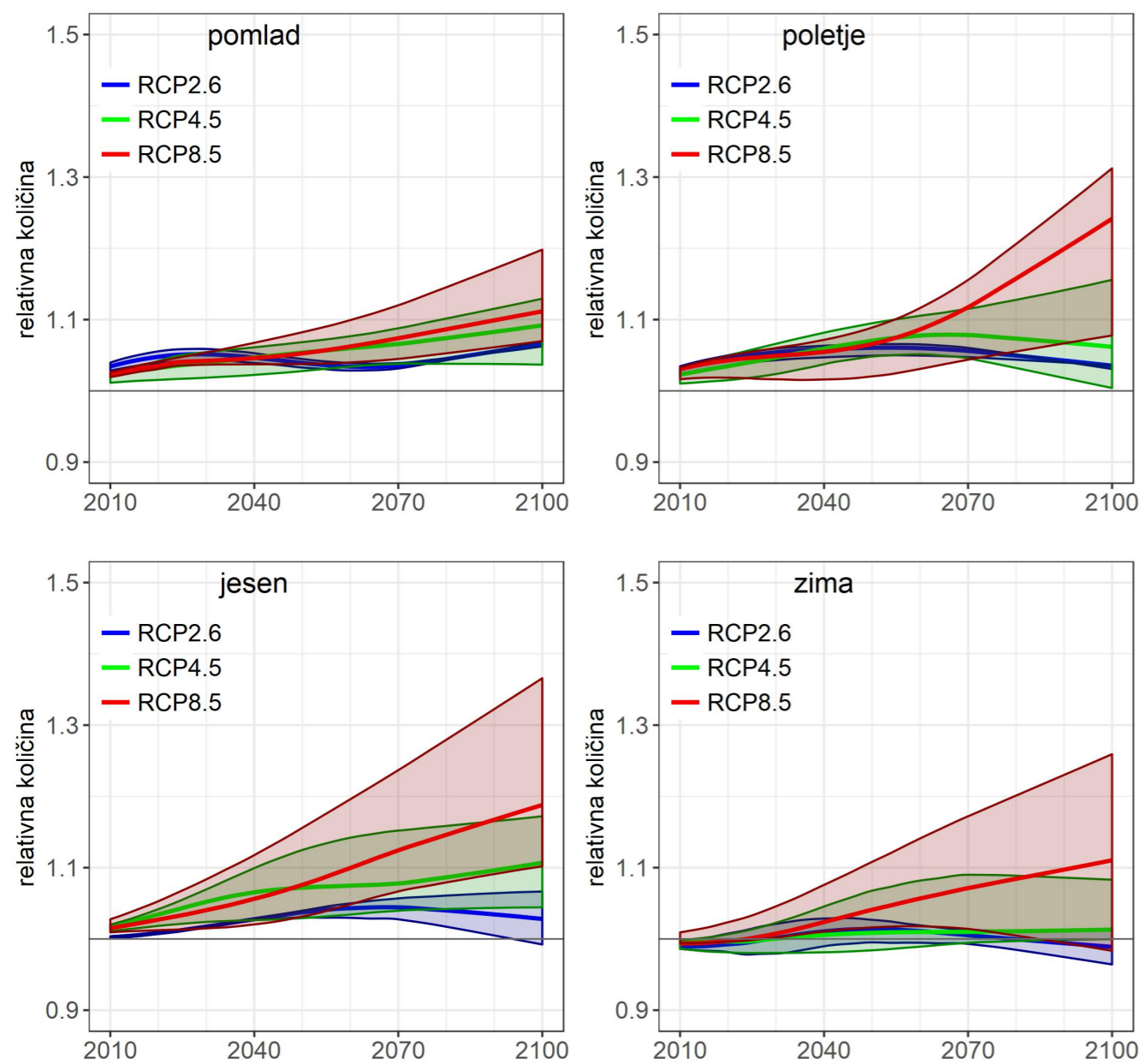
<b>ČASOVNI POTEKI</b>	<b>445</b>
EVAPOTRANSPIRACIJA	445
<b>SREDNJE SPREMEMBE Z ZANESLJIVOSTJO</b>	<b>454</b>
EVAPOTRANSPIRACIJA	454
VODNI PRIMANJKLJAJ	470
<b>RAZPONI SPREMEMB</b>	<b>494</b>
EVAPOTRANSPIRACIJA	494
NAPAJANJE PODZEMNIH VODA	504
<b>POVPREČNI RAZPONI SPREMEMB PO REGIJAH</b>	<b>508</b>
EVAPOTRANSPIRACIJA	508
<b>TRENDI Z ZANESLJIVOSTJO</b>	<b>510</b>
VODNI PRIMANJKLJAJ	510
<b>PREGLEDNICE</b>	<b>518</b>
EVAPOTRANSPIRACIJA	518
NAPAJANJE PODZEMNIH VODA	521
TRENDI NAJVEČJEGA VODNEGA PRIMANJKLJAJA	522

### Referenčna evapotranspiracija



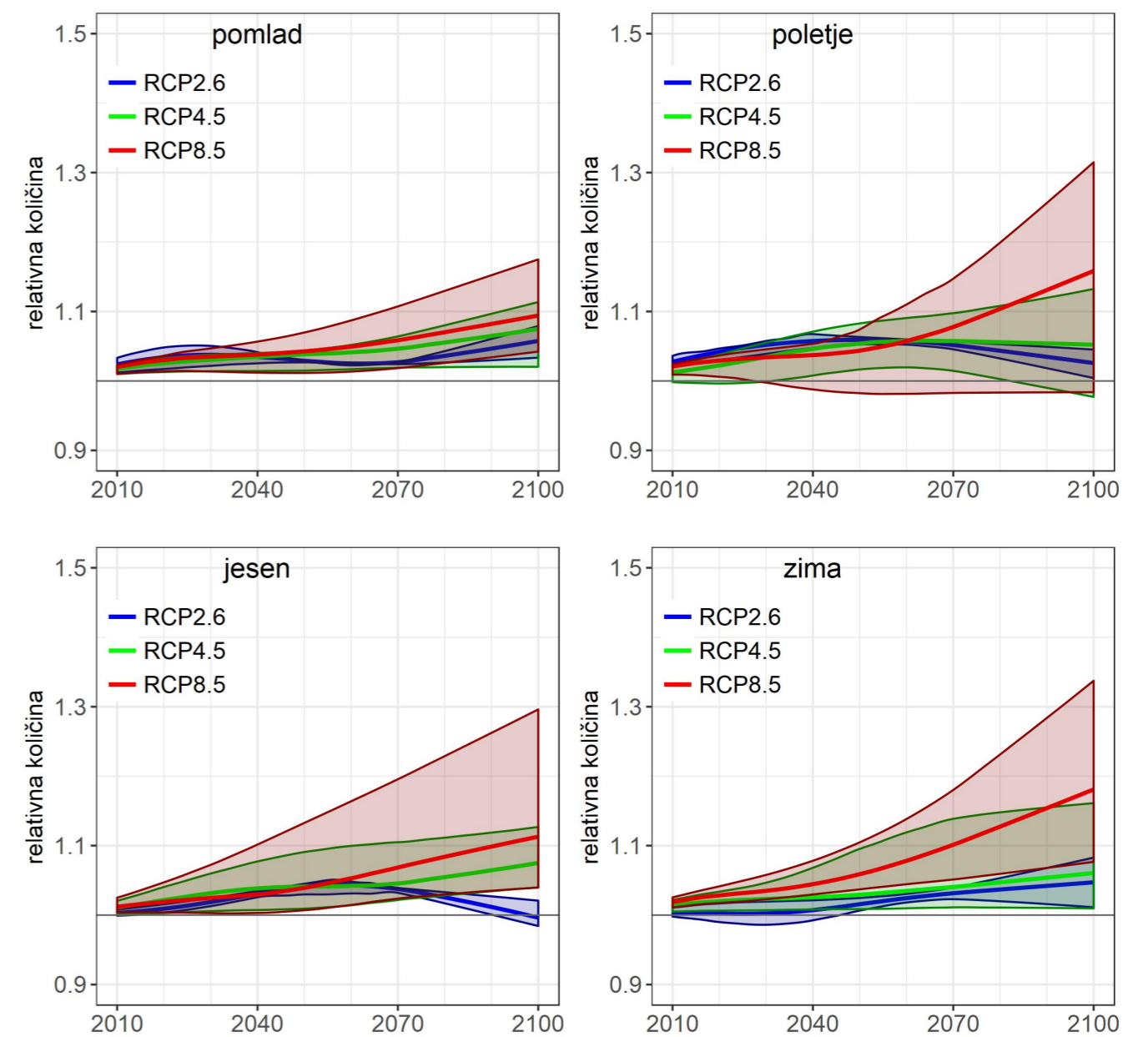
Slika 3.1 | Časovni potek spremembe letne evapotranspiracije do konca 21. stoletja v regijah Slovenije za tri scenarije, vključno z razponi odstopanj. Prikazana je relativna vrednost glede na povprečje v obdobju 1981–2010. Črte prikazujejo glajeno mediano modelskih projekcij, zgornji in spodnji rob ovojnice največjo in najmanjšo vrednost modelskih projekcij.

Referenčna evapotranspiracija, Posočje



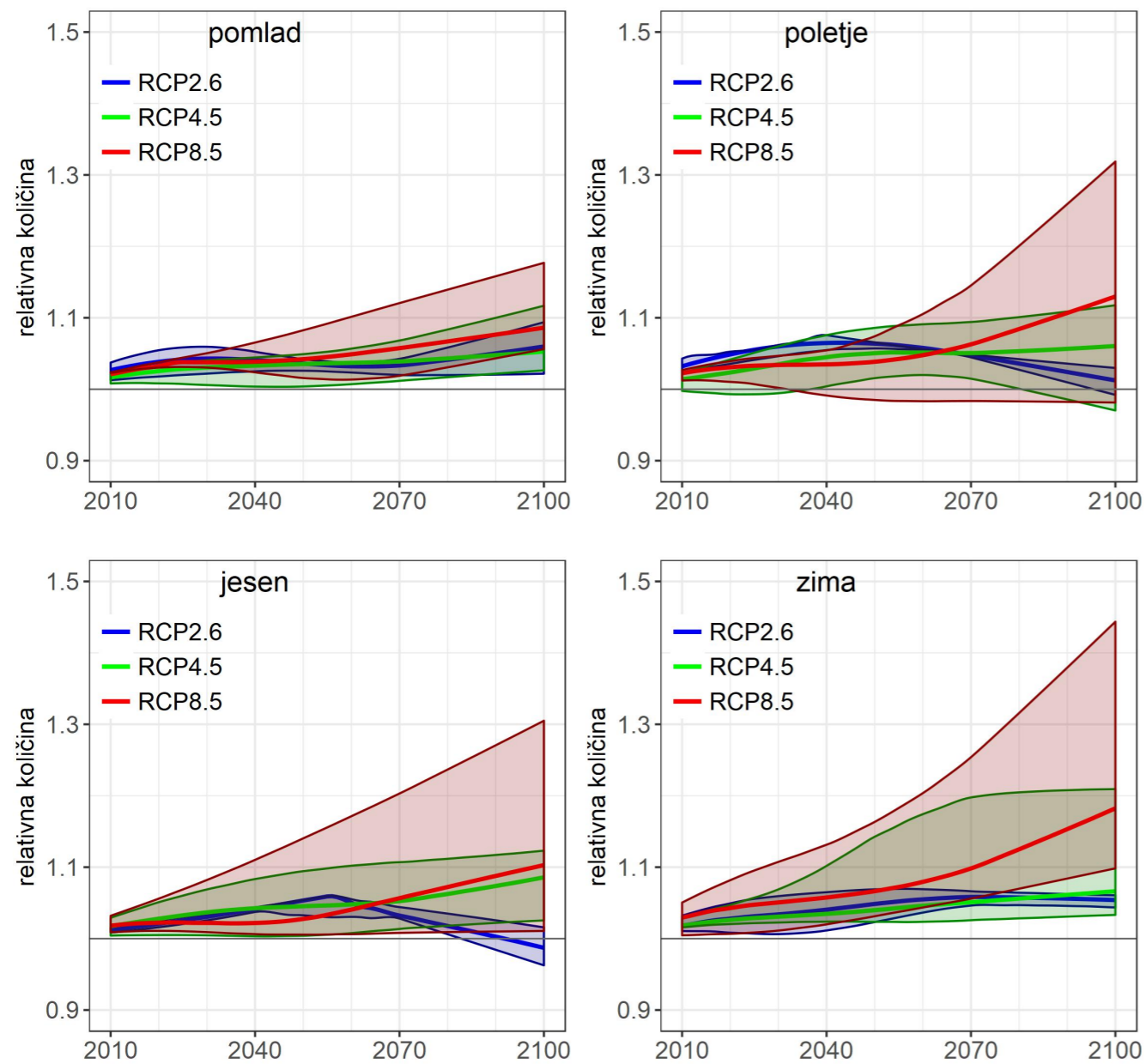
Slika 3.2 | Časovni potek spremembe evapotranspiracije po meteoroloških letnih časih do konca 21. stoletja v regiji Posočje za tri scenarije, vključno z razponi odstopanj. Prikazana je relativna vrednost glede na povprečje v obdobju 1981–2010. Črte prikazujejo glajeno mediano modelskih projekcij, zgornji in spodnji rob ovojníc največjo in najmanjšo vrednost modelskih projekcij.

Referenčna evapotranspiracija, osrednja regija



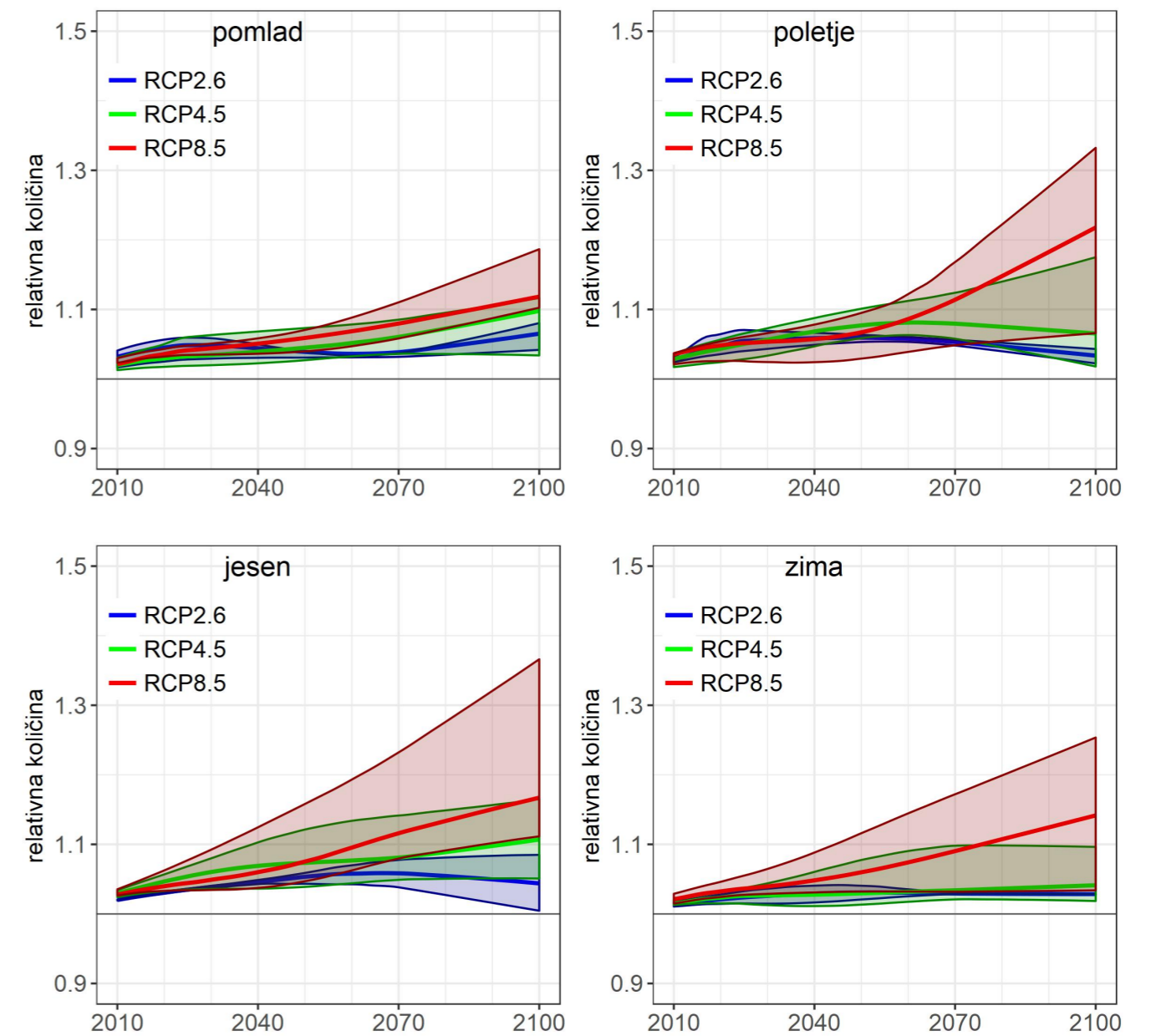
Slika 3.3 | Časovni potek spremembe evapotranspiracije po meteoroloških letnih časih do konca 21. stoletja v osrednji regiji za tri scenarije, vključno z razponi odstopanj. Prikazana je relativna vrednost glede na povprečje v obdobju 1981–2010. Črte prikazujejo glajeno mediano modelskih projekcij, zgornji in spodnji rob ovojníc največjo in najmanjšo vrednost modelskih projekcij.

Referenčna evapotranspiracija, severovzhodna regija



Slika 3.4 | Časovni potek spremembe evapotranspiracije po meteoroloških letnih časih do konca 21. stoletja v severovzhodni regiji za tri scenarije, vključno z razponi odstopanj. Prikazana je relativna vrednost glede na povprečje v obdobju 1981–2010. Črte prikazujejo glajeno mediano modelskih projekcij, zgornji in spodnji rob ovojníc največjo in najmanjšo vrednost modelskih projekcij.

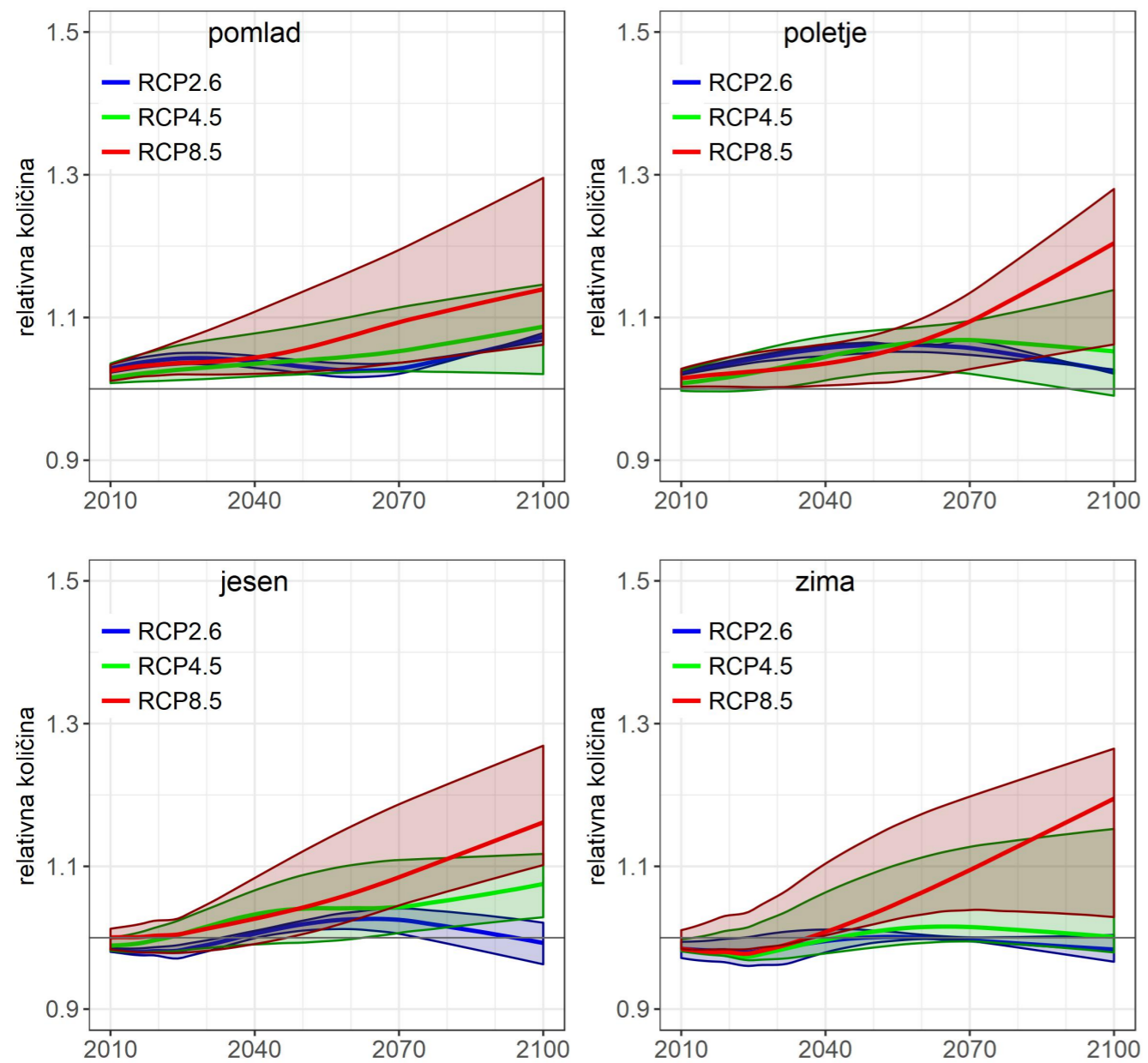
Referenčna evapotranspiracija, jugozahodna regija



Slika 3.5 | Časovni potek spremembe evapotranspiracije po meteoroloških letnih časih do konca 21. stoletja v jugozahodni regiji za tri scenarije, vključno z razponi odstopanj. Prikazana je relativna vrednost glede na povprečje v obdobju 1981–2010. Črte prikazujejo glajeno mediano modelskih projekcij, zgornji in spodnji rob ovojníc največjo in najmanjšo vrednost modelskih projekcij.

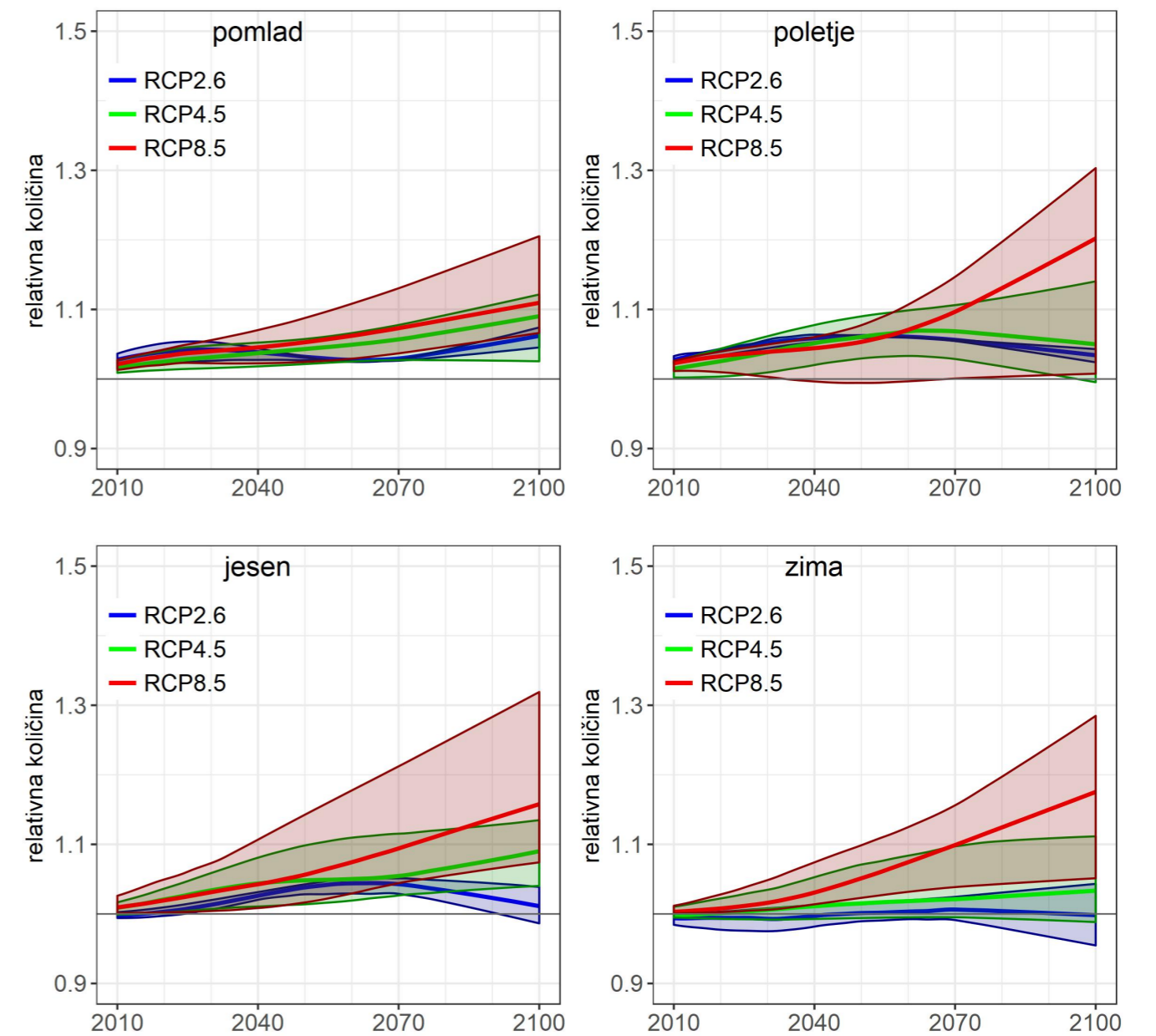


Referenčna evapotranspiracija, visokogorje



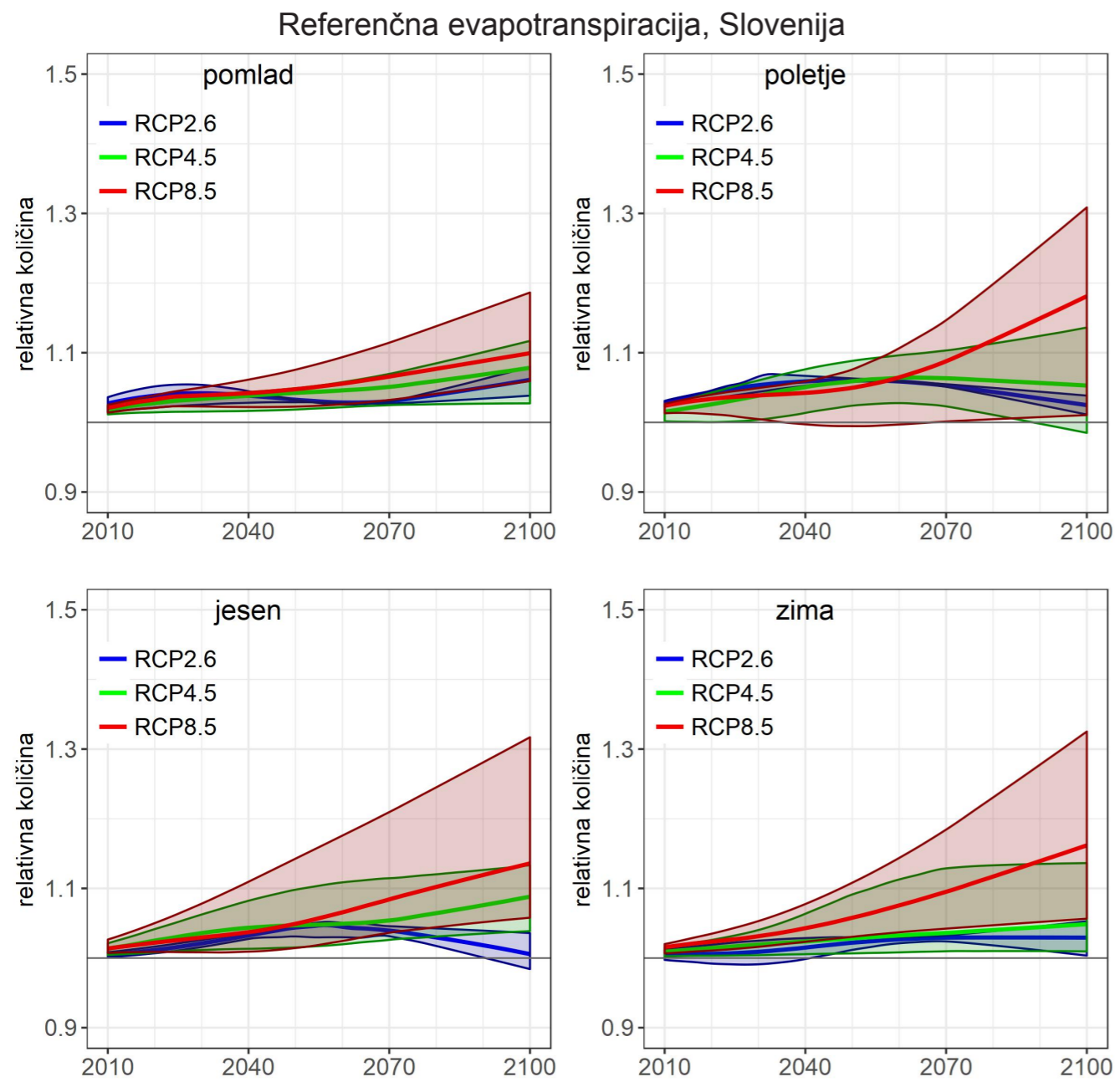
Slika 3.6 | Časovni potek spremembe evapotranspiracije po meteoroloških letnih časih do konca 21. stoletja v regiji visokogorje za tri scenarije, vključno z razponi odstopanj. Prikazana je relativna vrednost glede na povprečje v obdobju 1981–2010. Črte prikazujejo glajeno mediano modelskih projekcij, zgornji in spodnji rob ovojníc največjo in najmanjšo vrednost modelskih projekcij.

Referenčna evapotranspiracija, prehodna regija



Slika 3.7 | Časovni potek spremembe evapotranspiracije po meteoroloških letnih časih do konca 21. stoletja v prehodni regiji za tri scenarije, vključno z razponi odstopanj. Prikazana je relativna vrednost glede na povprečje v obdobju 1981–2010. Črte prikazujejo glajeno mediano modelskih projekcij, zgornji in spodnji rob ovojníc največjo in najmanjšo vrednost modelskih projekcij.





Slika 3.8 | Časovni potek spremembe evapotranspiracije po meteoroloških letnih časih do konca 21. stoletja v Sloveniji za tri scenarije, vključno z razponi odstopanj. Prikazana je relativna vrednost glede na povprečje v obdobju 1981–2010. Črte prikazujejo glajeno mediano modelskih projekcij, zgornji in spodnji rob ovojnici največjo in najmanjšo vrednost modelskih projekcij.

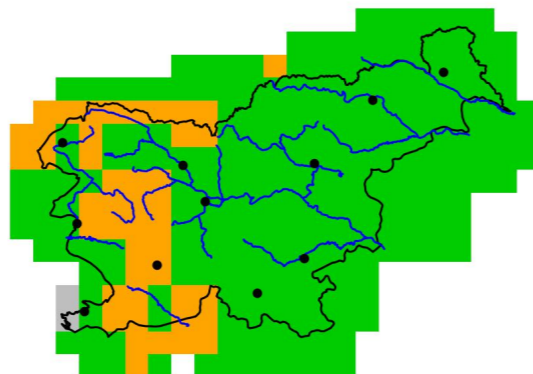
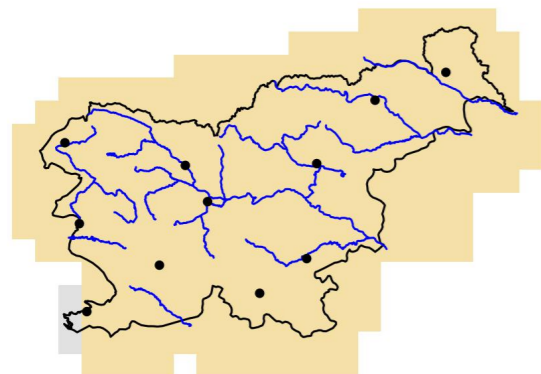
### Referenčna evapotranspiracija, RCP2.6, leto

Odklon glede na obdobje 1981–2010

Zanesljivost

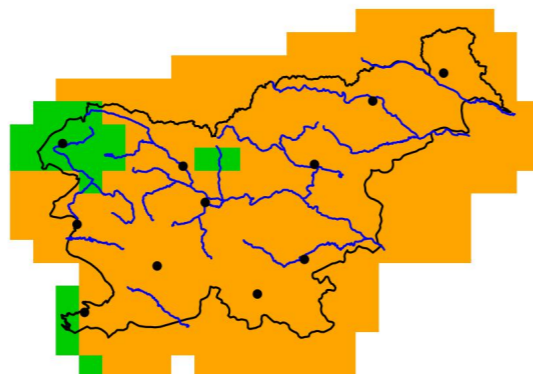
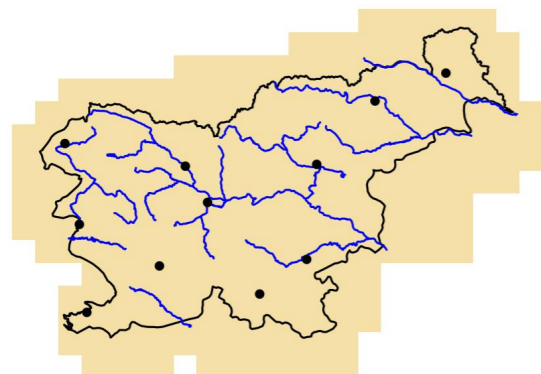
2011–2040

2011–2040



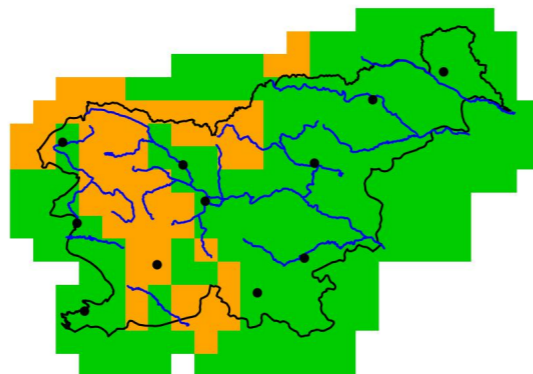
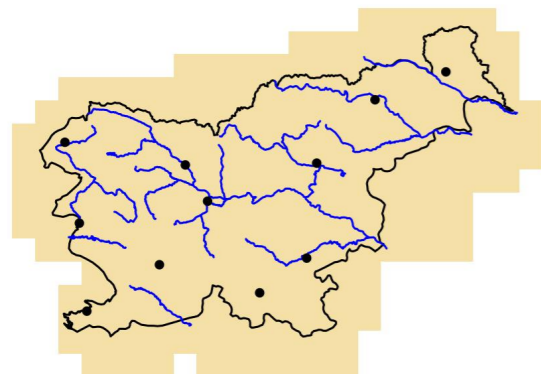
2041–2070

2041–2070

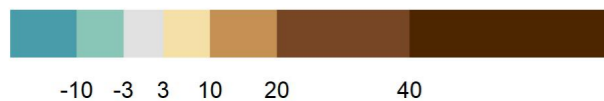


2071–2100

2071–2100



%



Slika 3.9 | Sprememba povprečne letne evapotranspiracije v treh projekcijskih obdobjih glede na obdobje 1981–2010 in pripadajoča zanesljivost spremembe za scenarij RCP2.6

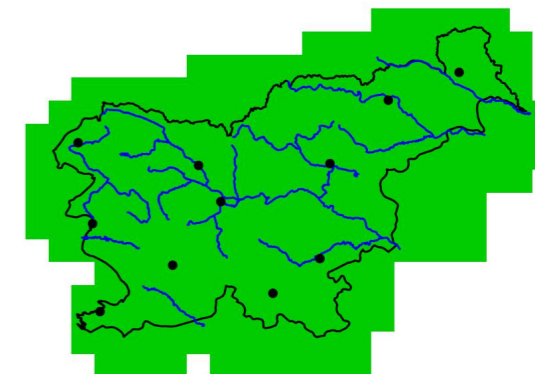
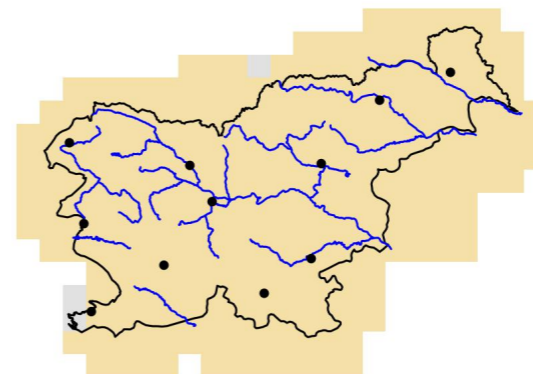
### Referenčna evapotranspiracija, RCP2.6, pomlad

Odklon glede na obdobje 1981–2010

Zanesljivost

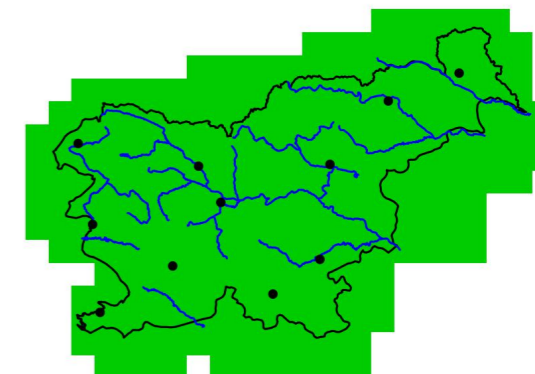
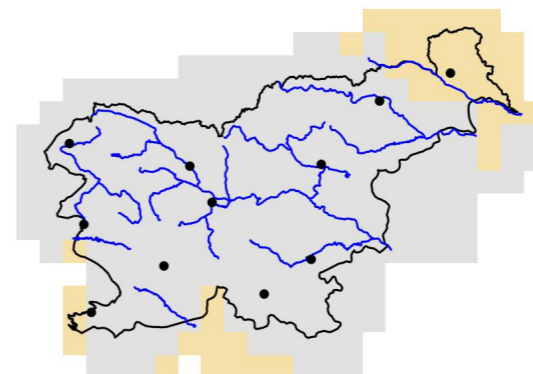
2011–2040

2011–2040



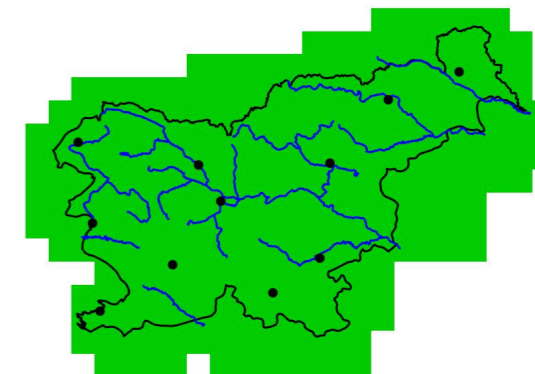
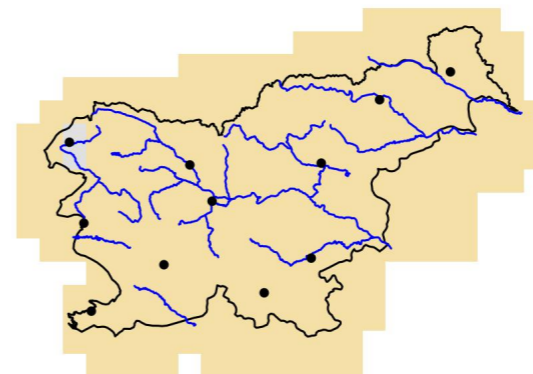
2041–2070

2041–2070

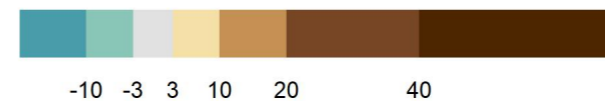


2071–2100

2071–2100



%



Slika 3.10 | Sprememba povprečne evapotranspiracije spomladi v treh projekcijskih obdobjih glede na obdobje 1981–2010 in pripadajoča zanesljivost spremembe za scenarij RCP2.6

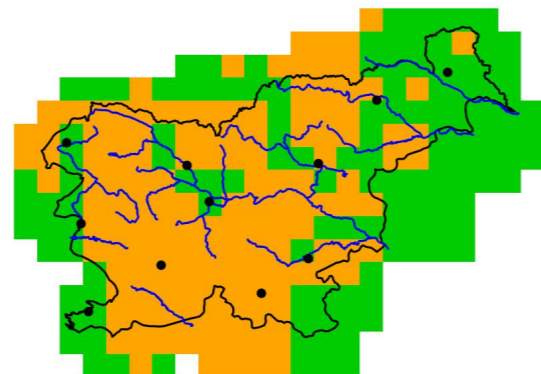
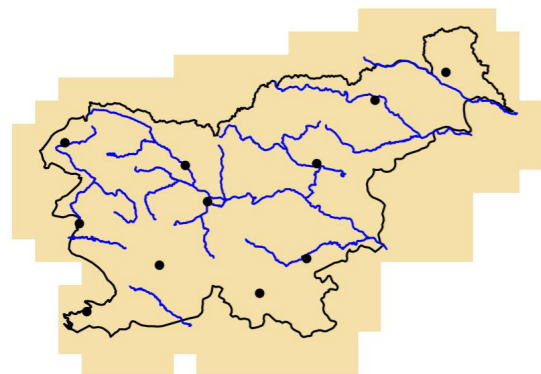
### Referenčna evapotranspiracija, RCP2.6, poletje

Odklon glede na obdobje 1981–2010

Zanesljivost

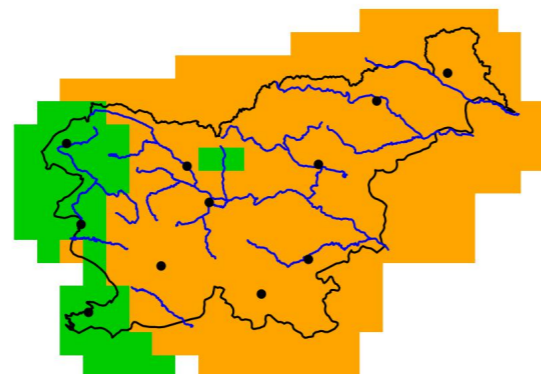
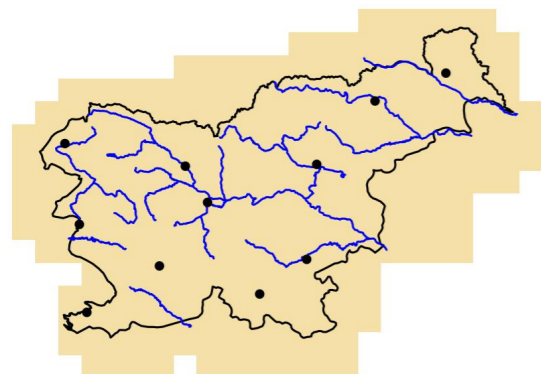
2011–2040

2011–2040



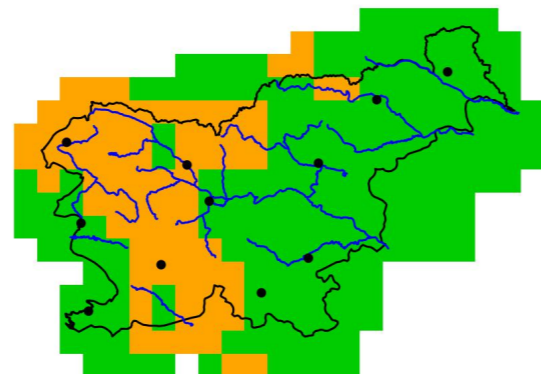
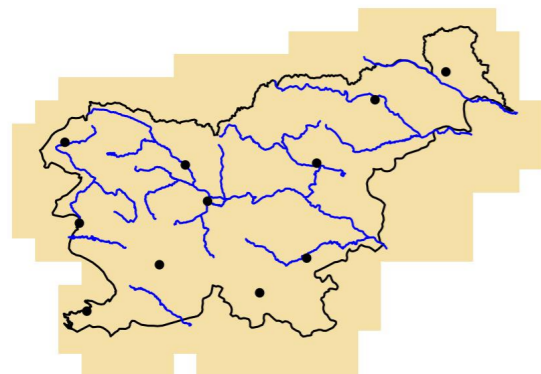
2041–2070

2041–2070

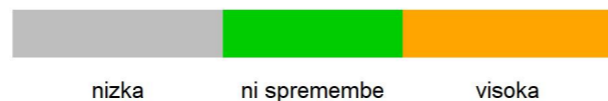
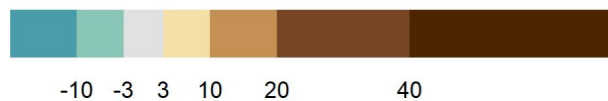


2071–2100

2071–2100



%



Slika 3.11 | Sprememba povprečne evapotranspiracije poleti v treh projekcijskih obdobjih glede na obdobje 1981–2010 in pripadajoča zanesljivost spremembe za scenarij RCP2.6

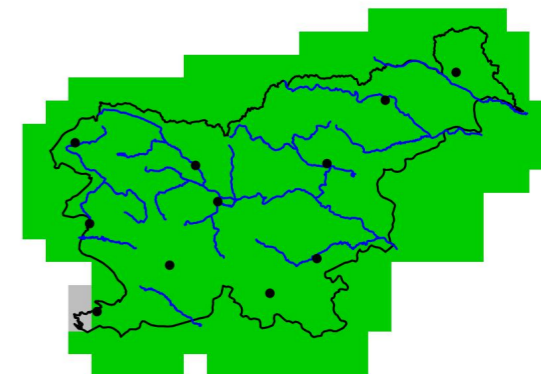
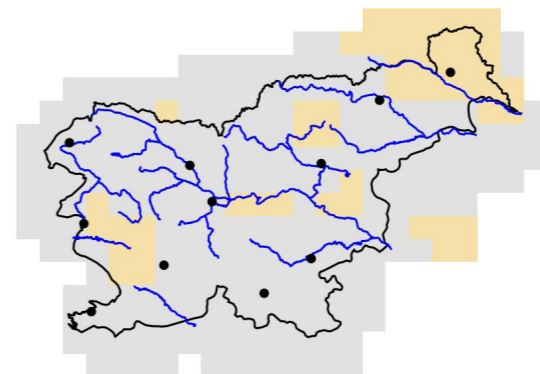
### Referenčna evapotranspiracija, RCP2.6, jesen

Odklon glede na obdobje 1981–2010

Zanesljivost

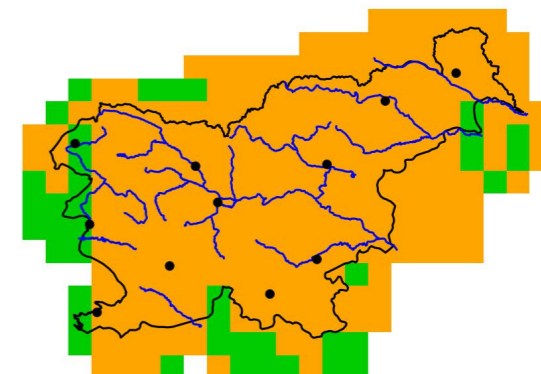
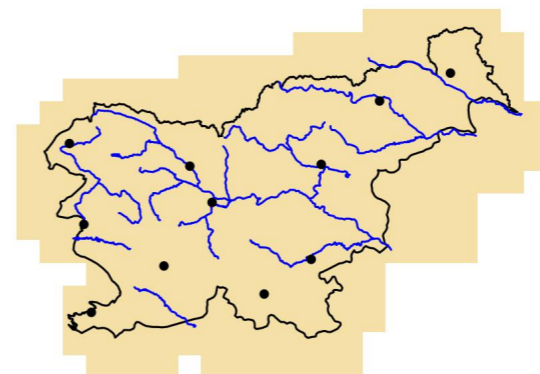
2011–2040

2011–2040



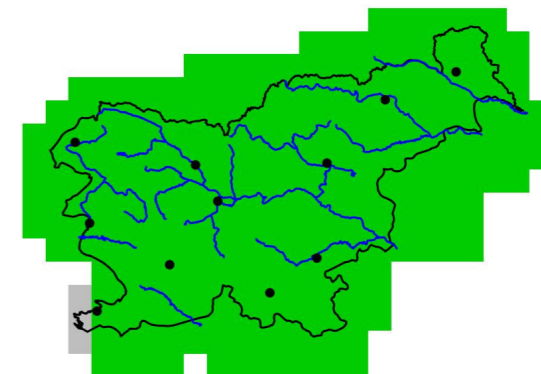
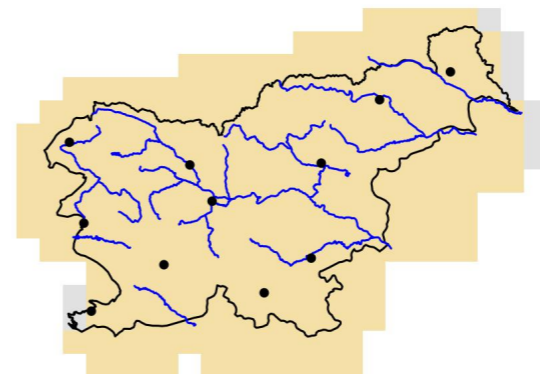
2041–2070

2041–2070

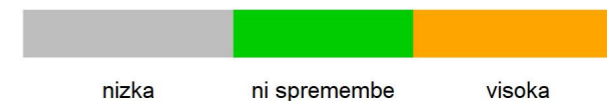
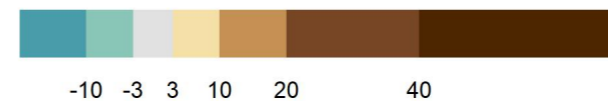


2071–2100

2071–2100



%



Slika 3.12 | Sprememba povprečne evapotranspiracije jeseni v treh projekcijskih obdobjih glede na obdobje 1981–2010 in pripadajoča zanesljivost spremembe za scenarij RCP2.6



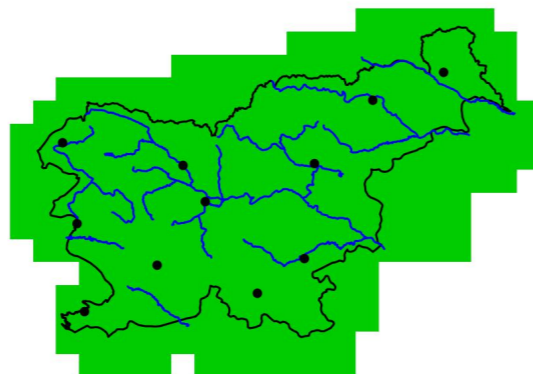
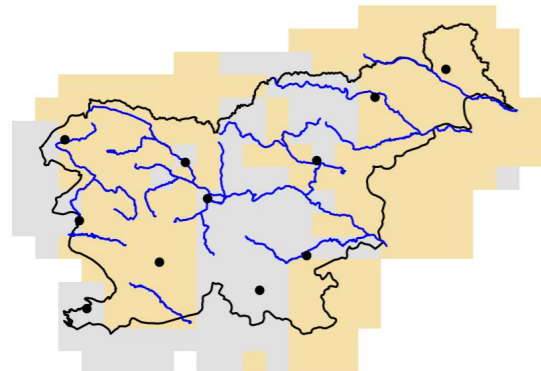
### Referenčna evapotranspiracija, RCP2.6, zima

Odklon glede na obdobje 1981–2010

Zanesljivost

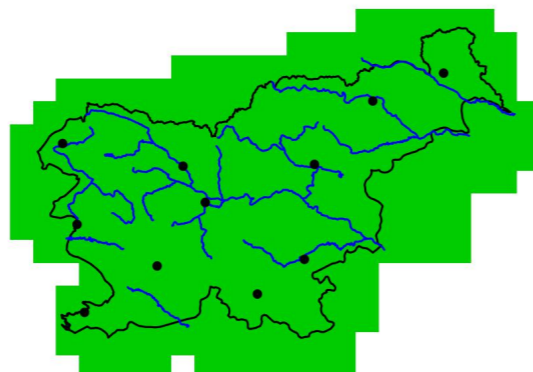
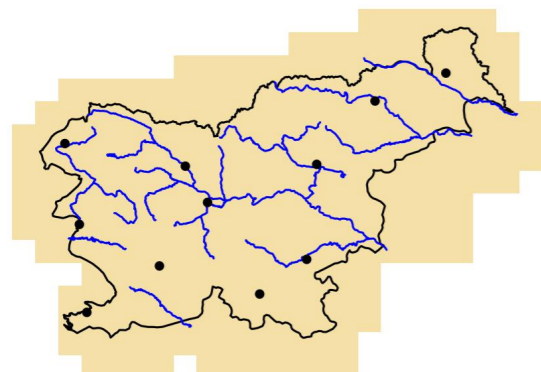
2011–2040

2011–2040



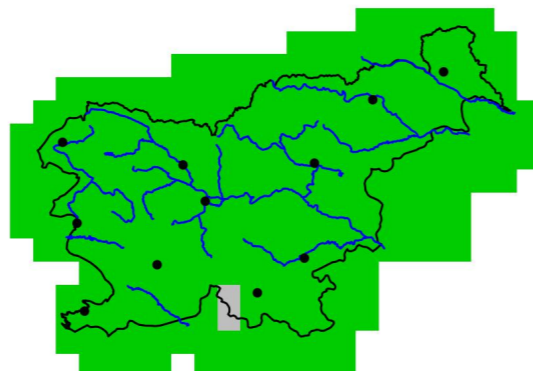
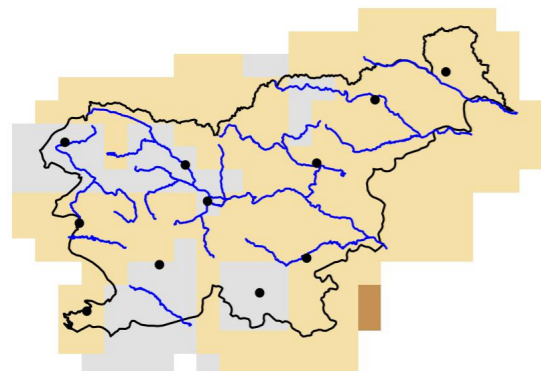
2041–2070

2041–2070

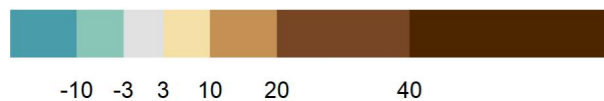


2071–2100

2071–2100



%



Slika 3.13 | Sprememba povprečne evapotranspiracije pozimi v treh projekcijskih obdobjih glede na obdobje 1981–2010 in pripadajoča zanesljivost spremembe za scenarij RCP2.6

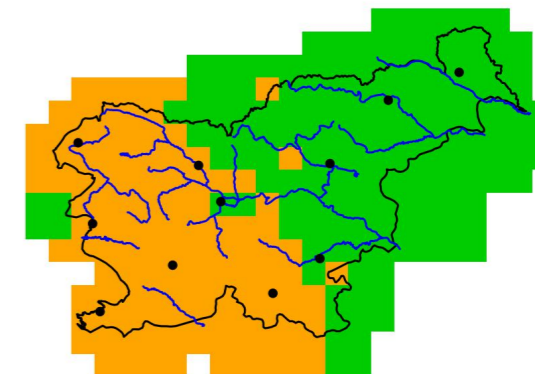
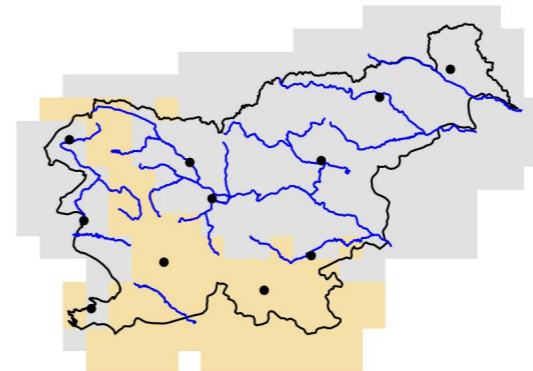
### Referenčna evapotranspiracija, RCP4.5, leto

Odklon glede na obdobje 1981–2010

Zanesljivost

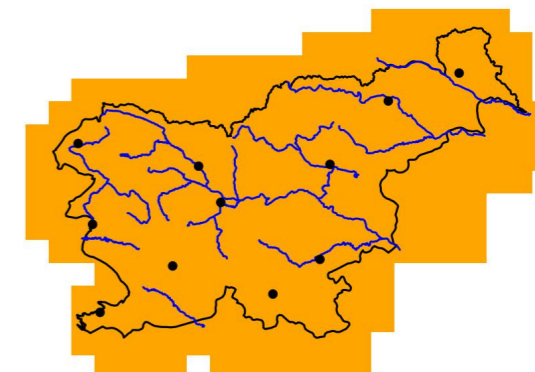
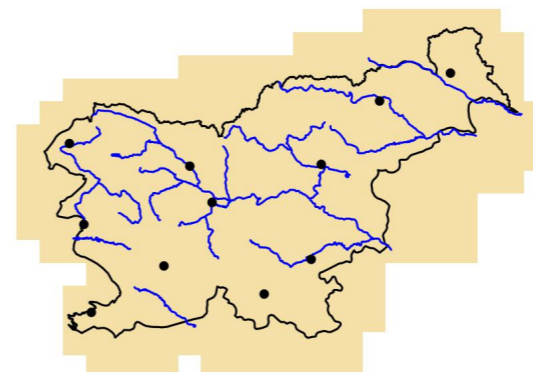
2011–2040

2011–2040



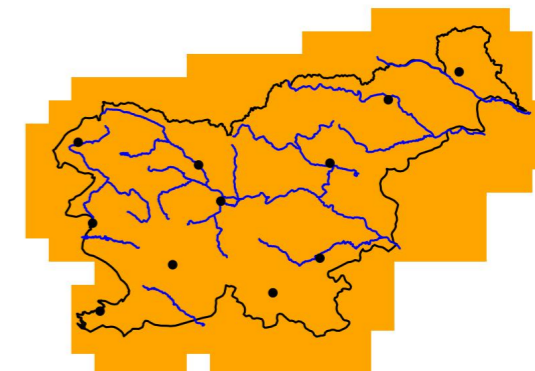
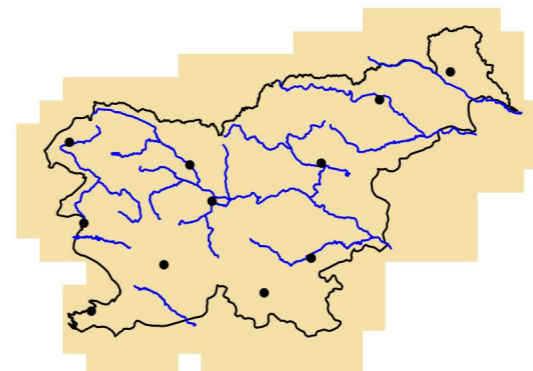
2041–2070

2041–2070

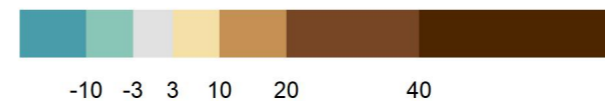


2071–2100

2071–2100

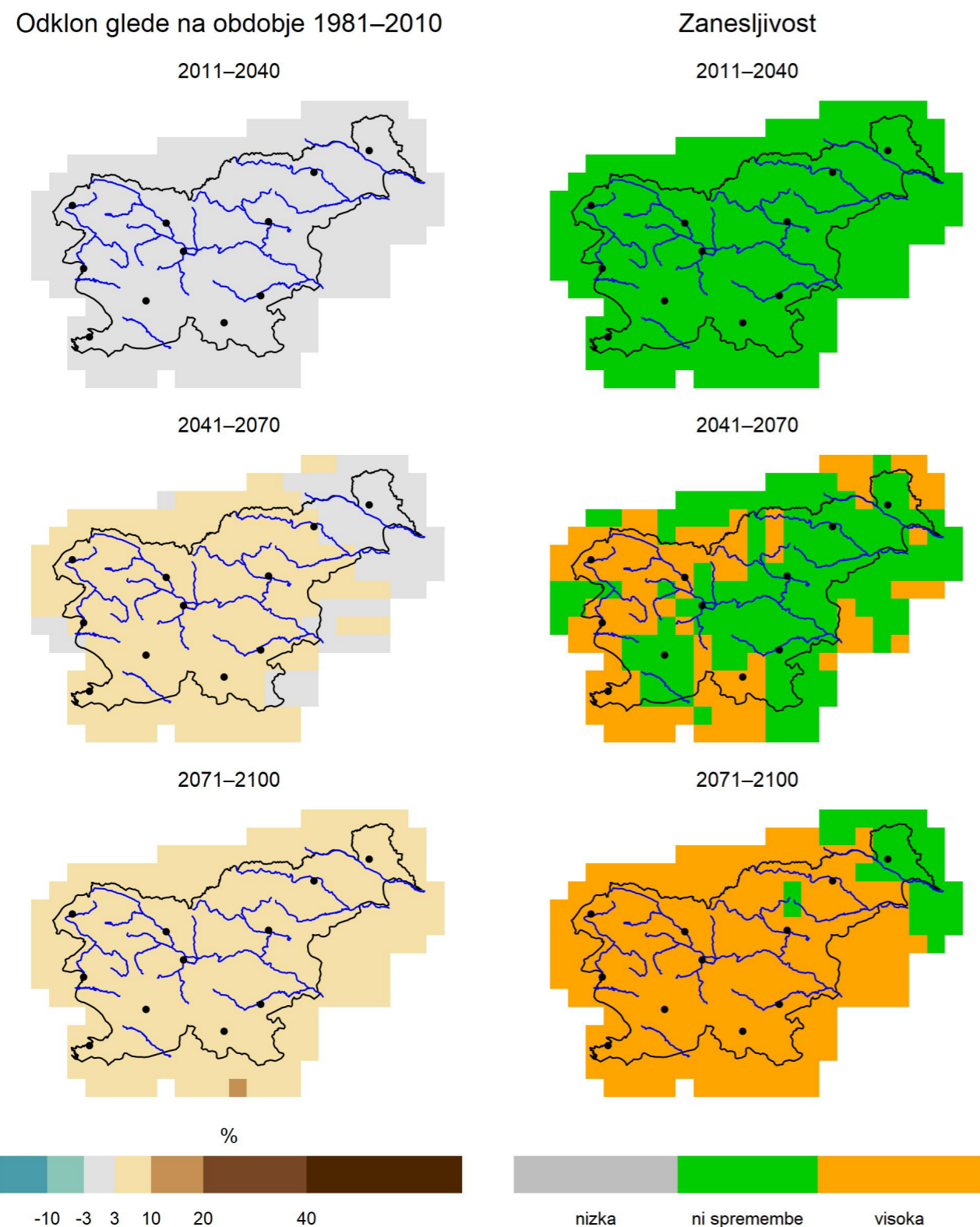


%



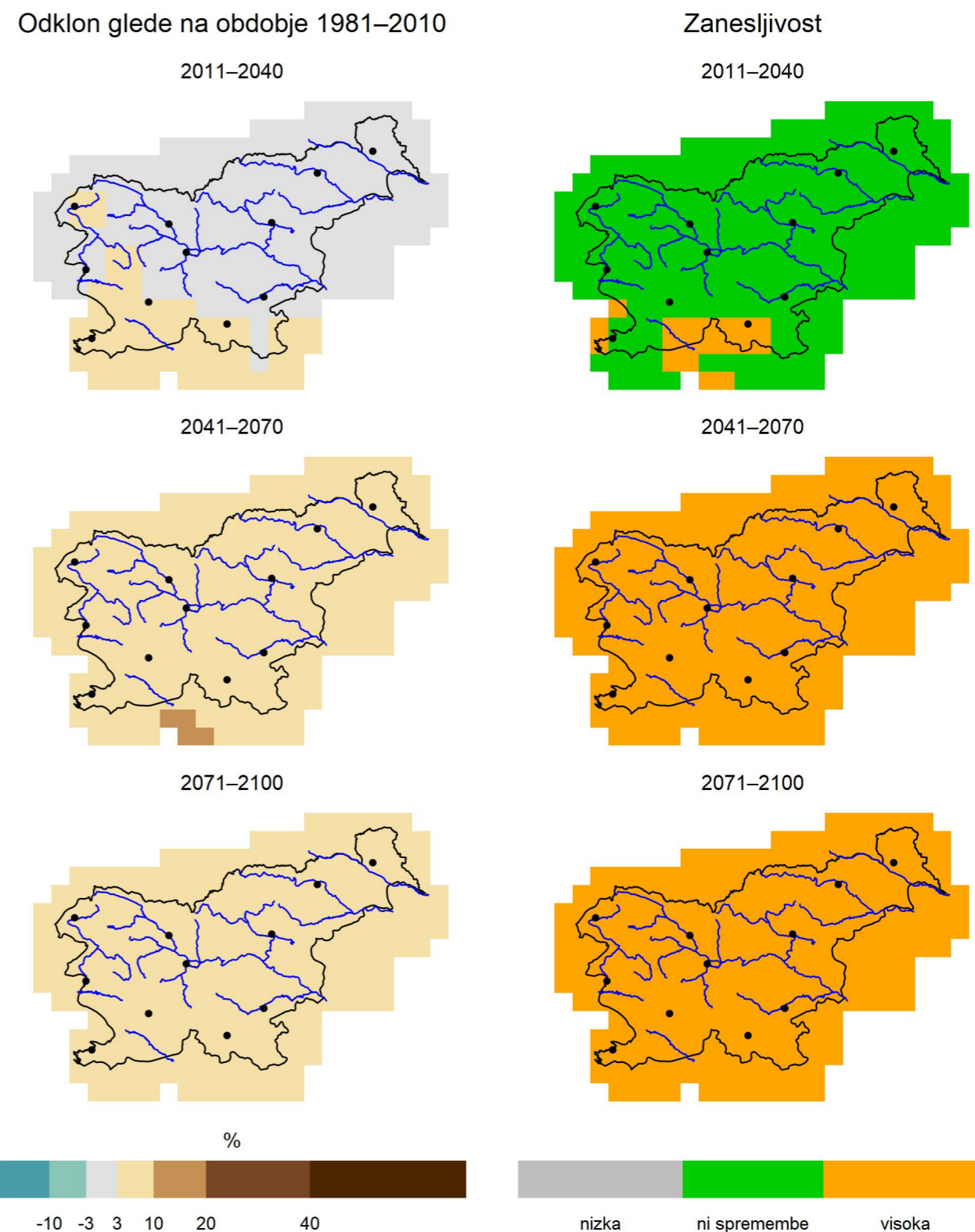
Slika 3.14 | Sprememba povprečne letne evapotranspiracije v treh projekcijskih obdobjih glede na obdobje 1981–2010 in pripadajoča zanesljivost spremembe za scenarij RCP4.5

### Referenčna evapotranspiracija, RCP4.5, pomlad



Slika 3.15 | Sprememba povprečne evapotranspiracije spomladi v treh projekcijskih obdobjih glede na obdobje 1981–2010 in pripadajoča zanesljivost spremembe za scenarij RCP4.5

### Referenčna evapotranspiracija, RCP4.5, poletje



Slika 3.16 | Sprememba povprečne evapotranspiracije poleti v treh projekcijskih obdobjih glede na obdobje 1981–2010 in pripadajoča zanesljivost spremembe za scenarij RCP4.5



### Referenčna evapotranspiracija, RCP4.5, jesen

### Referenčna evapotranspiracija, RCP4.5, zima

Odklon glede na obdobje 1981–2010

Zanesljivost

Odklon glede na obdobje 1981–2010

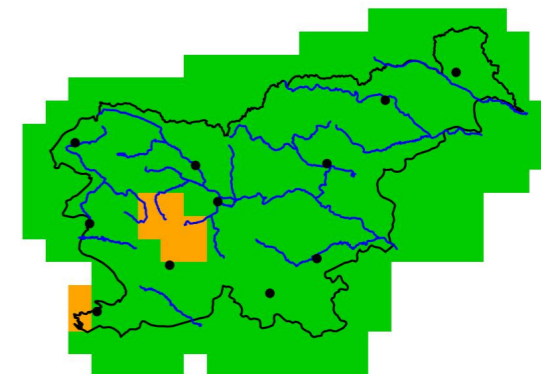
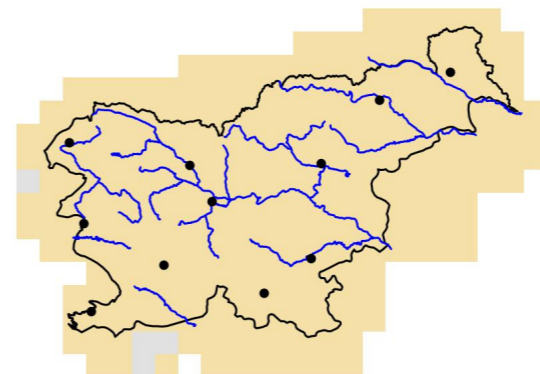
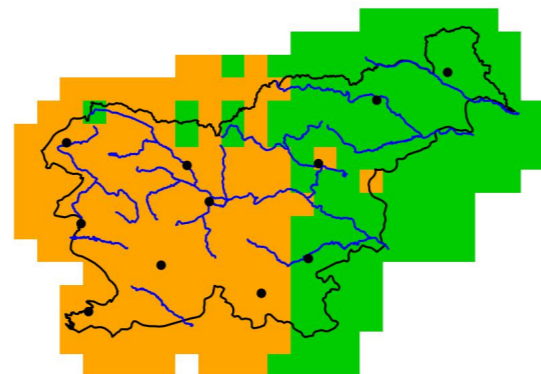
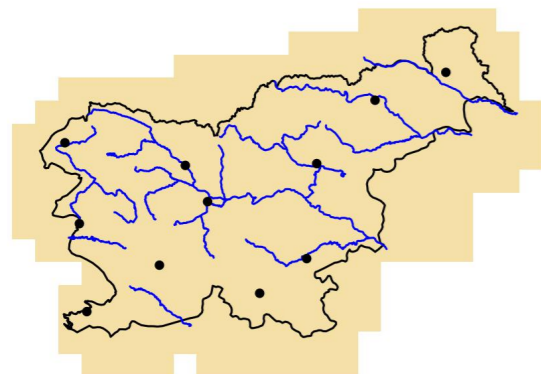
Zanesljivost

2011–2040

2011–2040

2011–2040

2011–2040

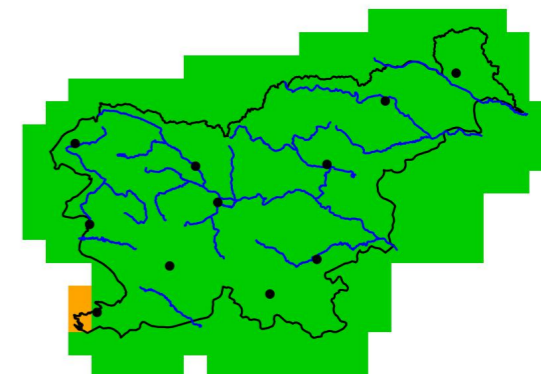
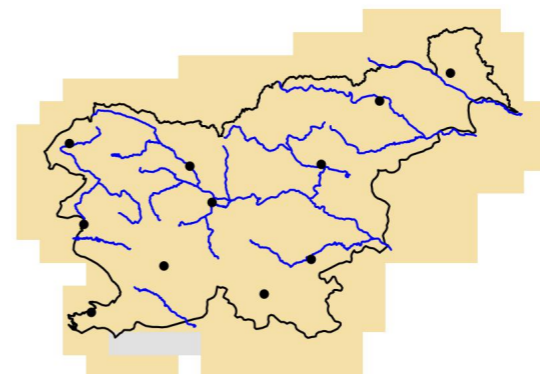
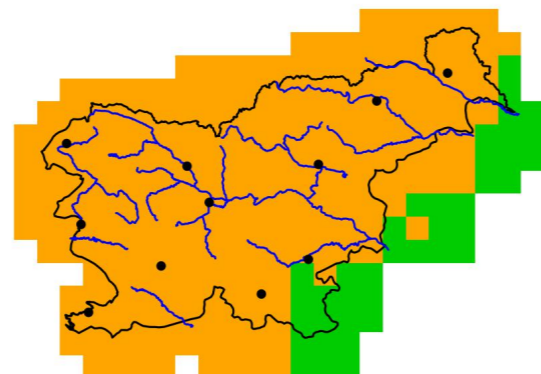
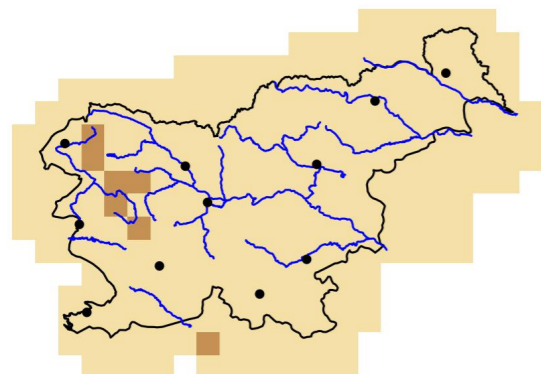


2041–2070

2041–2070

2041–2070

2041–2070

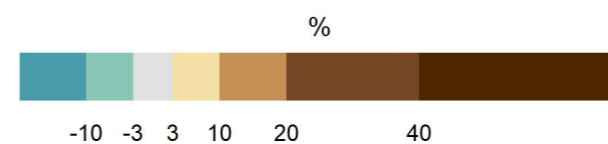
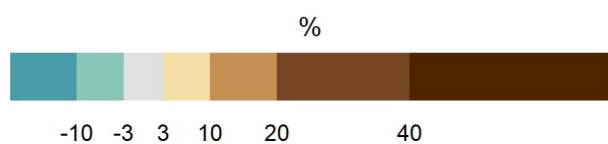


2071–2100

2071–2100

2071–2100

2071–2100



Slika 3.17 | Sprememba povprečne evapotranspiracije jeseni v treh projekcijskih obdobjih glede na obdobje 1981–2010 in pripadajoča zanesljivost spremembe za scenarij RCP4.5

Slika 3.18 | Sprememba povprečne evapotranspiracije pozimi v treh projekcijskih obdobjih glede na obdobje 1981–2010 in pripadajoča zanesljivost spremembe za scenarij RCP4.5



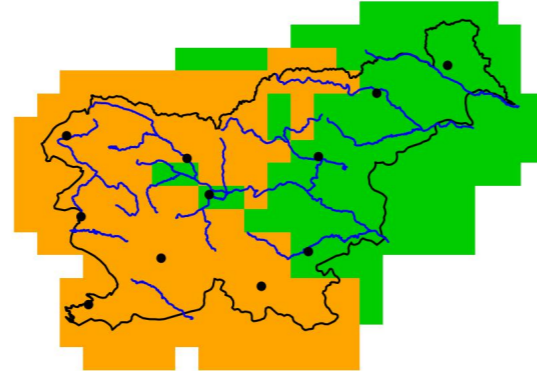
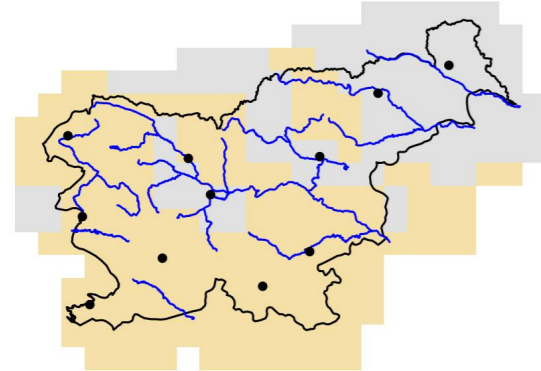
### Referenčna evapotranspiracija, RCP8.5, leto

Odklon glede na obdobje 1981–2010

Zanesljivost

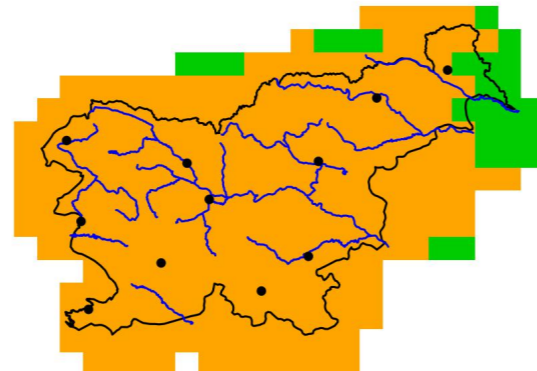
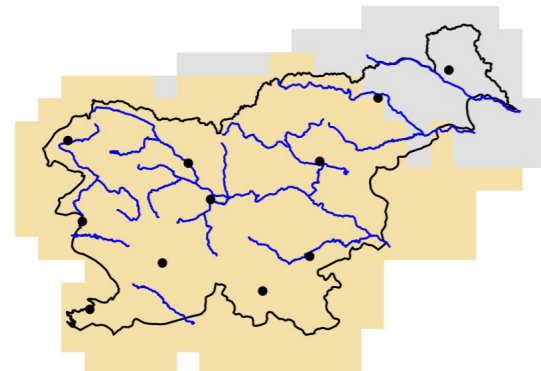
2011–2040

2011–2040



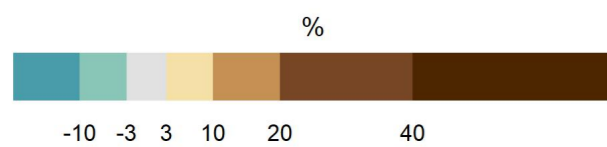
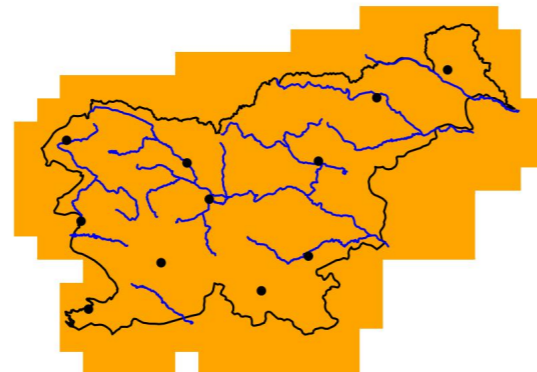
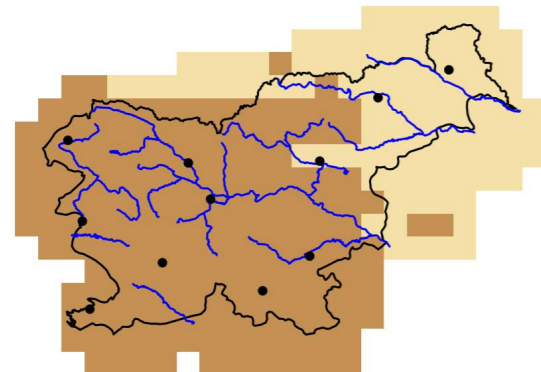
2041–2070

2041–2070



2071–2100

2071–2100



Slika 3.19 | Sprememba povprečne letne evapotranspiracije v treh projekcijskih obdobjih glede na obdobje 1981–2010 in pripadajoča zanesljivost spremembe za scenarij RCP8.5

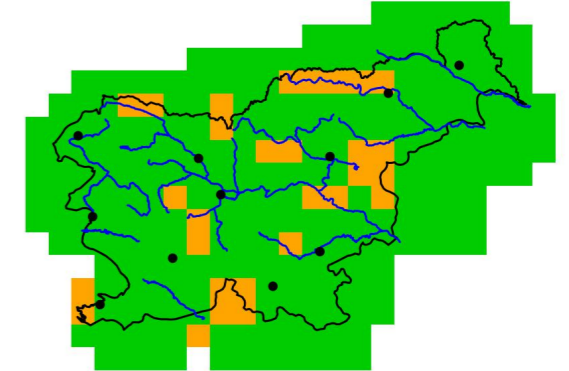
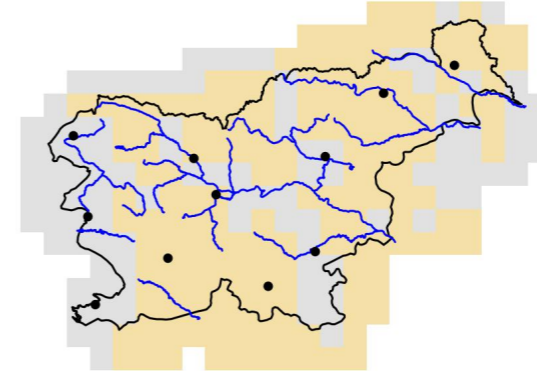
### Referenčna evapotranspiracija, RCP8.5, pomlad

Odklon glede na obdobje 1981–2010

Zanesljivost

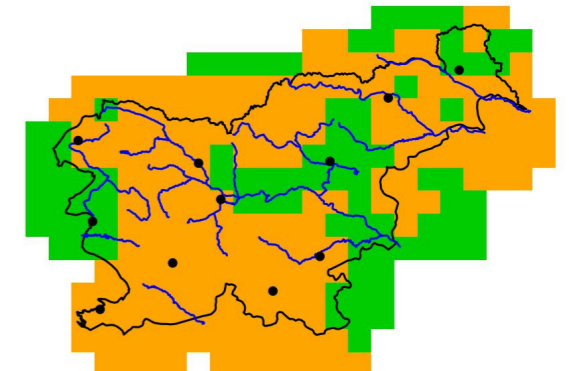
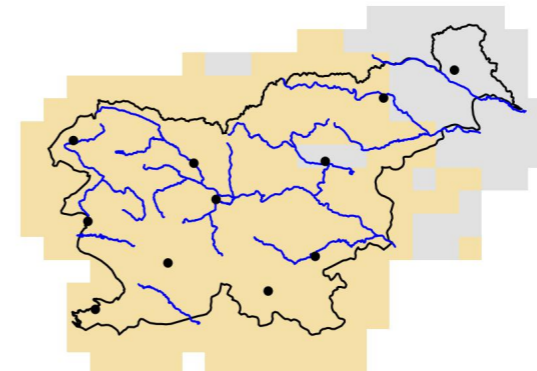
2011–2040

2011–2040



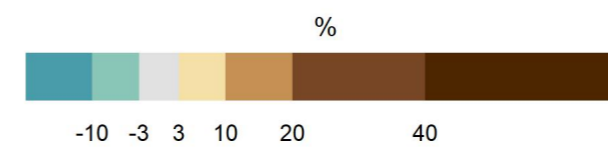
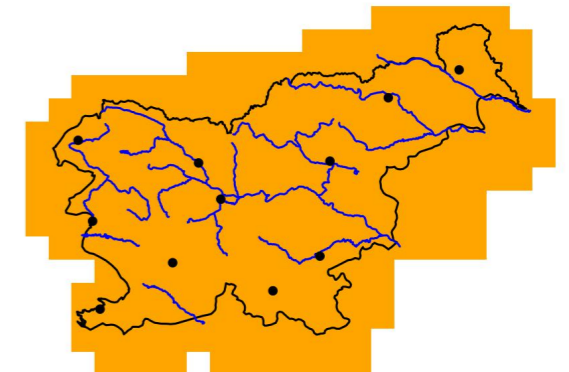
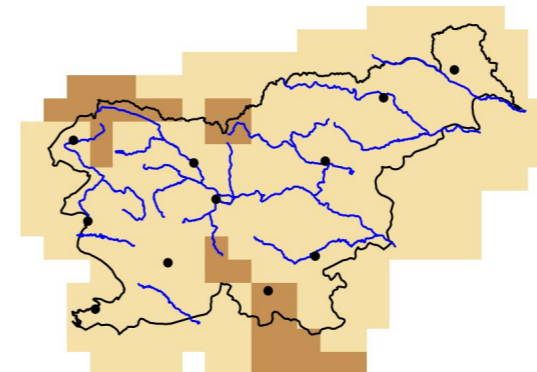
2041–2070

2041–2070



2071–2100

2071–2100



Slika 3.20 | Sprememba povprečne evapotranspiracije spomladi v treh projekcijskih obdobjih glede na obdobje 1981–2010 in pripadajoča zanesljivost spremembe za scenarij RCP8.5

### Referenčna evapotranspiracija, RCP8.5, poletje

### Referenčna evapotranspiracija, RCP8.5, jesen

Odklon glede na obdobje 1981–2010

Odklon glede na obdobje 1981–2010

2011–2040

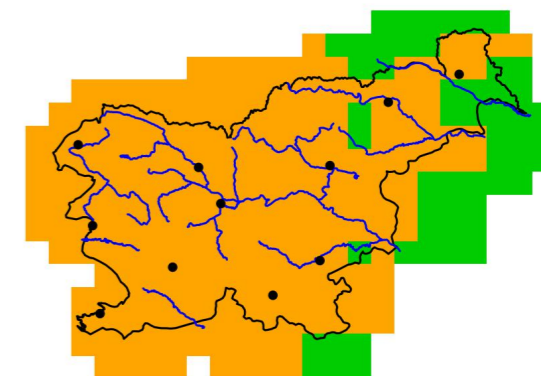
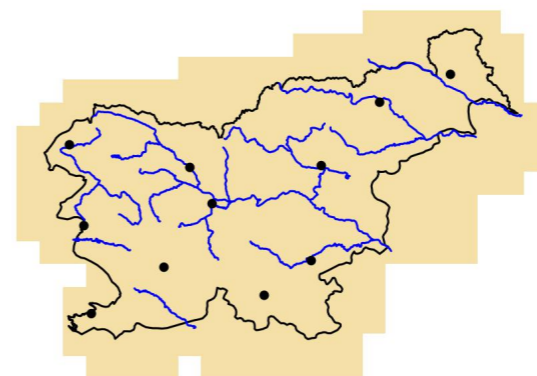
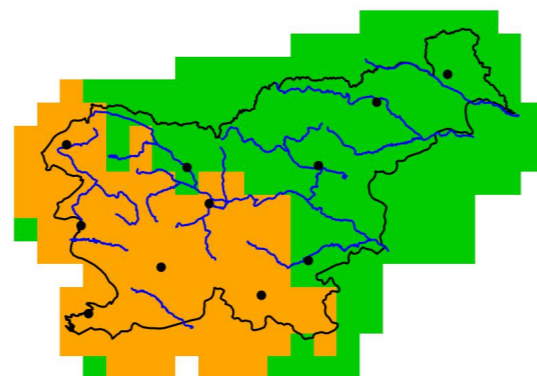
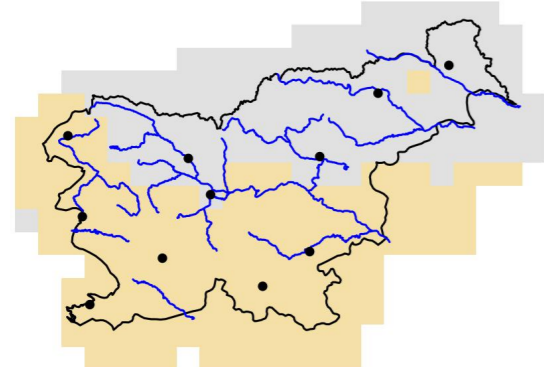
Zanesljivost

Zanesljivost

2011–2040

2011–2040

2011–2040

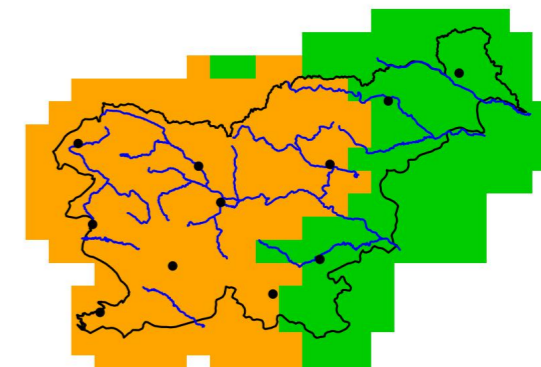
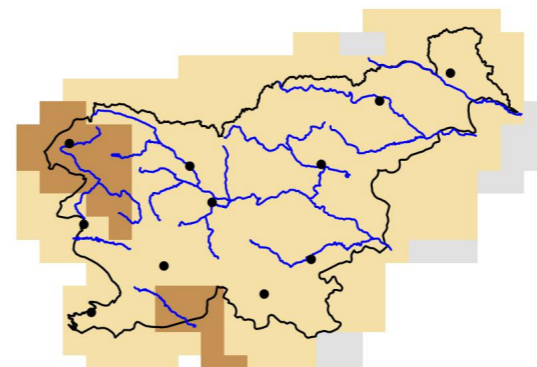
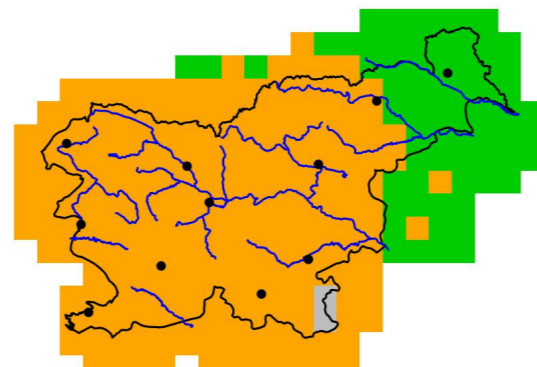
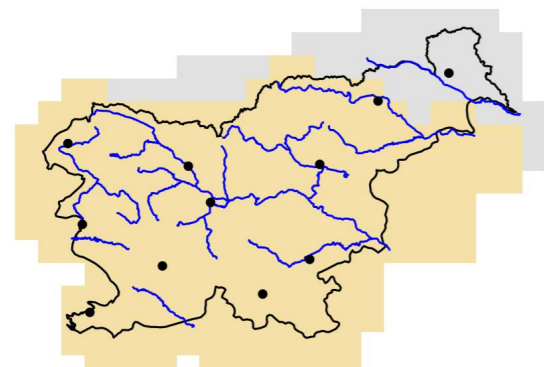


2041–2070

2041–2070

2041–2070

2041–2070

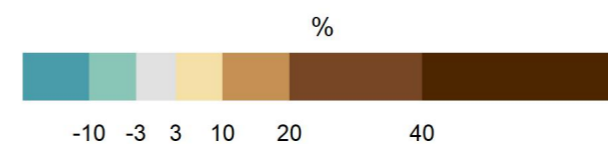
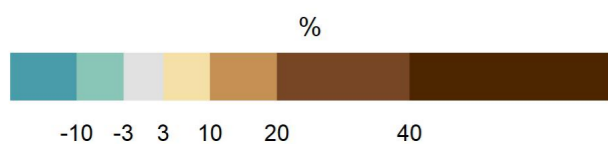


2071–2100

2071–2100

2071–2100

2071–2100



Slika 3.21 | Sprememba povprečne evapotranspiracije poleti v treh projekcijskih obdobjih glede na obdobje 1981–2010 in pripadajoča zanesljivost spremembe za scenarij RCP8.5

Slika 3.22 | Sprememba povprečne evapotranspiracije jeseni v treh projekcijskih obdobjih glede na obdobje 1981–2010 in pripadajoča zanesljivost spremembe za scenarij RCP8.5

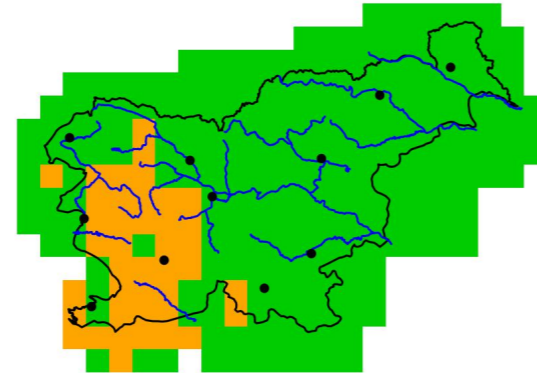
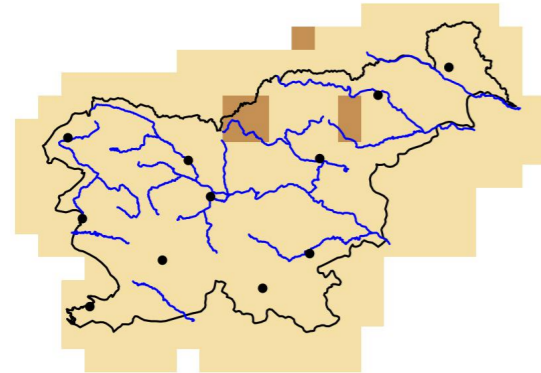
### Referenčna evapotranspiracija, RCP8.5, zima

Odklon glede na obdobje 1981–2010

Zanesljivost

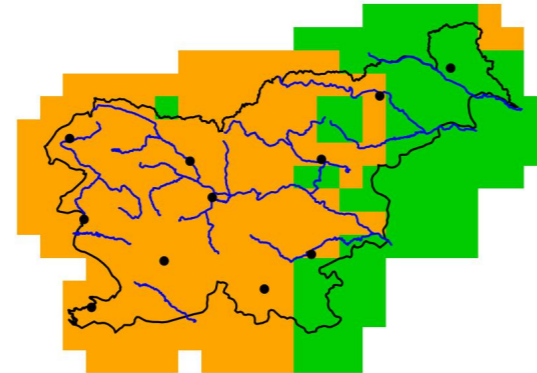
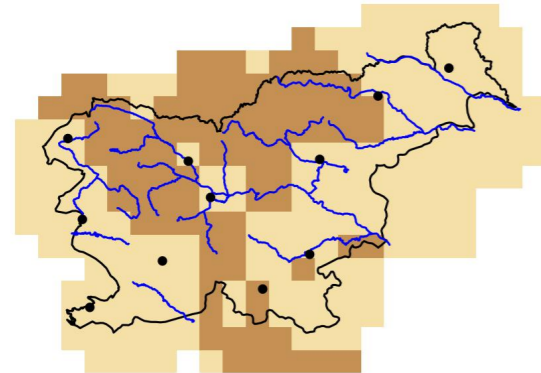
2011–2040

2011–2040



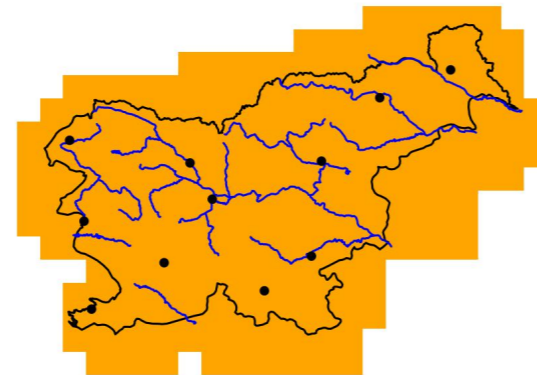
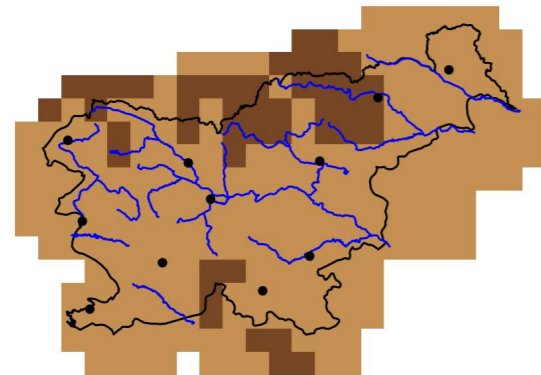
2041–2070

2041–2070

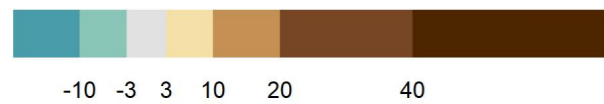


2071–2100

2071–2100



%



Slika 3.23 | Sprememba povprečne evapotranspiracije pozimi v treh projekcijskih obdobjih glede na obdobje 1981–2010 in pripadajoča zanesljivost spremembe za scenarij RCP8.5



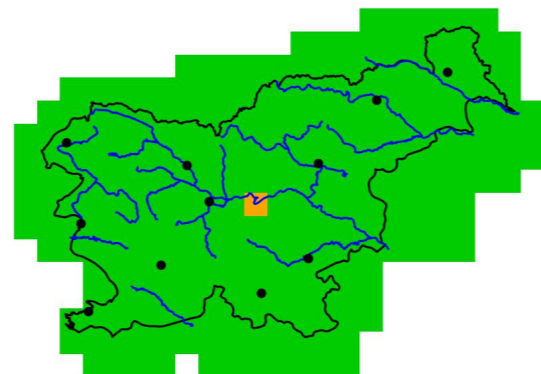
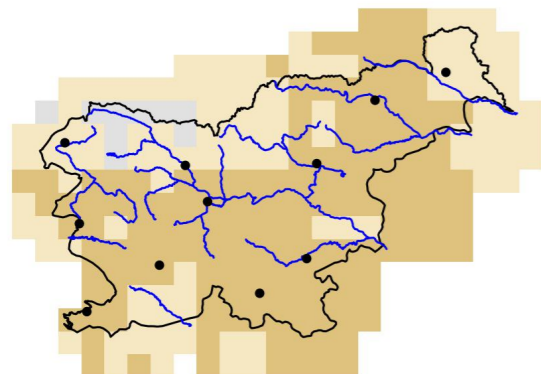
### Vodni primanjkljaj, RCP2.6, leto

Odklon glede na obdobje 1981-2010

Zanesljivost

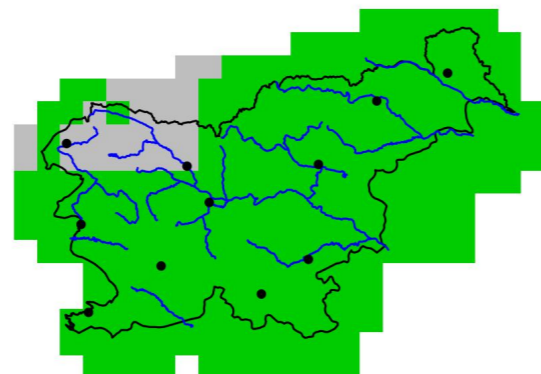
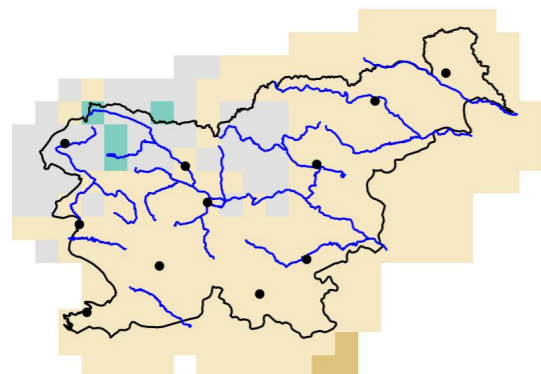
2011-2040

2011-2040



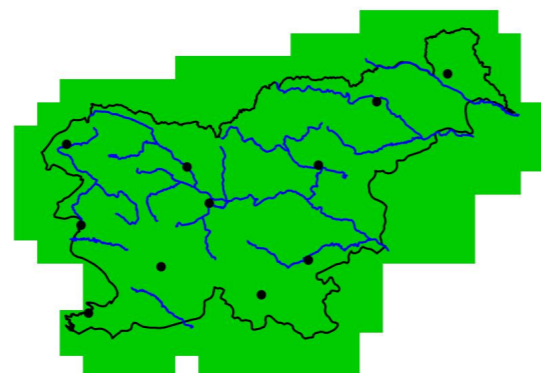
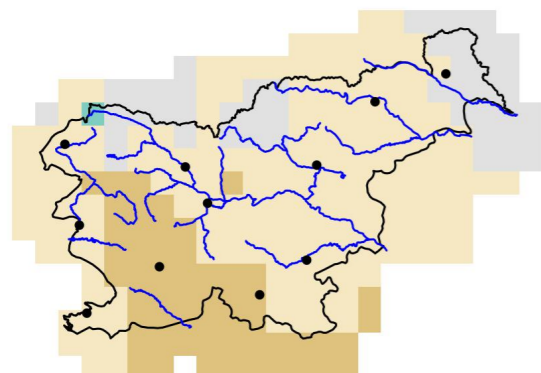
2041-2070

2041-2070

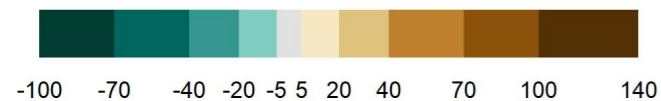


2071-2100

2071-2100



mm



Slika 3.24 | Sprememba v povprečnem največjem letnem vodnem primanjkljaju v treh projekcijskih obdobjih glede na obdobje 1981-2010 in pripadajoča zanesljivost spremembe za scenarij RCP2.6

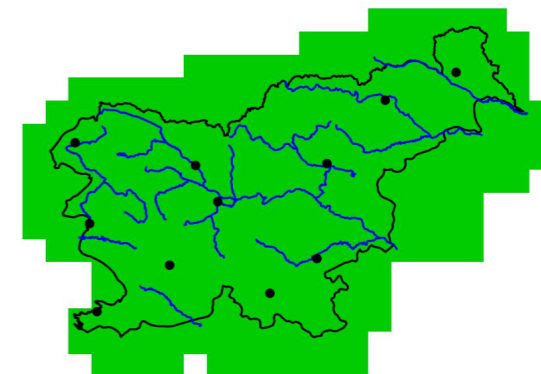
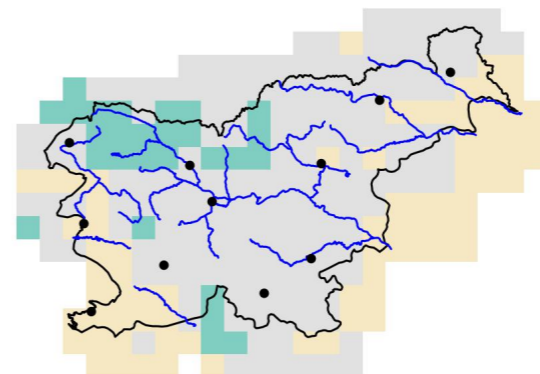
### Vodni primanjkljaj, RCP2.6, pomlad

Odklon glede na obdobje 1981-2010

Zanesljivost

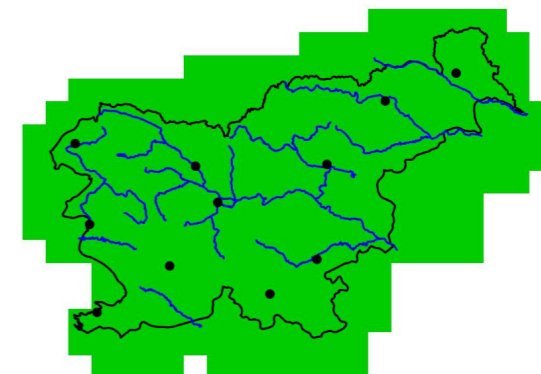
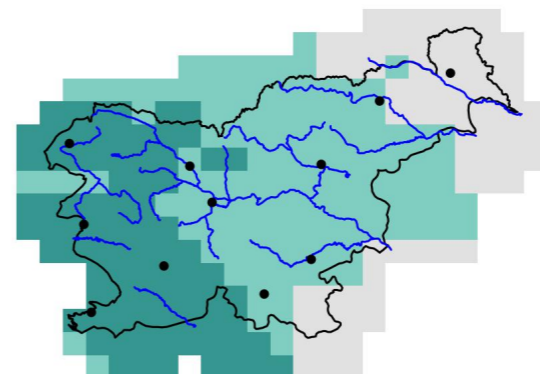
2011-2040

2011-2040



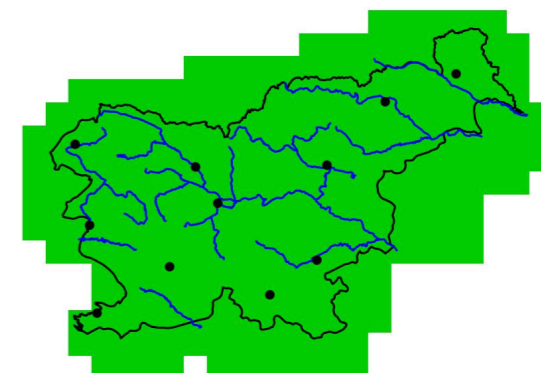
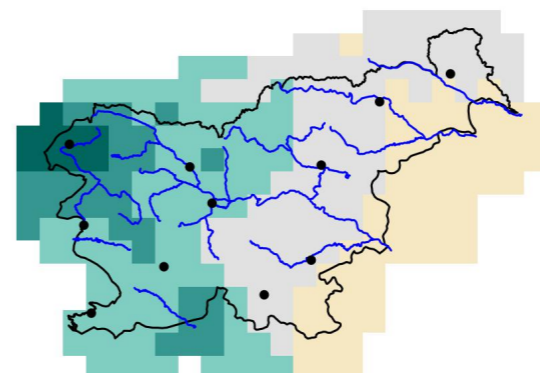
2041-2070

2041-2070

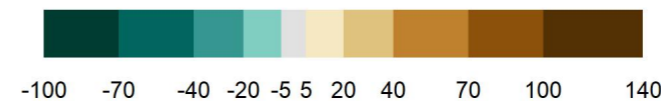


2071-2100

2071-2100



mm



Slika 3.25 | Sprememba v povprečnem največjem vodnem primanjkljaju spomladi v treh projekcijskih obdobjih glede na obdobje 1981-2010 in pripadajoča zanesljivost spremembe za scenarij RCP2.6

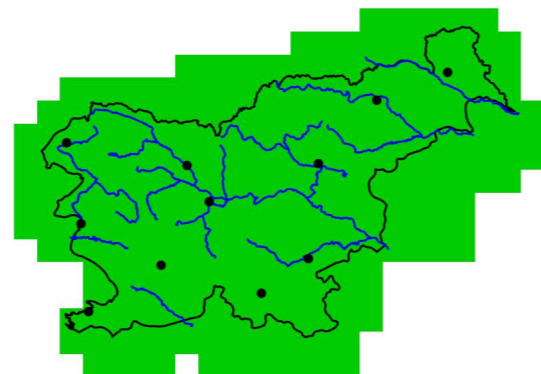
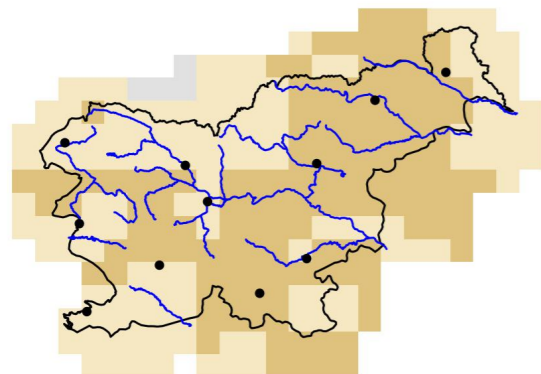
### Vodni primanjkljaj, RCP2.6, poletje

Odklon glede na obdobje 1981–2010

Zanesljivost

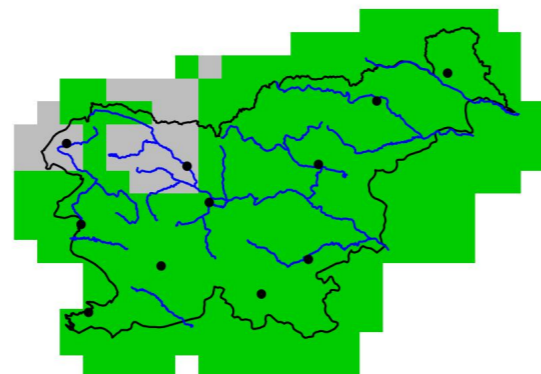
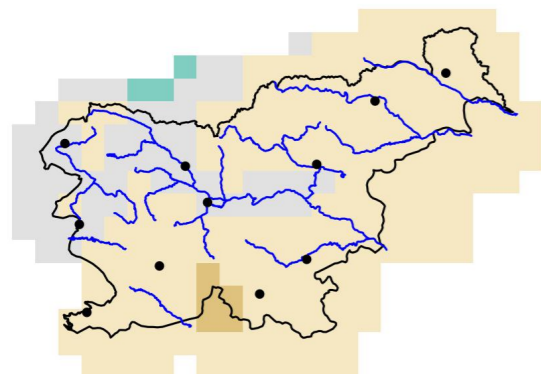
2011–2040

2011–2040



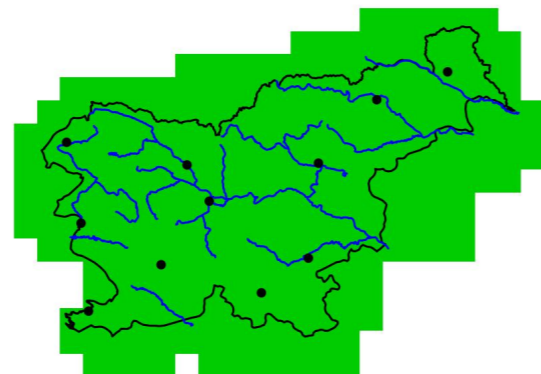
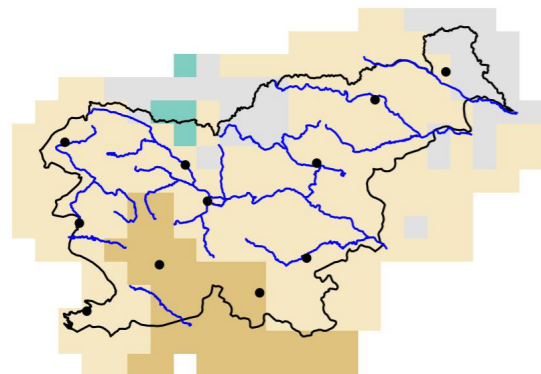
2041–2070

2041–2070

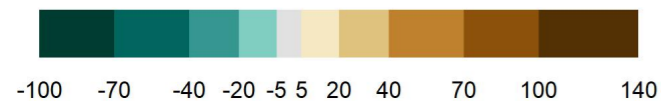


2071–2100

2071–2100



mm



Slika 3.26 | Sprememba v povprečnem največjem vodnem primanjkljaju poleti v treh projekcijskih obdobjih glede na obdobje 1981–2010 in pripadajoča zanesljivost spremembe za scenarij RCP2.6

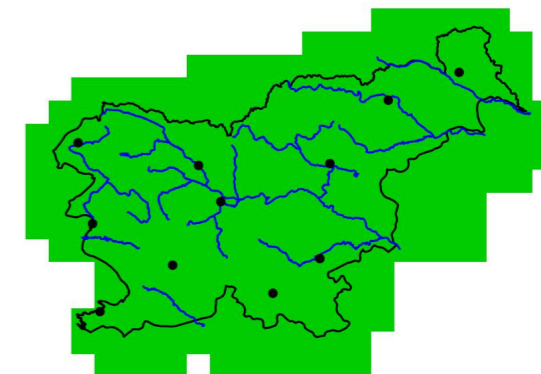
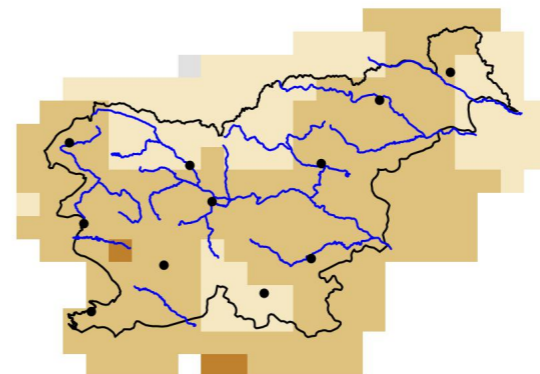
### Vodni primanjkljaj, RCP2.6, jesen

Odklon glede na obdobje 1981–2010

Zanesljivost

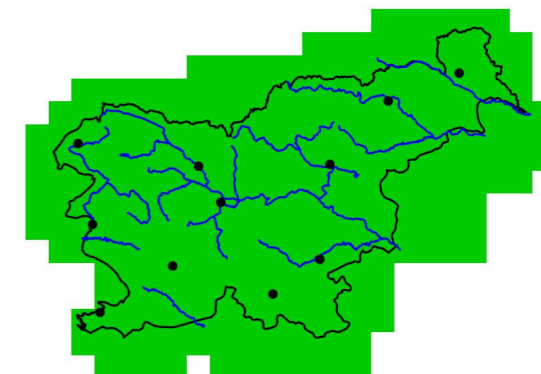
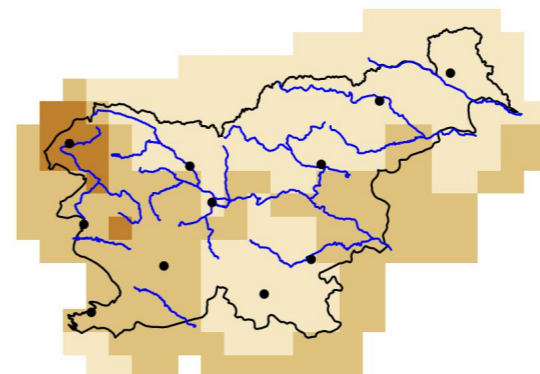
2011–2040

2011–2040



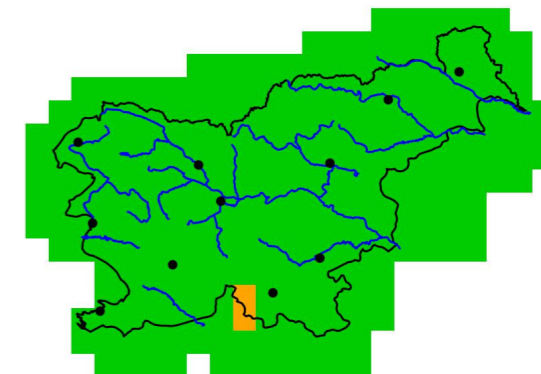
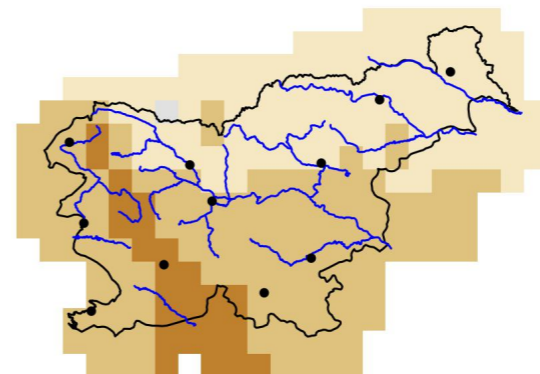
2041–2070

2041–2070

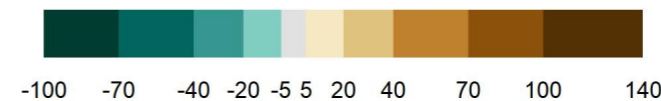


2071–2100

2071–2100



mm



Slika 3.27 | Sprememba v povprečnem največjem vodnem primanjkljaju jeseni v treh projekcijskih obdobjih glede na obdobje 1981–2010 in pripadajoča zanesljivost spremembe za scenarij RCP2.6



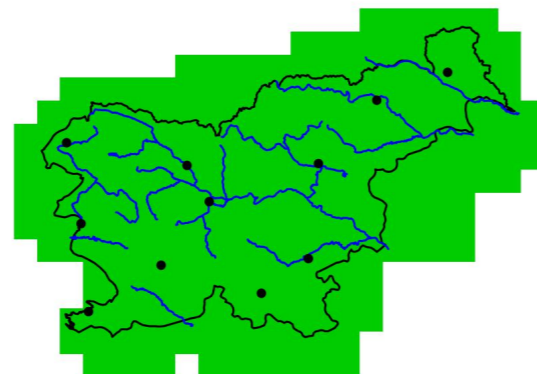
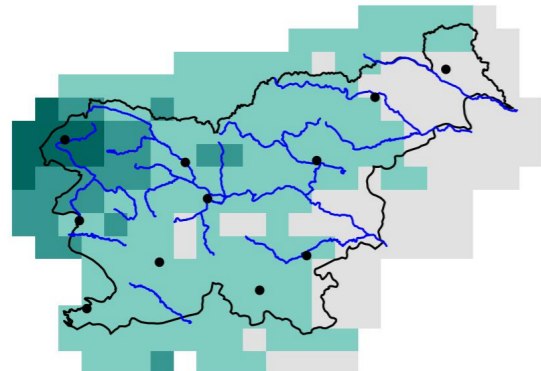
### Vodni primanjkljaj, RCP2.6, zima

Odklon glede na obdobje 1981–2010

Zanesljivost

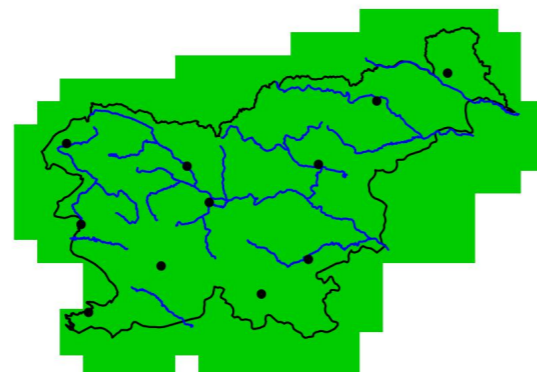
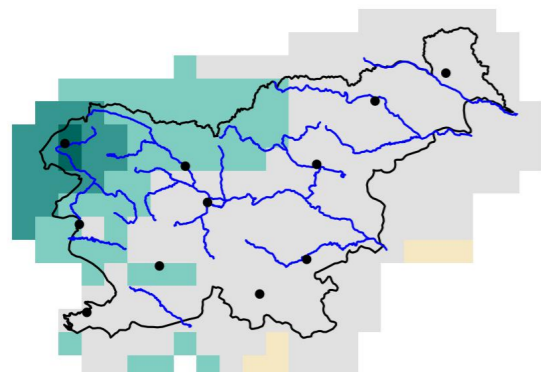
2011–2040

2011–2040



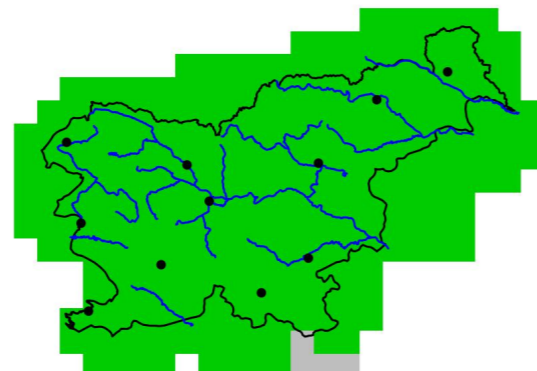
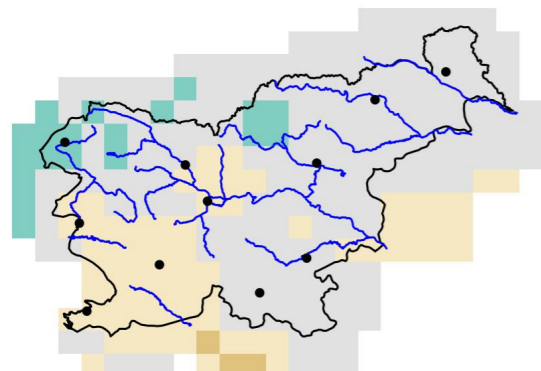
2041–2070

2041–2070

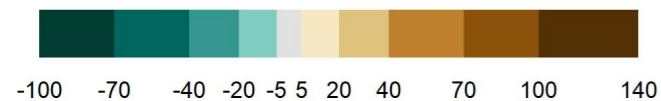


2071–2100

2071–2100



mm



Slika 3.28 | Sprememba v povprečnem največjem vodnem primanjkljaju pozimi v treh projekcijskih obdobjih glede na obdobje 1981–2010 in pripadajoča zanesljivost spremembe za scenarij RCP2.6

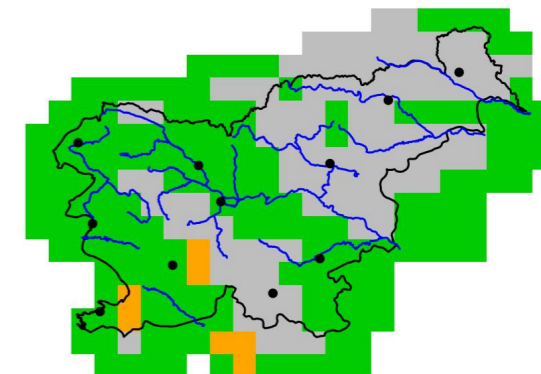
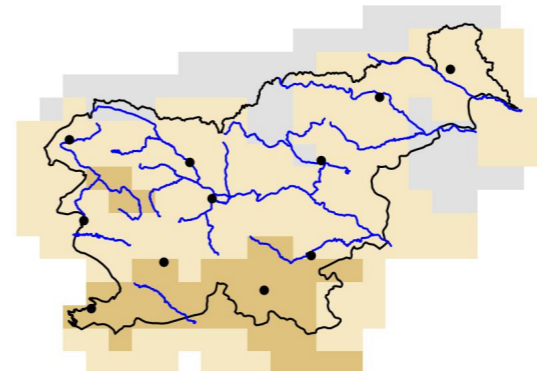
### Vodni primanjkljaj, RCP4.5, leto

Odklon glede na obdobje 1981–2010

Zanesljivost

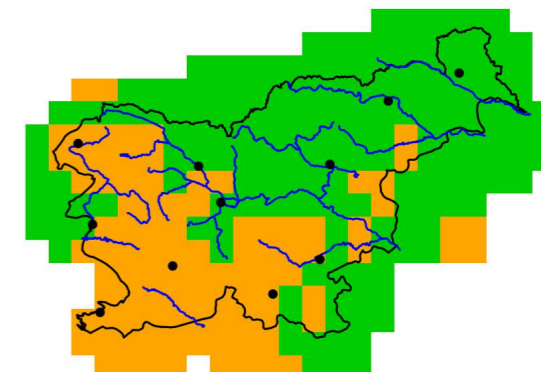
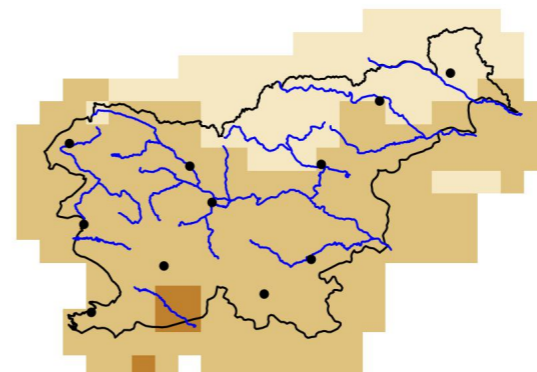
2011–2040

2011–2040



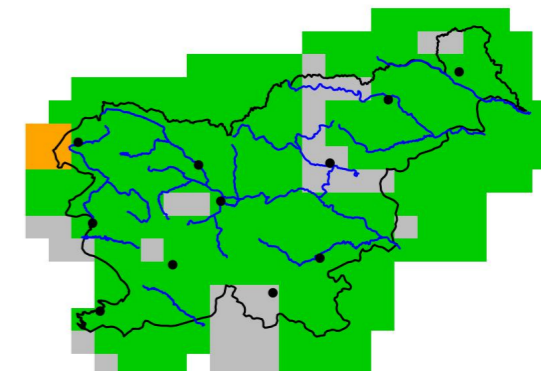
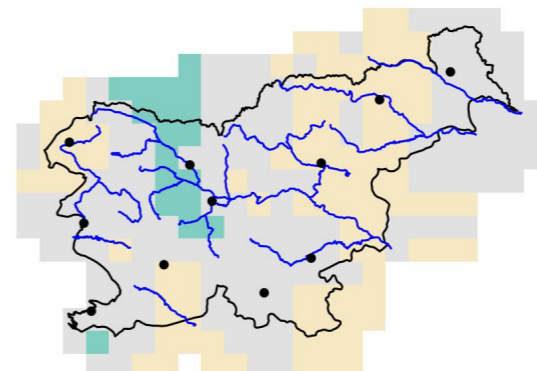
2041–2070

2041–2070

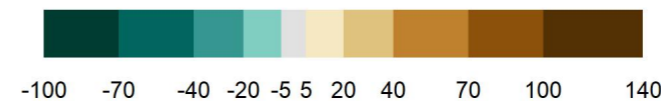


2071–2100

2071–2100



mm



Slika 3.29 | Sprememba v povprečnem največjem letnem vodnem primanjkljaju v treh projekcijskih obdobjih glede na obdobje 1981–2010 in pripadajoča zanesljivost spremembe za scenarij RCP4.5



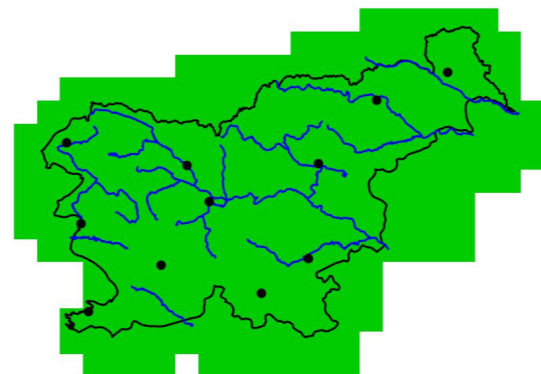
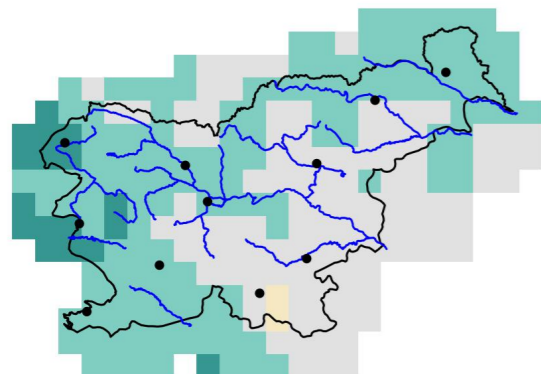
### Vodni primanjkljaj, RCP4.5, pomlad

Odklon glede na obdobje 1981–2010

Zanesljivost

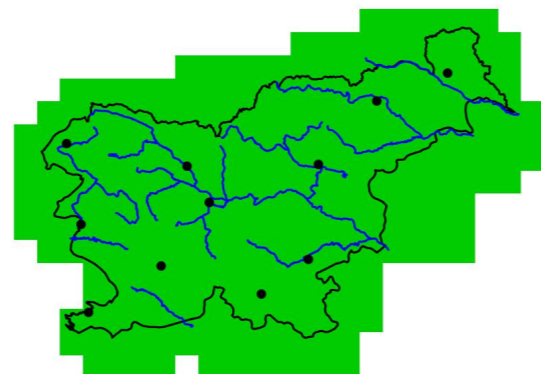
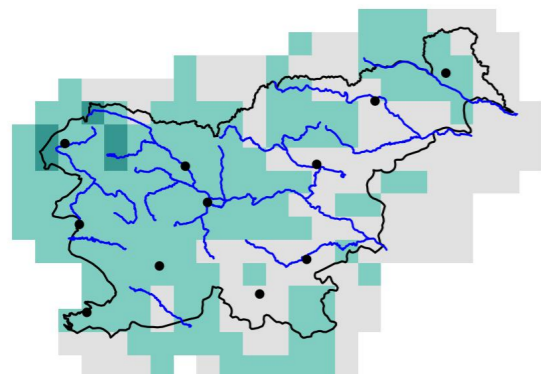
2011–2040

2011–2040



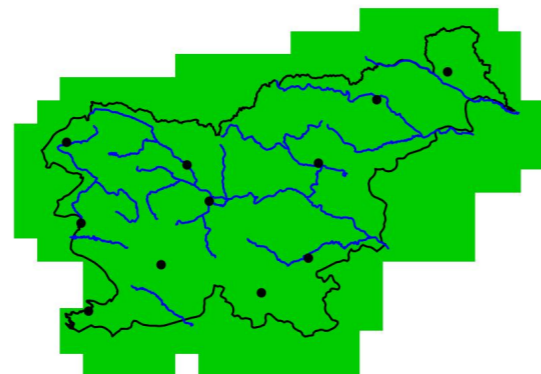
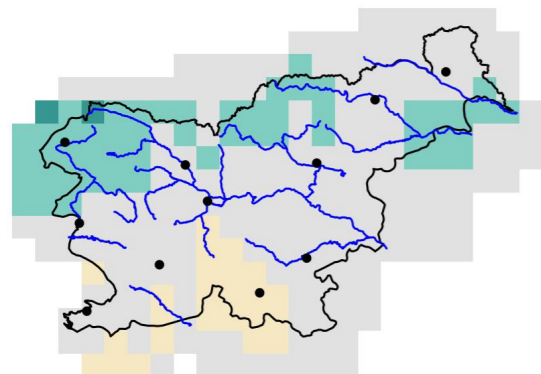
2041–2070

2041–2070

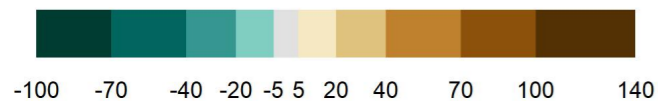


2071–2100

2071–2100



mm



Slika 3.30 | Sprememba v povprečnem največjem vodnem primanjkljaju spomladi v treh projekcijskih obdobjih glede na obdobje 1981–2010 in pripadajoča zanesljivost spremembe za scenarij RCP4.5

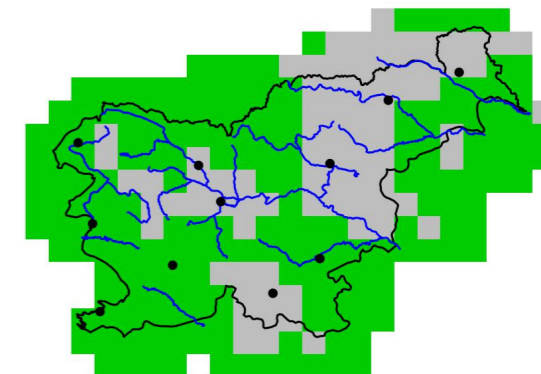
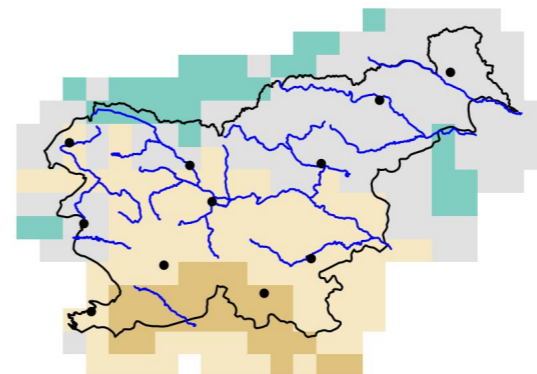
### Vodni primanjkljaj, RCP4.5, poletje

Odklon glede na obdobje 1981–2010

Zanesljivost

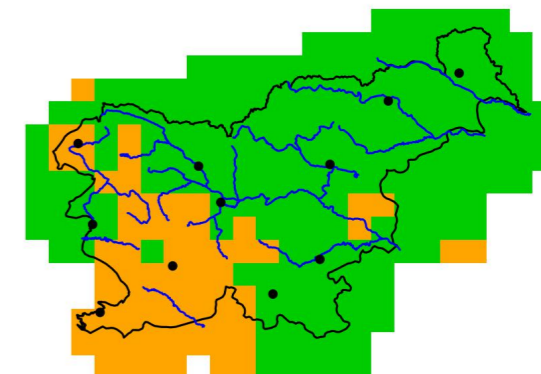
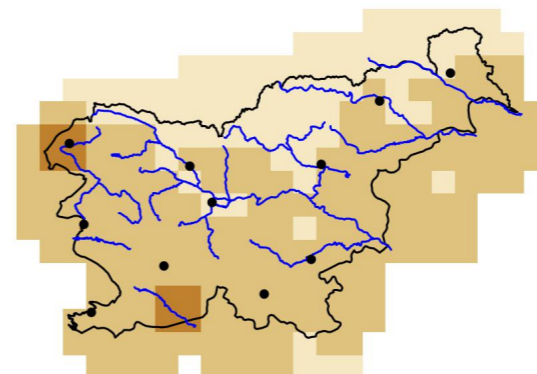
2011–2040

2011–2040



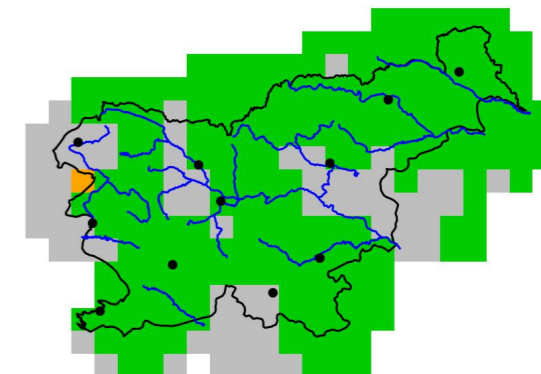
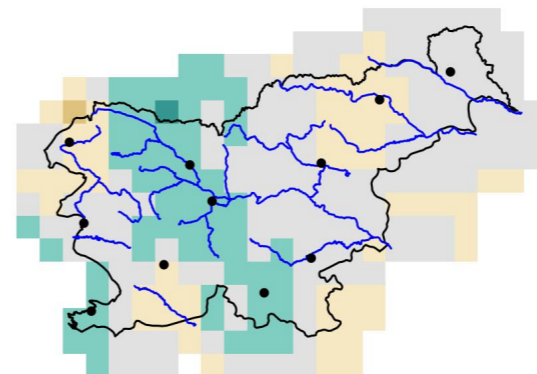
2041–2070

2041–2070

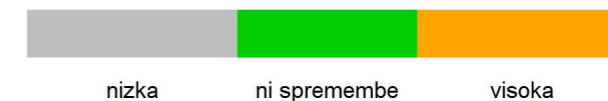
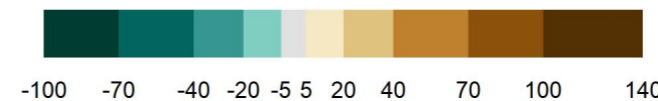


2071–2100

2071–2100



mm



Slika 3.31 | Sprememba v povprečnem največjem vodnem primanjkljaju poleti v treh projekcijskih obdobjih glede na obdobje 1981–2010 in pripadajoča zanesljivost spremembe za scenarij RCP4.5

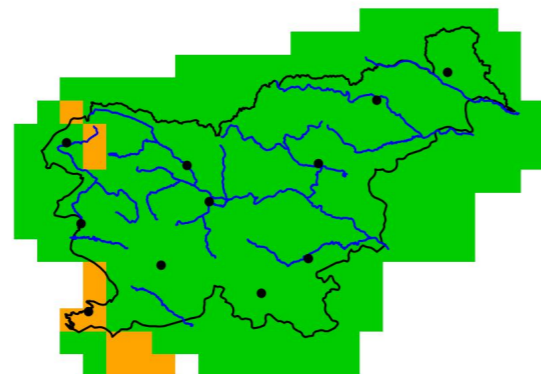
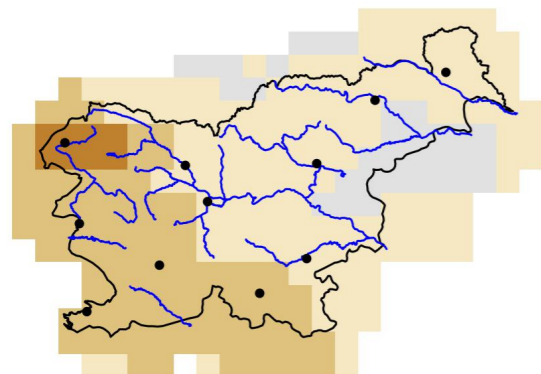
### Vodni primanjkljaj, RCP4.5, jesen

Odklon glede na obdobje 1981–2010

Zanesljivost

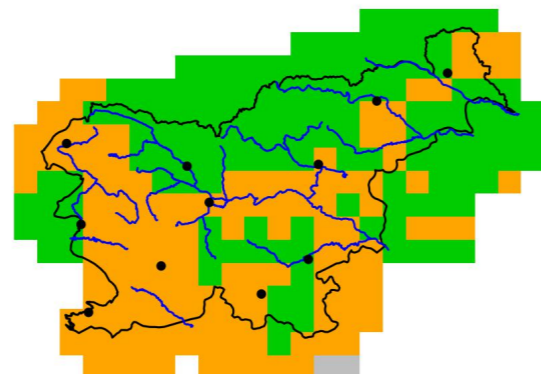
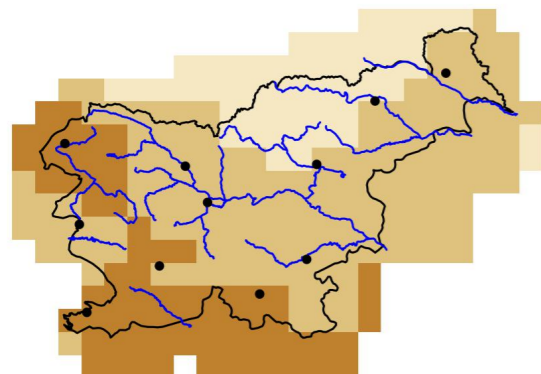
2011–2040

2011–2040



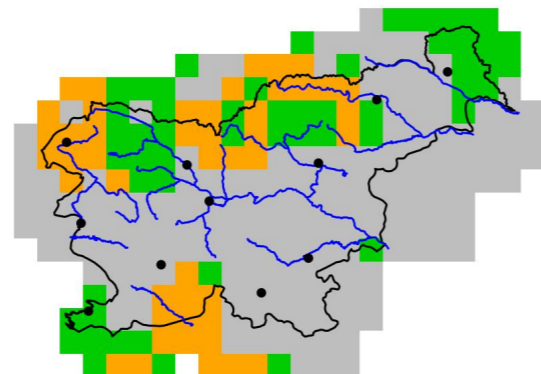
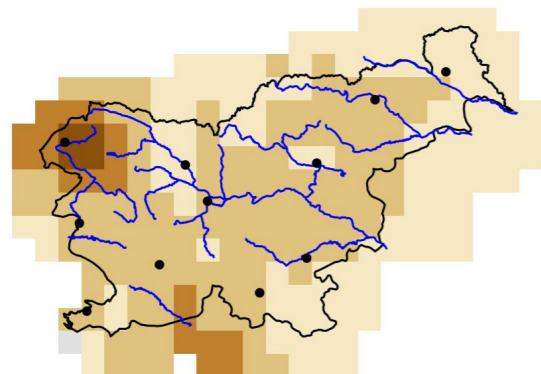
2041–2070

2041–2070

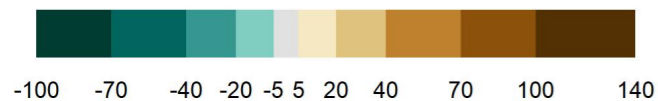


2071–2100

2071–2100



mm



Slika 3.32 | Sprememba v povprečnem največjem vodnem primanjkljaju jeseni v treh projekcijskih obdobjih glede na obdobje 1981–2010 in pripadajoča zanesljivost spremembe za scenarij RCP4.5

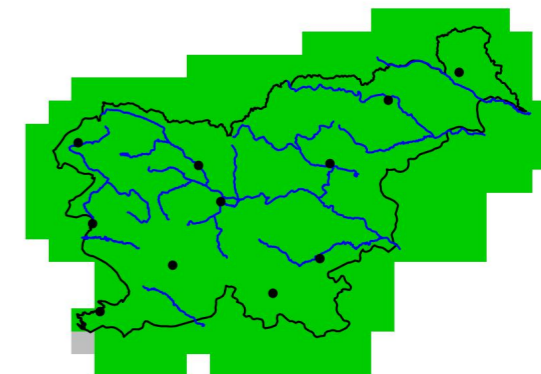
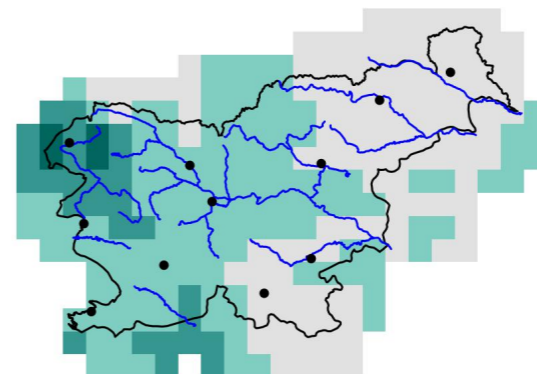
### Vodni primanjkljaj, RCP4.5, zima

Odklon glede na obdobje 1981–2010

Zanesljivost

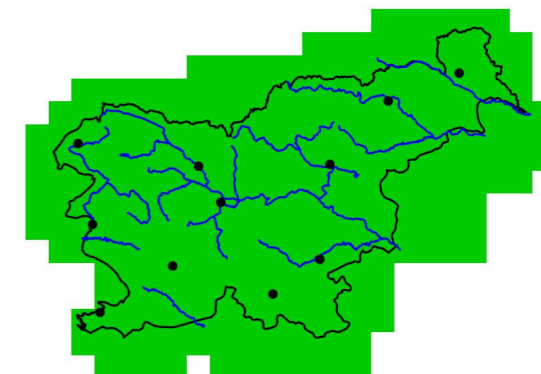
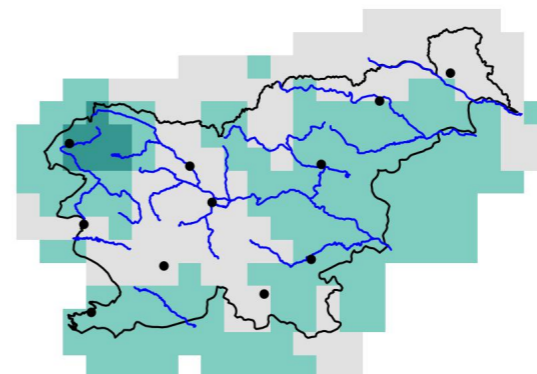
2011–2040

2011–2040



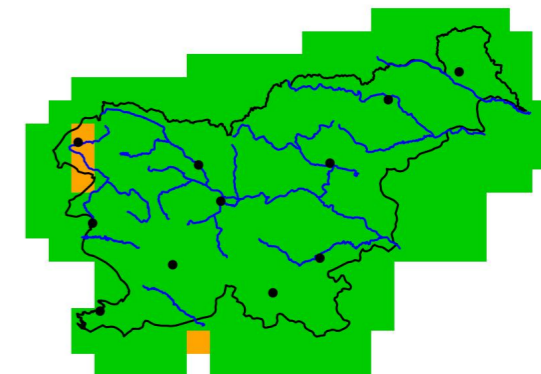
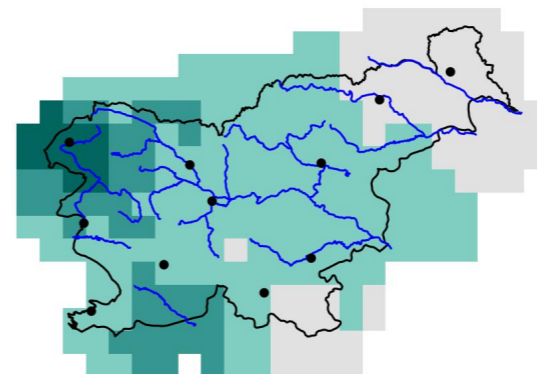
2041–2070

2041–2070

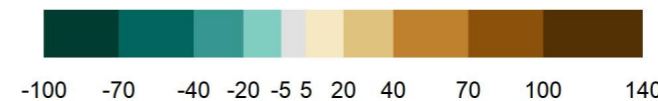


2071–2100

2071–2100



mm



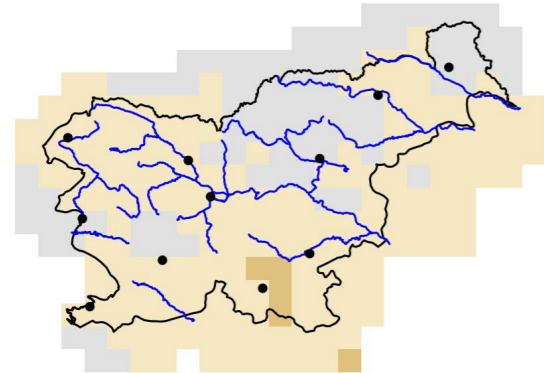
Slika 3.33 | Sprememba v povprečnem največjem vodnem primanjkljaju pozimi v treh projekcijskih obdobjih glede na obdobje 1981–2010 in pripadajoča zanesljivost spremembe za scenarij RCP4.5



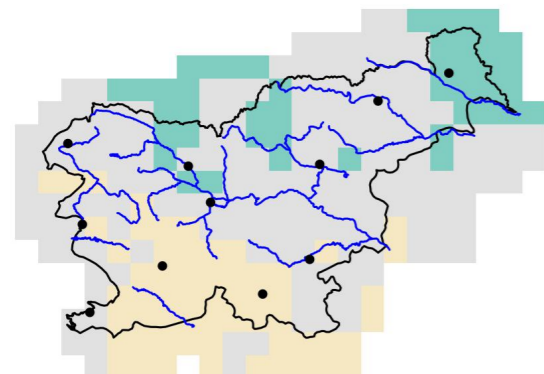
### Vodni primanjkljaj, RCP8.5, leto

Odklon glede na obdobje 1981-2010

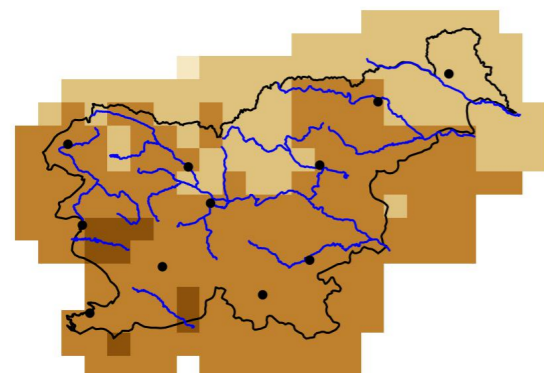
2011-2040



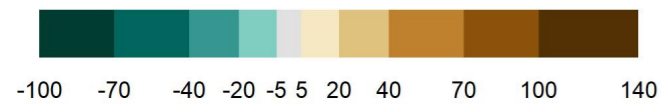
2041-2070



2071-2100

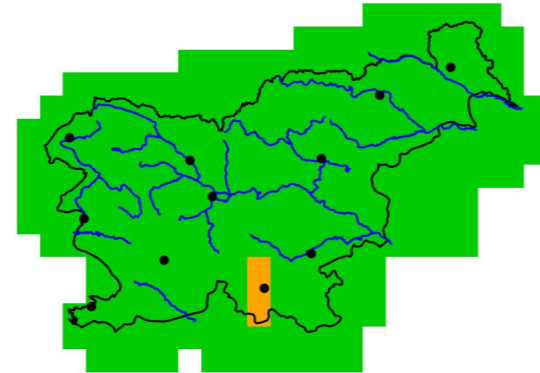


mm

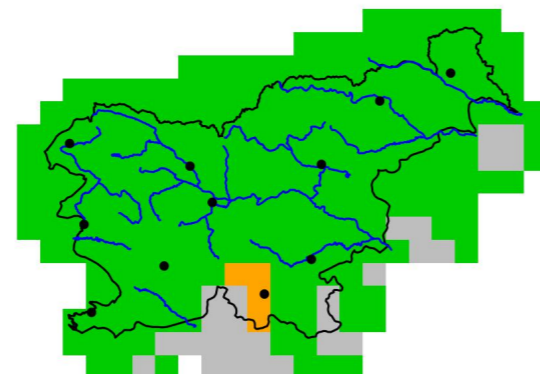


Zanesljivost

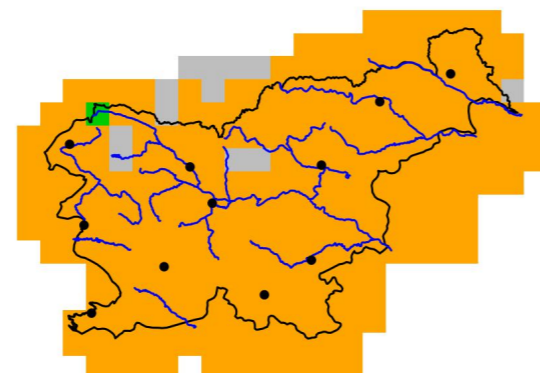
2011-2040



2041-2070



2071-2100

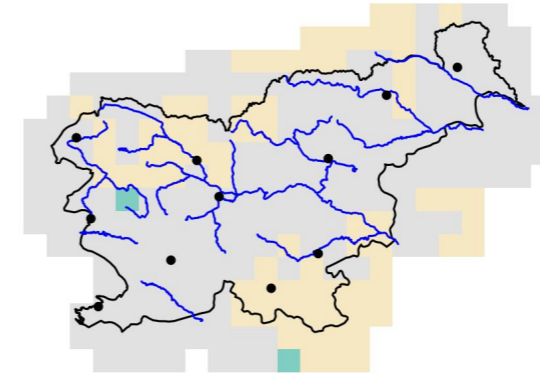


nizka ni spremembe visoka

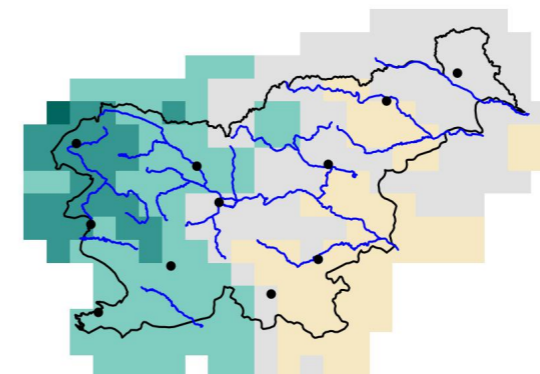
### Vodni primanjkljaj, RCP8.5, pomlad

Odklon glede na obdobje 1981-2010

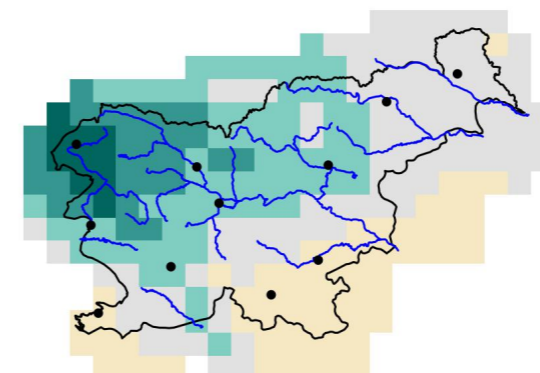
2011-2040



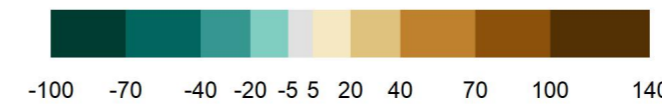
2041-2070



2071-2100

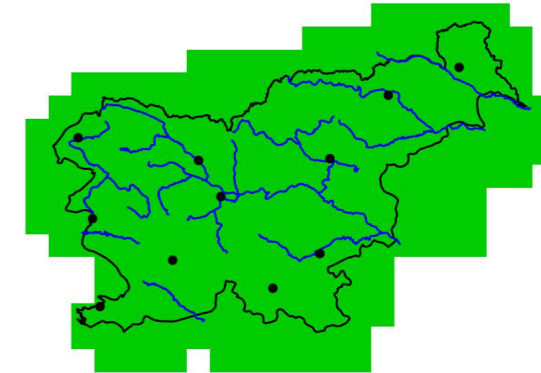


mm

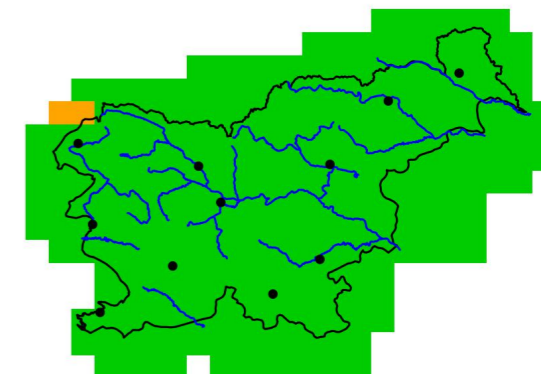


Zanesljivost

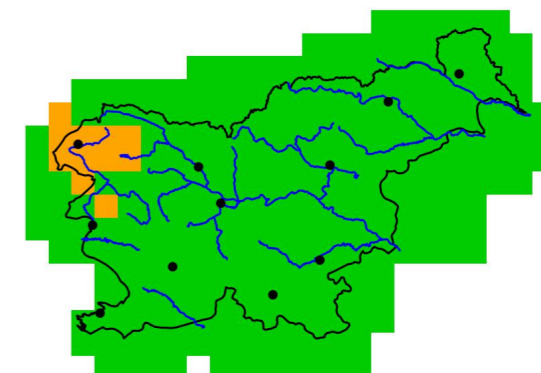
2011-2040



2041-2070



2071-2100



nizka ni spremembe visoka

Slika 3.34 | Sprememba v povprečnem največjem letnem vodnem primanjkljaju v treh projekcijskih obdobjih glede na obdobje 1981-2010 in pripadajoča zanesljivost spremembe za scenarij RCP8.5

Slika 3.35 | Sprememba v povprečnem največjem vodnem primanjkljaju spomladi v treh projekcijskih obdobjih glede na obdobje 1981-2010 in pripadajoča zanesljivost spremembe za scenarij RCP8.5



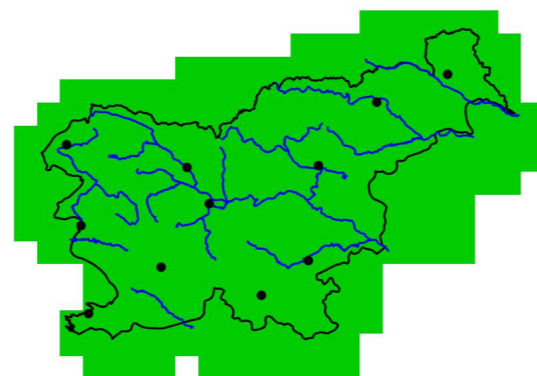
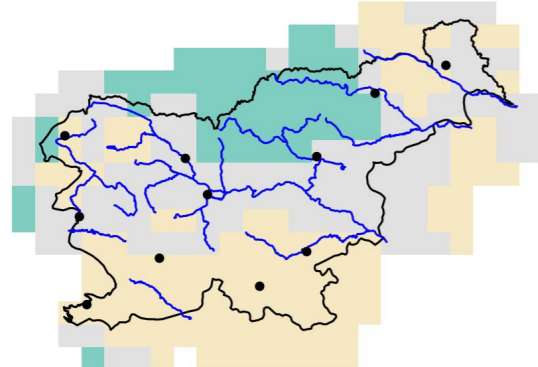
### Vodni primanjkljaj, RCP8.5, poletje

Odklon glede na obdobje 1981–2010

Zanesljivost

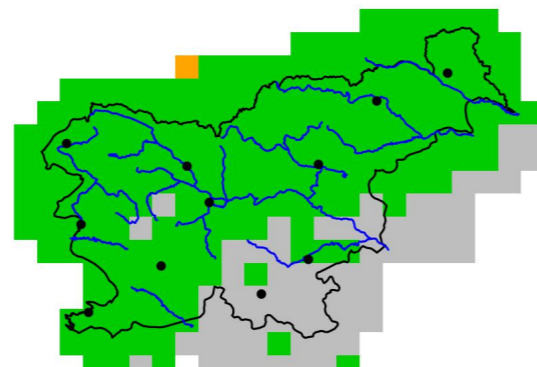
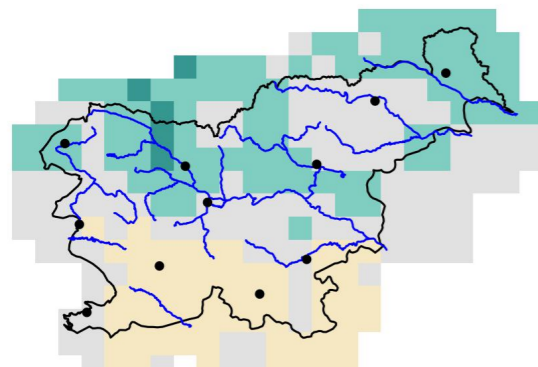
2011–2040

2011–2040



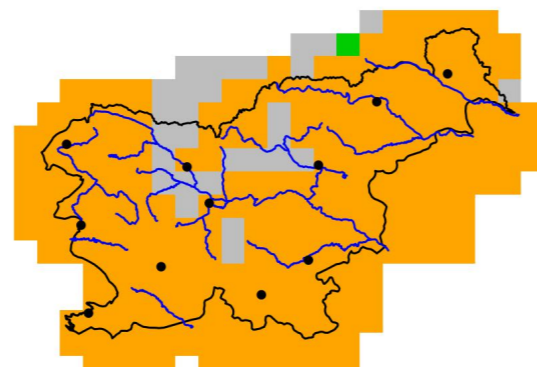
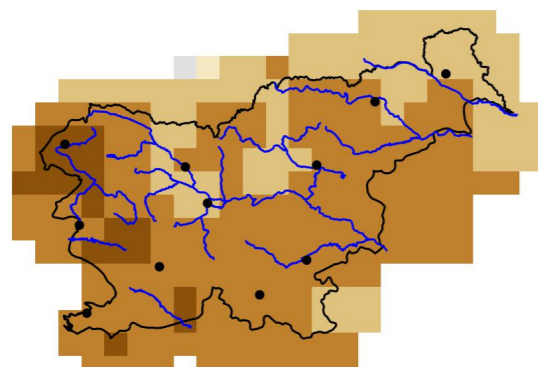
2041–2070

2041–2070

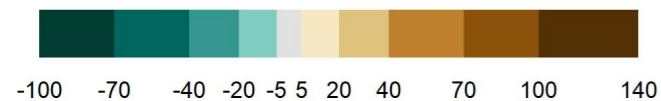


2071–2100

2071–2100



mm



Slika 3.36 | Sprememba v povprečnem največjem vodnem primanjkljaju poleti v treh projekcijskih obdobjih glede na obdobje 1981–2010 in pripadajoča zanesljivost spremembe za scenarij RCP8.5

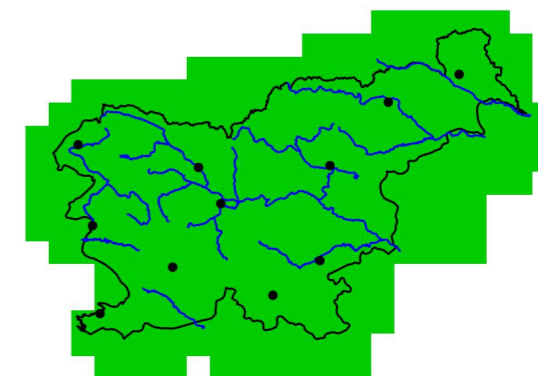
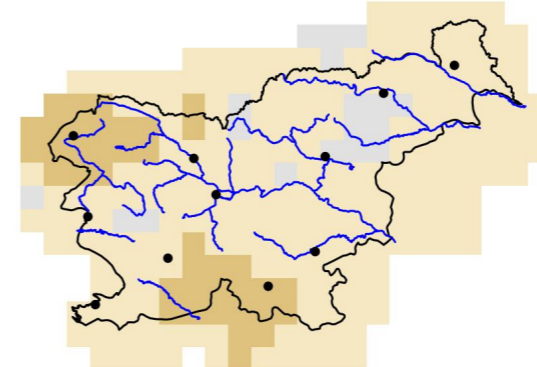
### Vodni primanjkljaj, RCP8.5, jesen

Odklon glede na obdobje 1981–2010

Zanesljivost

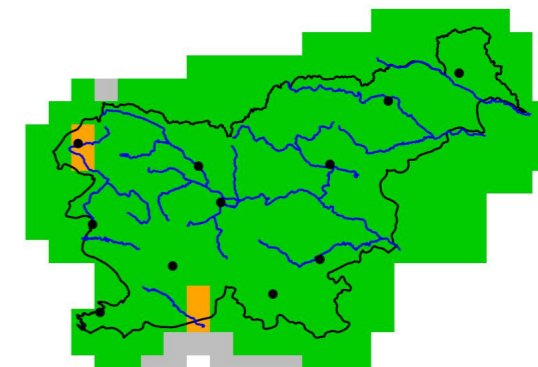
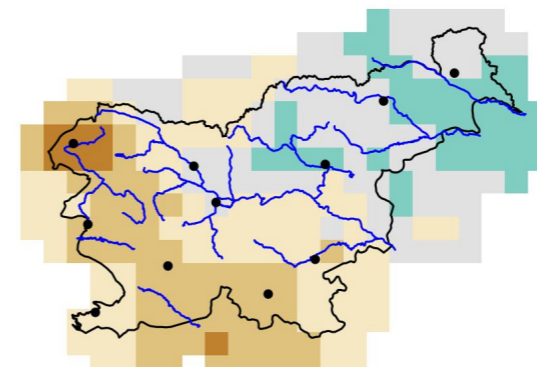
2011–2040

2011–2040



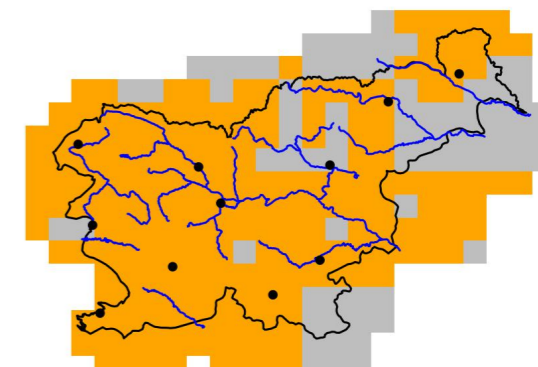
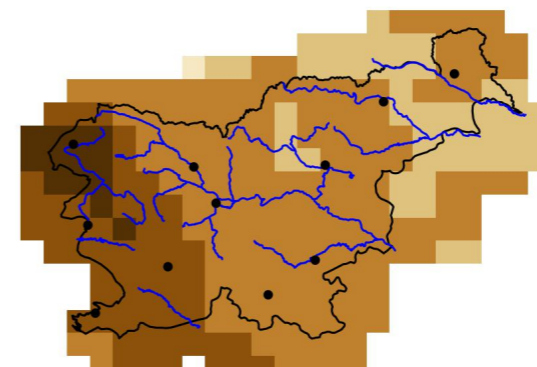
2041–2070

2041–2070

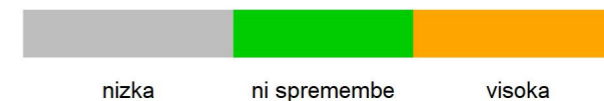
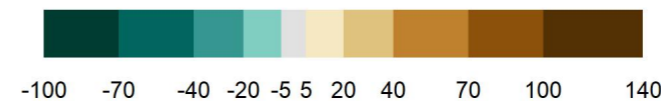


2071–2100

2071–2100



mm

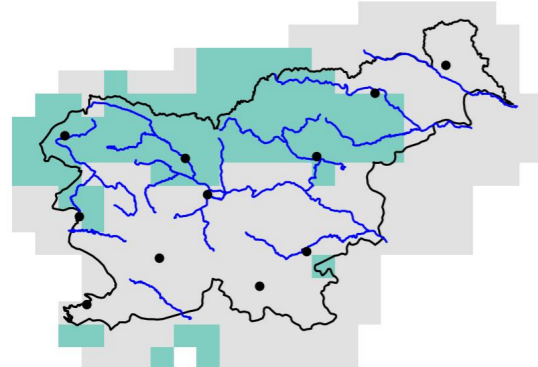


Slika 3.37 | Sprememba v povprečnem največjem vodnem primanjkljaju jeseni v treh projekcijskih obdobjih glede na obdobje 1981–2010 in pripadajoča zanesljivost spremembe za scenarij RCP8.5

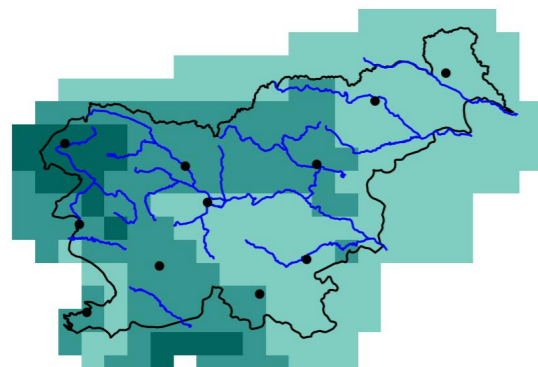
### Vodni primanjkljaj, RCP8.5, zima

Odklon glede na obdobje 1981–2010

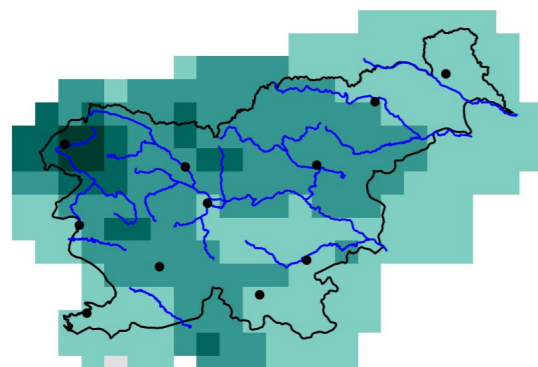
2011–2040



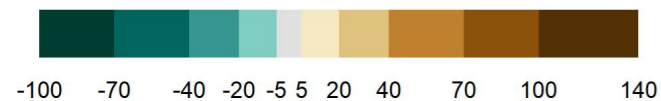
2041–2070



2071–2100

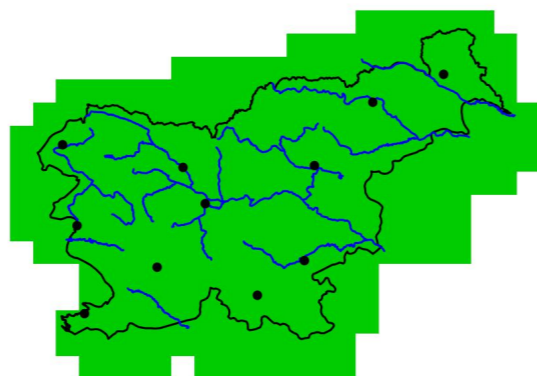


mm

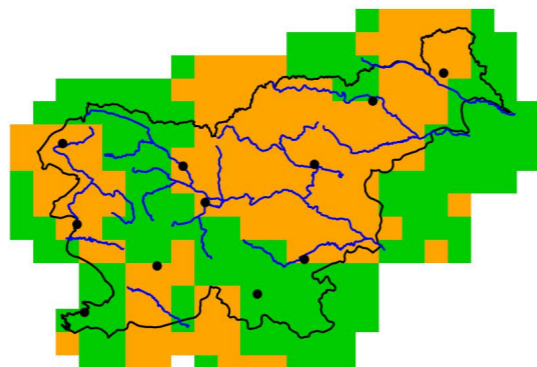


Zanesljivost

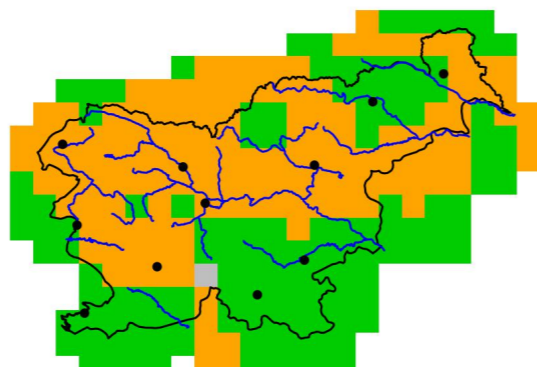
2011–2040



2041–2070



2071–2100



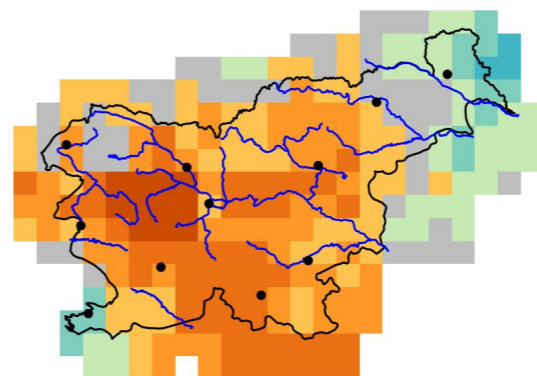
nizka ni spremembe visoka



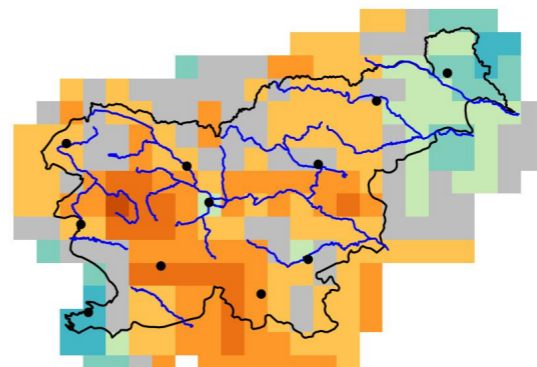
### Vodni primanjkljaj nad 0 mm, RCP2.6, leto

Odklon glede na obdobje 1981–2010

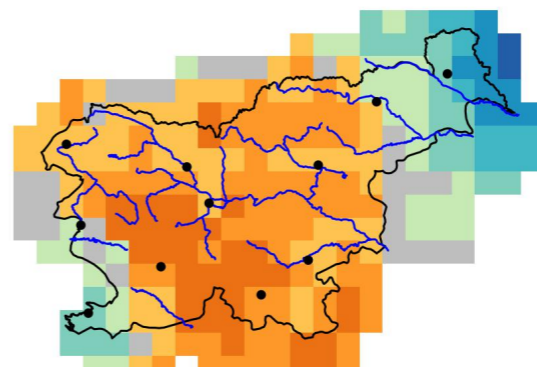
2011–2040



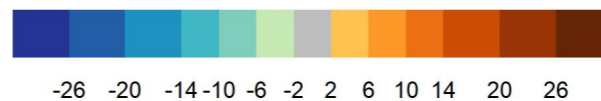
2041–2070



2071–2100

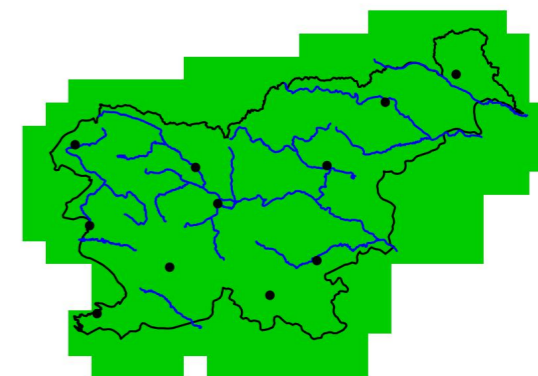


št. dni

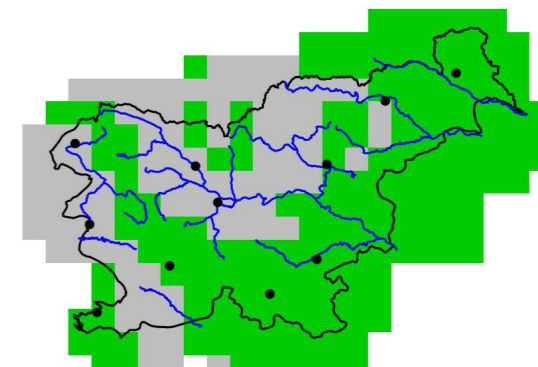


Zanesljivost

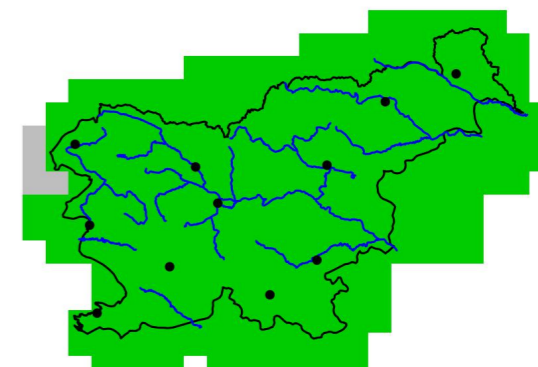
2011–2040



2041–2070



2071–2100



nizka ni spremembe visoka



Slika 3.38 | Sprememba v povprečnem največjem vodnem primanjkljaju pozimi v treh projekcijskih obdobjih glede na obdobje 1981–2010 in pripadajoča zanesljivost spremembe za scenarij RCP8.5

Slika 3.39 | Sprememba povprečnega števila sušnih dni – dni z vodnim primanjkljajem nad mejo 0 mm – v letu v treh projekcijskih obdobjih glede na obdobje 1981–2010 in pripadajoča zanesljivost spremembe za scenarij RCP2.6



### Vodni primanjkljaj nad 0 mm, RCP2.6, poletje

### Vodni primanjkljaj nad 0 mm, RCP2.6, jesen

Odklon glede na obdobje 1981–2010

Odklon glede na obdobje 1981–2010

2011–2040

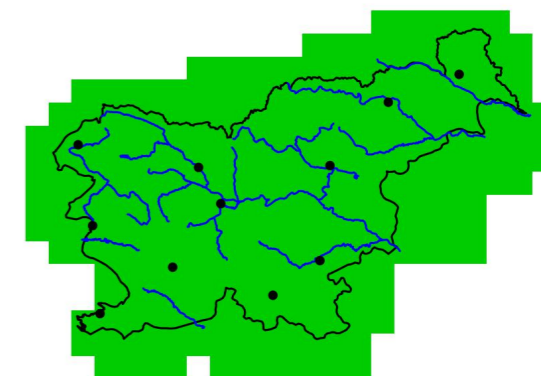
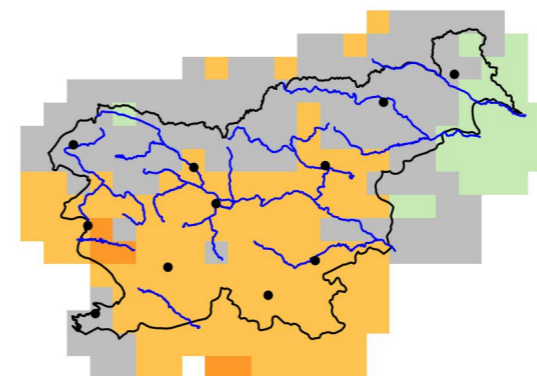
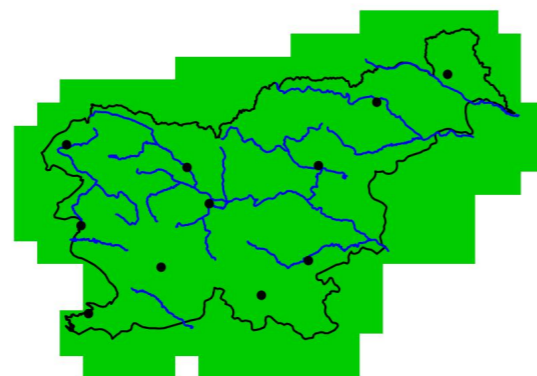
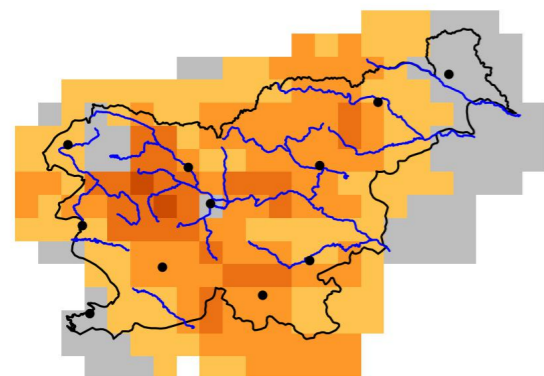
Zanesljivost

Zanesljivost

2011–2040

2011–2040

2011–2040

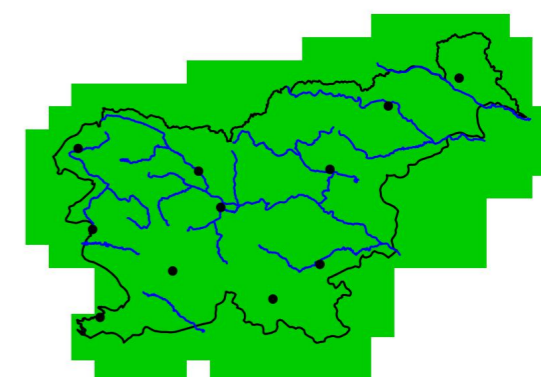
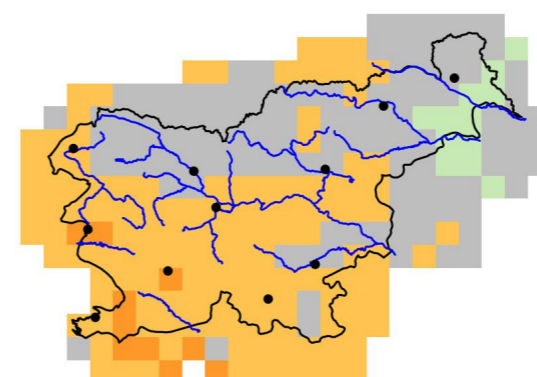
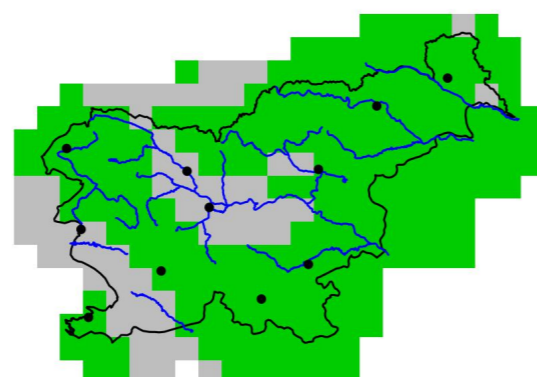
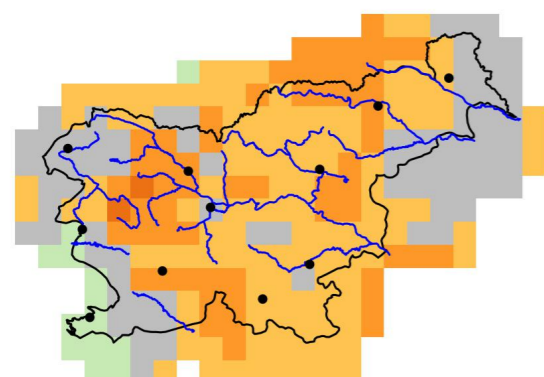


2041–2070

2041–2070

2041–2070

2041–2070

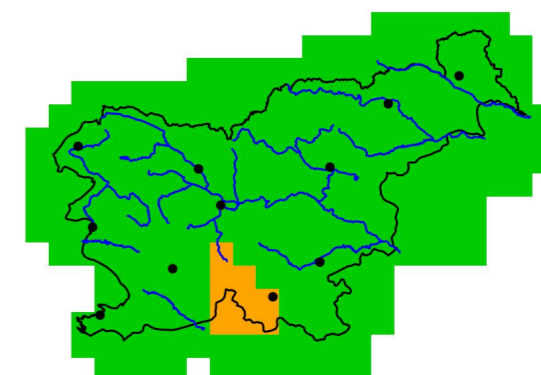
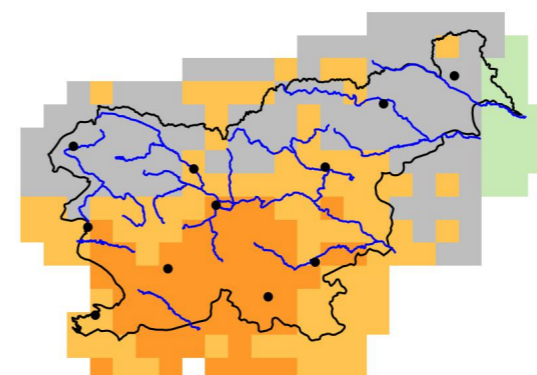
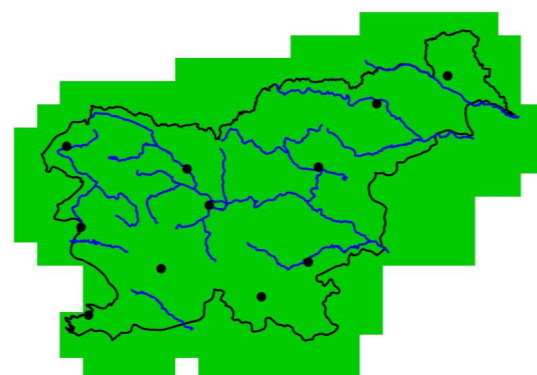
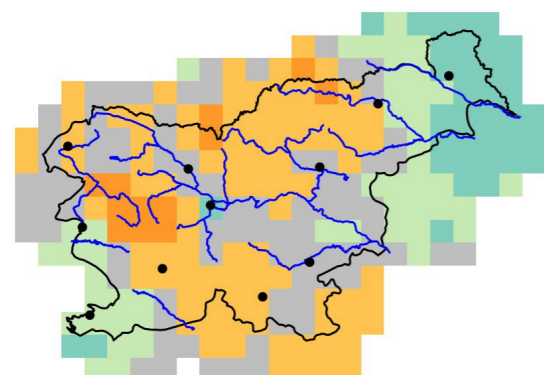


2071–2100

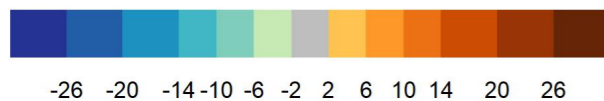
2071–2100

2071–2100

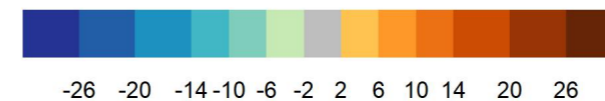
2071–2100



št. dni



št. dni



Slika 3.40 | Sprememba povprečnega števila sušnih dni – dni z vodnim primanjkljajem nad mejo 0 mm – poleti v treh projekcijskih obdobjih glede na obdobje 1981–2010 in pripadajoča zanesljivost spremembe za scenarij RCP2.6

Slika 3.41 | Sprememba povprečnega števila sušnih dni – dni z vodnim primanjkljajem nad mejo 0 mm – jeseni v treh projekcijskih obdobjih glede na obdobje 1981–2010 in pripadajoča zanesljivost spremembe za scenarij RCP2.6



### Vodni primanjkljaj nad 0 mm, RCP4.5, leto

### Vodni primanjkljaj nad 0 mm, RCP4.5, poletje

Odklon glede na obdobje 1981–2010

Zanesljivost

Odklon glede na obdobje 1981–2010

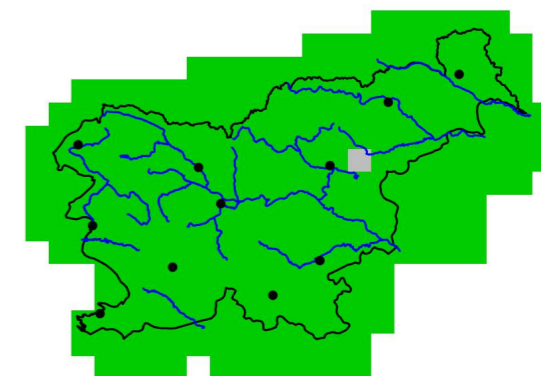
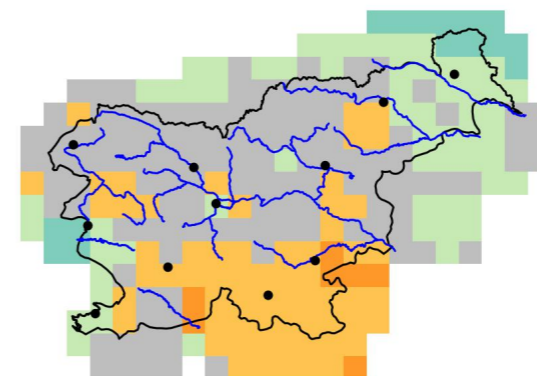
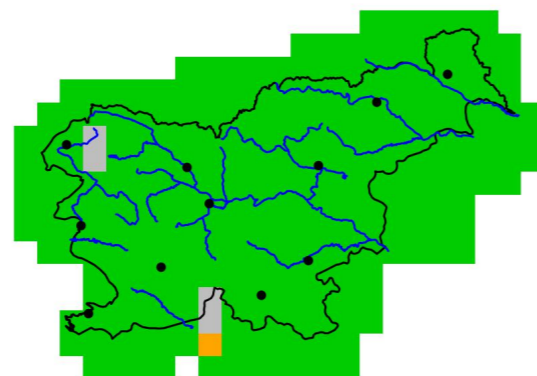
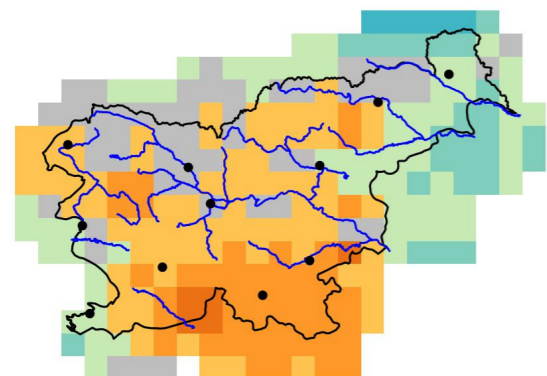
Zanesljivost

2011–2040

2011–2040

2011–2040

2011–2040

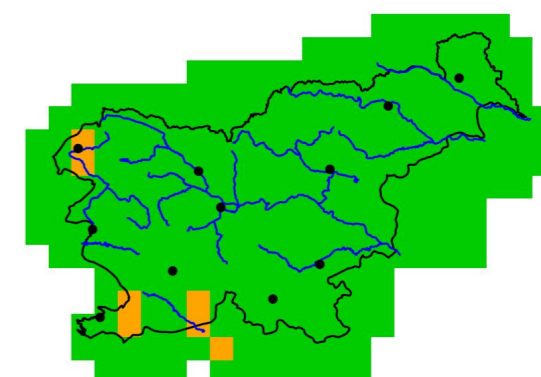
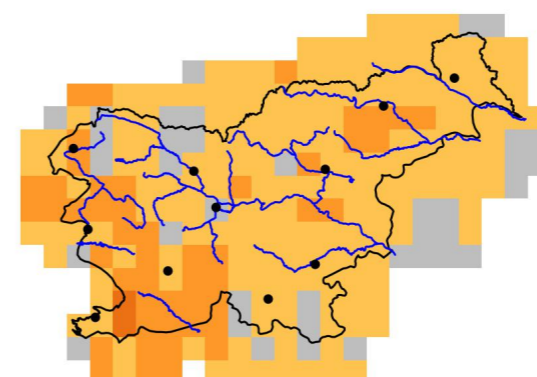
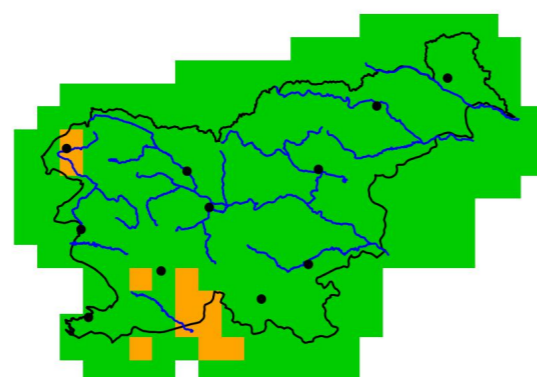
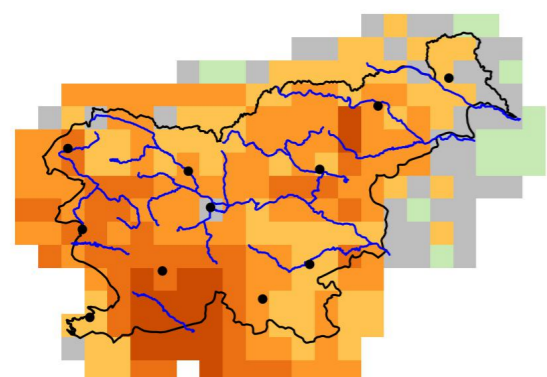


2041–2070

2041–2070

2041–2070

2041–2070

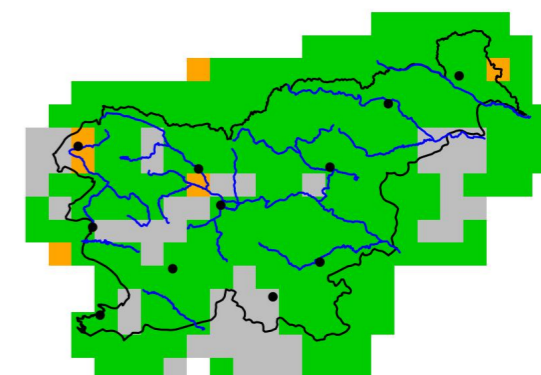
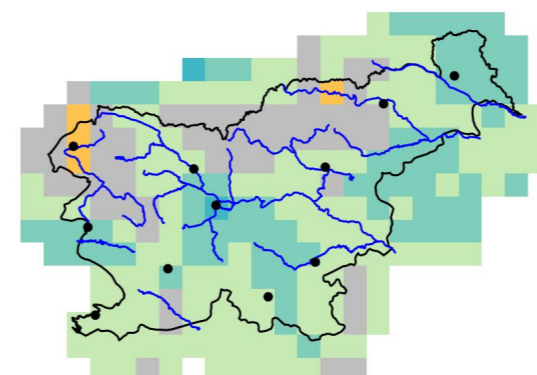
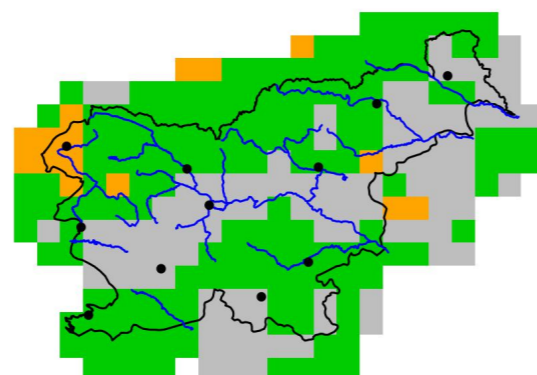
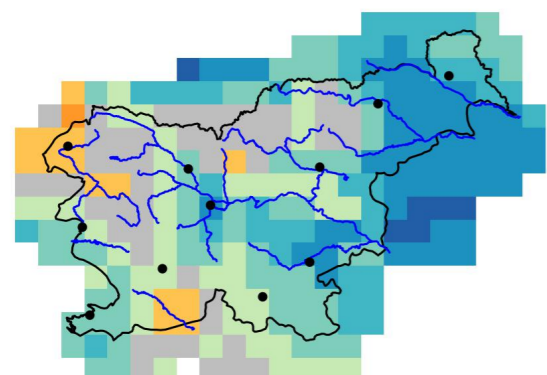


2071–2100

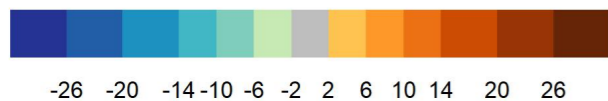
2071–2100

2071–2100

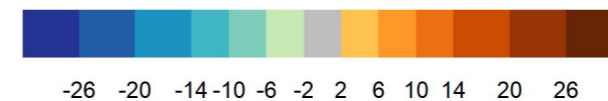
2071–2100



št. dni



št. dni



Slika 3.42 | Sprememba povprečnega števila sušnih dni – dni z vodnim primanjkljajem nad mejo 0 mm – v letu v treh projekcijskih obdobjih glede na obdobje 1981–2010 in pripadajoča zanesljivost spremembe za scenarij RCP4.5

Slika 3.43 | Sprememba povprečnega števila sušnih dni – dni z vodnim primanjkljajem nad mejo 0 mm – poleti v treh projekcijskih obdobjih glede na obdobje 1981–2010 in pripadajoča zanesljivost spremembe za scenarij RCP4.5

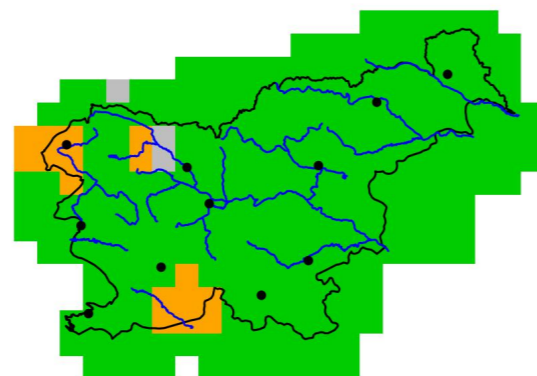
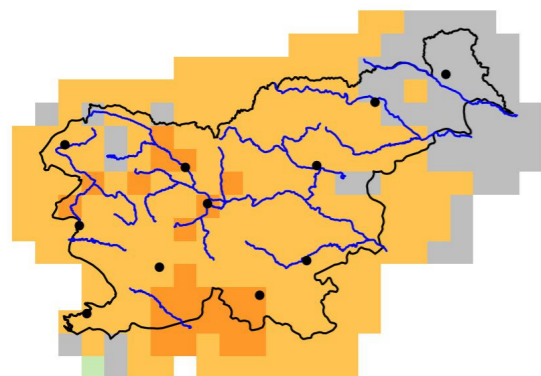
### Vodni primanjkljaj nad 0 mm, RCP4.5, jesen

Odklon glede na obdobje 1981–2010

Zanesljivost

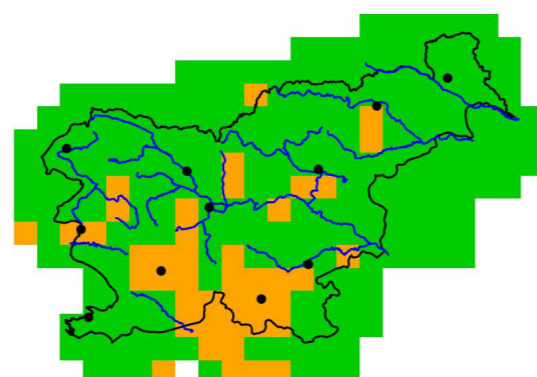
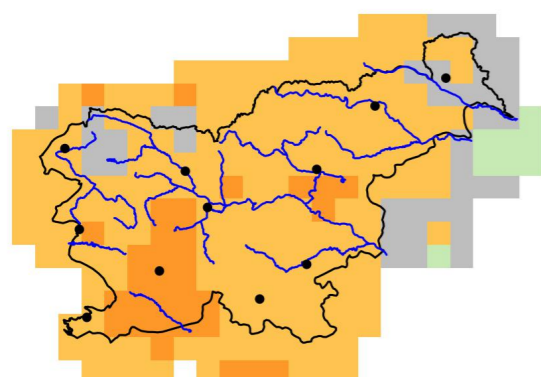
2011–2040

2011–2040



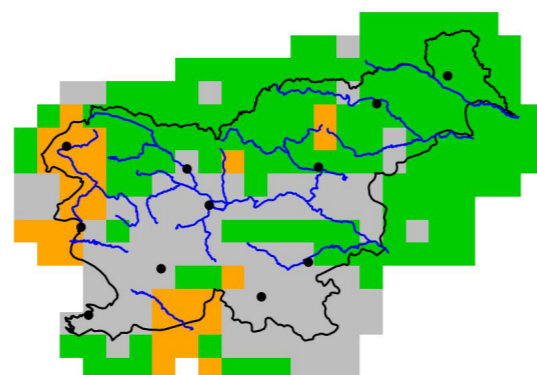
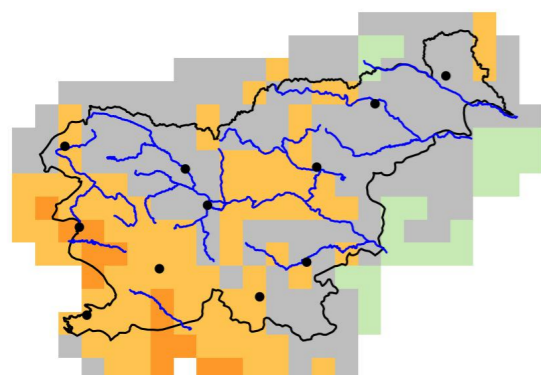
2041–2070

2041–2070

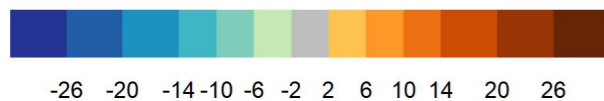


2071–2100

2071–2100



št. dni



nizka ni spremembe visoka



Slika 3.44 | Sprememba povprečnega števila sušnih dni – dni z vodnim primanjkljajem nad mejo 0 mm – jeseni v treh projekcijskih obdobjih glede na obdobje 1981–2010 in pripadajoča zanesljivost spremembe za scenarij RCP4.5

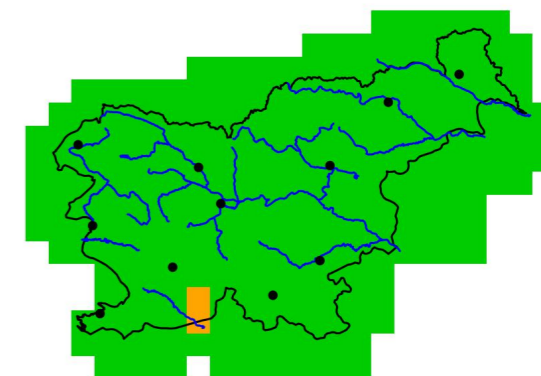
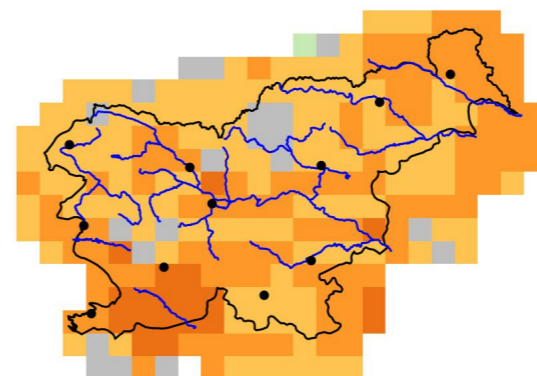
### Vodni primanjkljaj nad 0 mm, RCP8.5, leto

Odklon glede na obdobje 1981–2010

Zanesljivost

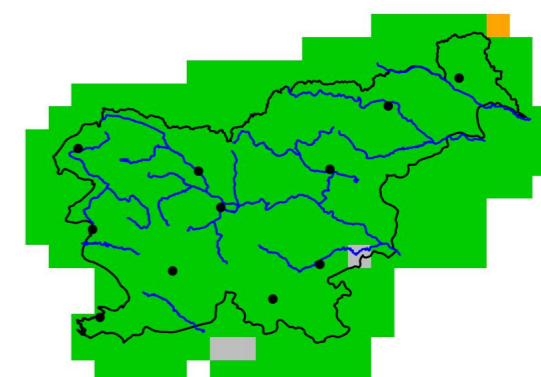
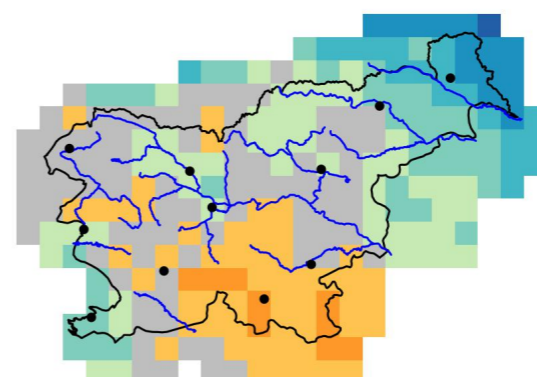
2011–2040

2011–2040



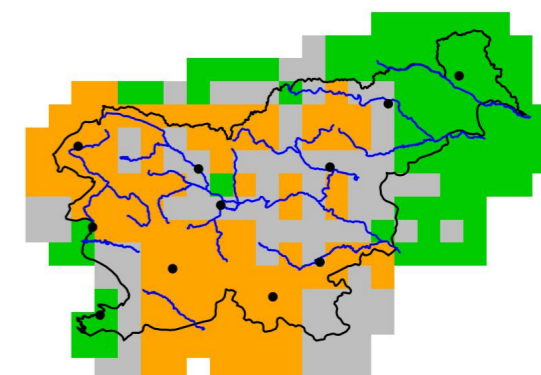
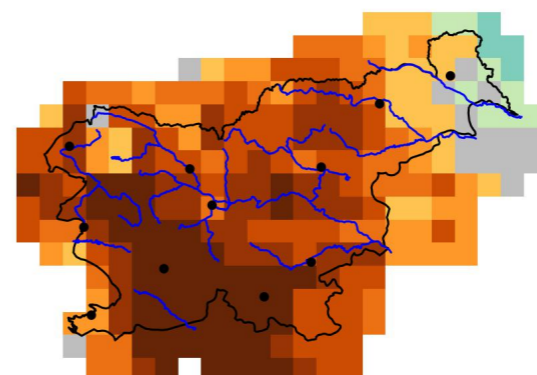
2041–2070

2041–2070

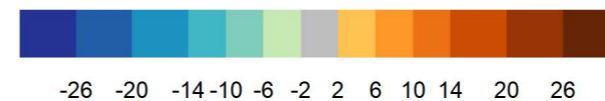


2071–2100

2071–2100



št. dni



nizka ni spremembe visoka



Slika 3.45 | Sprememba povprečnega števila sušnih dni – dni z vodnim primanjkljajem nad mejo 0 mm – v letu v treh projekcijskih obdobjih glede na obdobje 1981–2010 in pripadajoča zanesljivost spremembe za scenarij RCP8.5



### Vodni primanjkljaj nad 0 mm, RCP8.5, poletje

### Vodni primanjkljaj nad 0 mm, RCP8.5, jesen

Odklon glede na obdobje 1981–2010

Odklon glede na obdobje 1981–2010

2011–2040

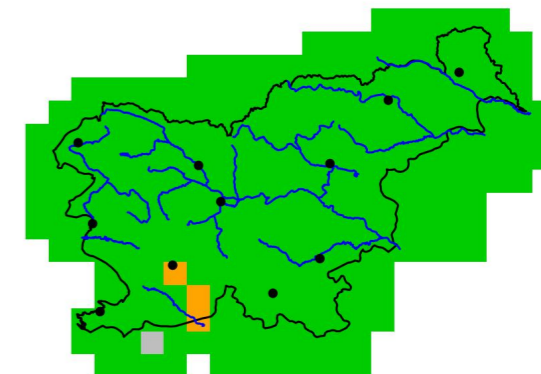
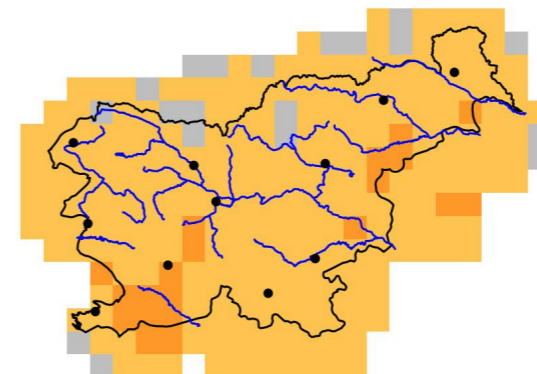
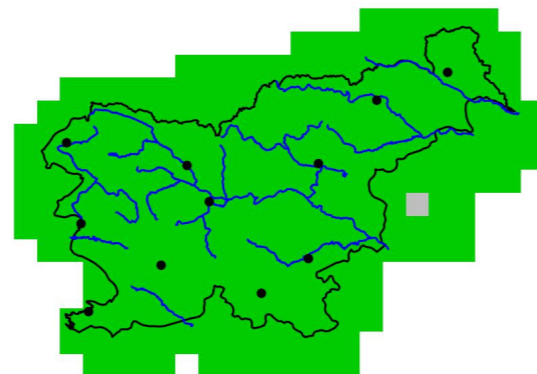
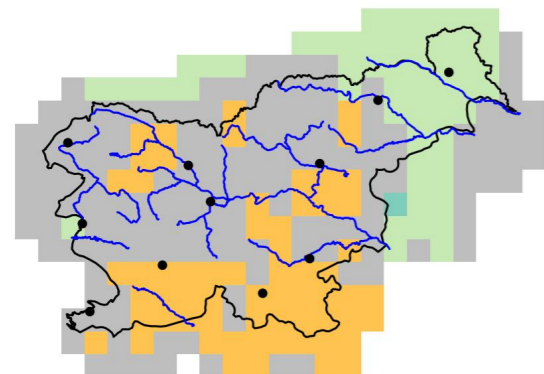
Zanesljivost

Zanesljivost

2011–2040

2011–2040

2011–2040

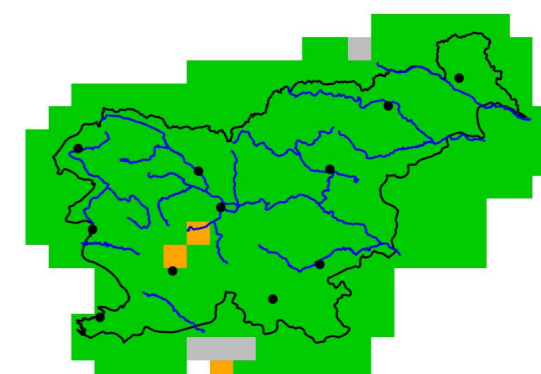
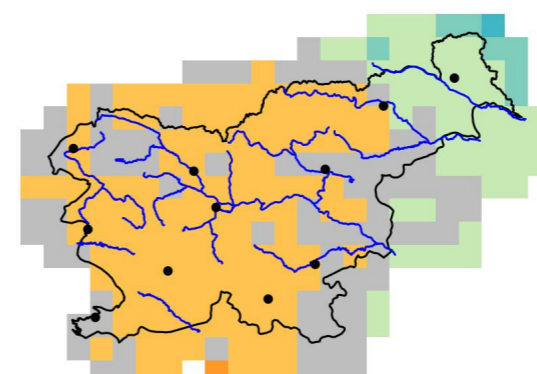
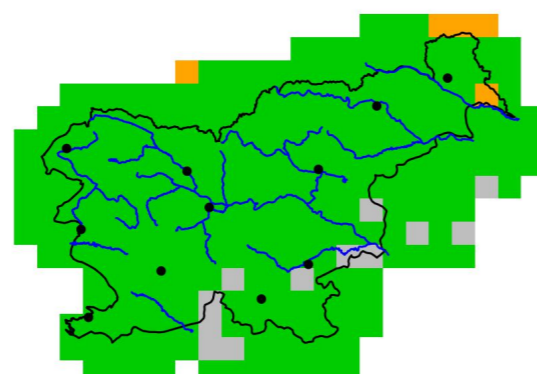
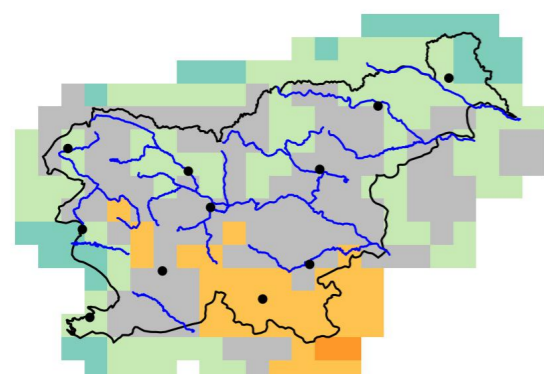


2041–2070

2041–2070

2041–2070

2041–2070

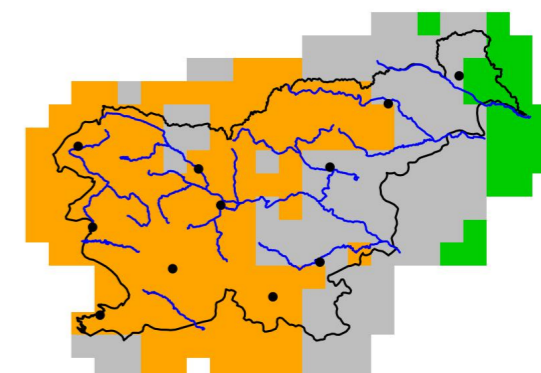
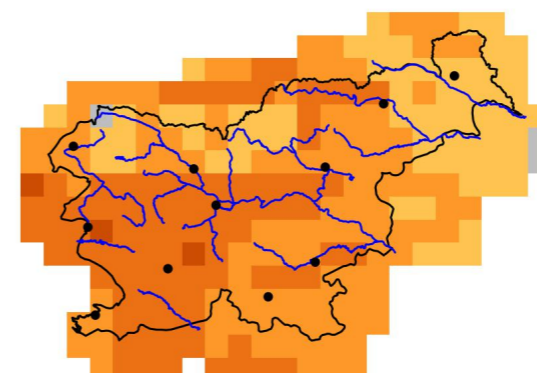
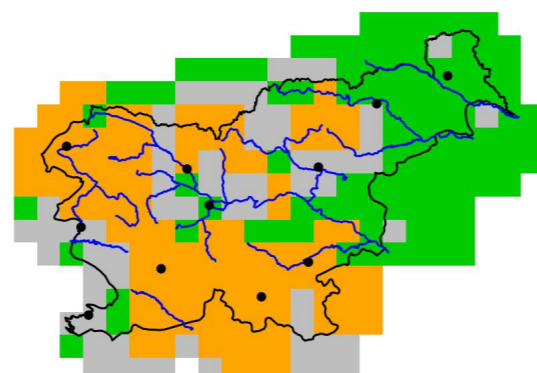
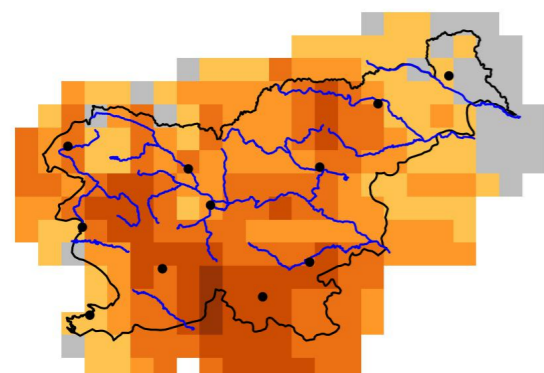


2071–2100

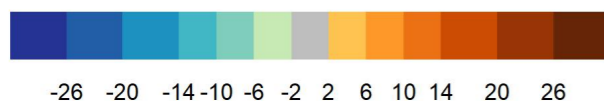
2071–2100

2071–2100

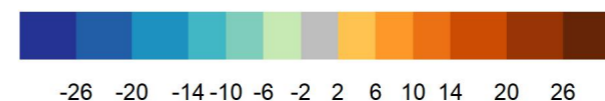
2071–2100



št. dni



št. dni



nizka ni spremembe visoka

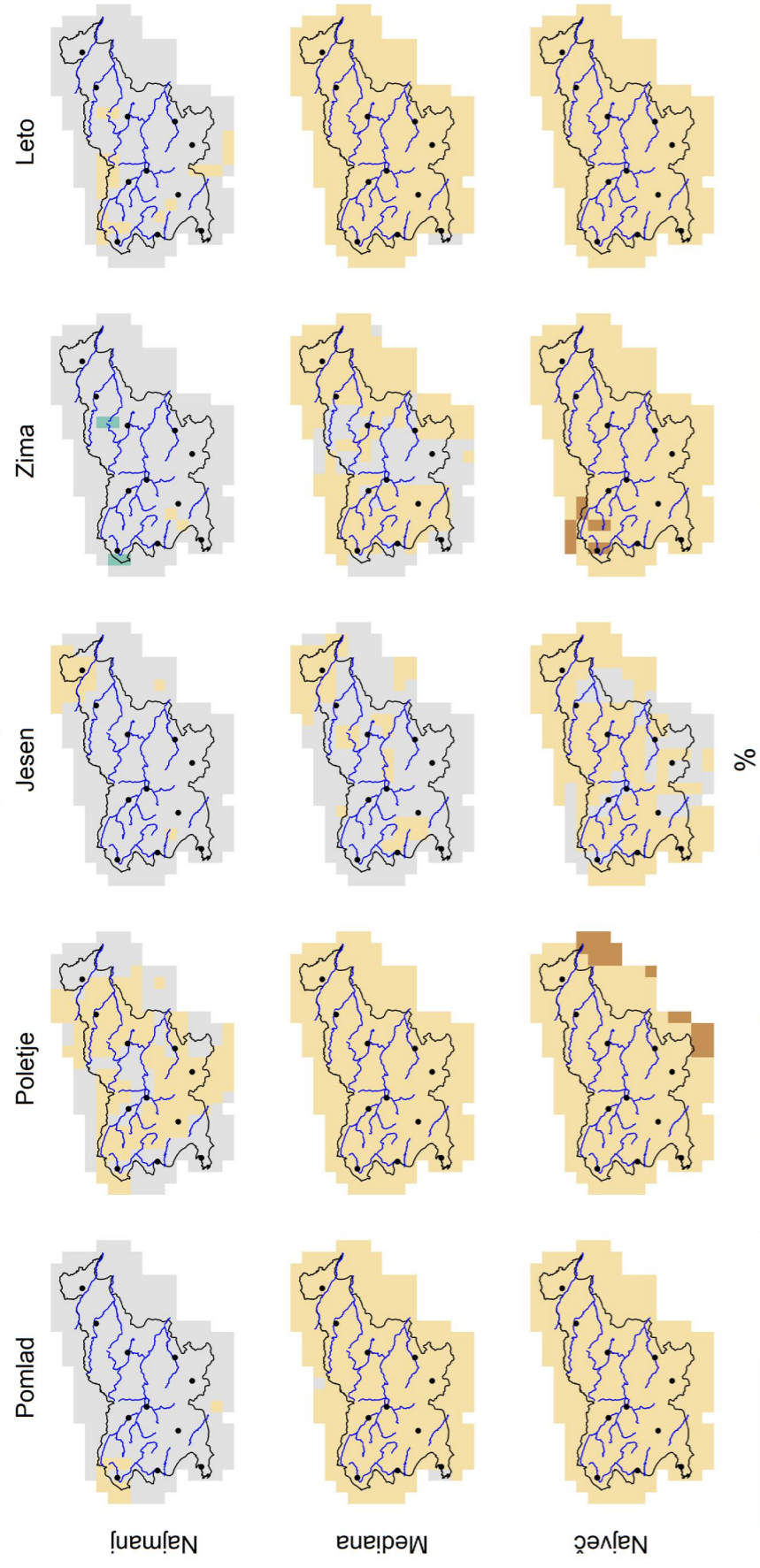
nizka ni spremembe visoka

Slika 3.46 | Sprememba povprečnega števila sušnih dni – dni z vodnim primanjkljajem nad mejo 0 mm – poleti v treh projekcijskih obdobjih glede na obdobje 1981–2010 in pripadajoča zanesljivost spremembe za scenarij RCP8.5

Slika 3.47 | Sprememba povprečnega števila sušnih dni – dni z vodnim primanjkljajem nad mejo 0 mm – jeseni v treh projekcijskih obdobjih glede na obdobje 1981–2010 in pripadajoča zanesljivost spremembe za scenarij RCP8.5

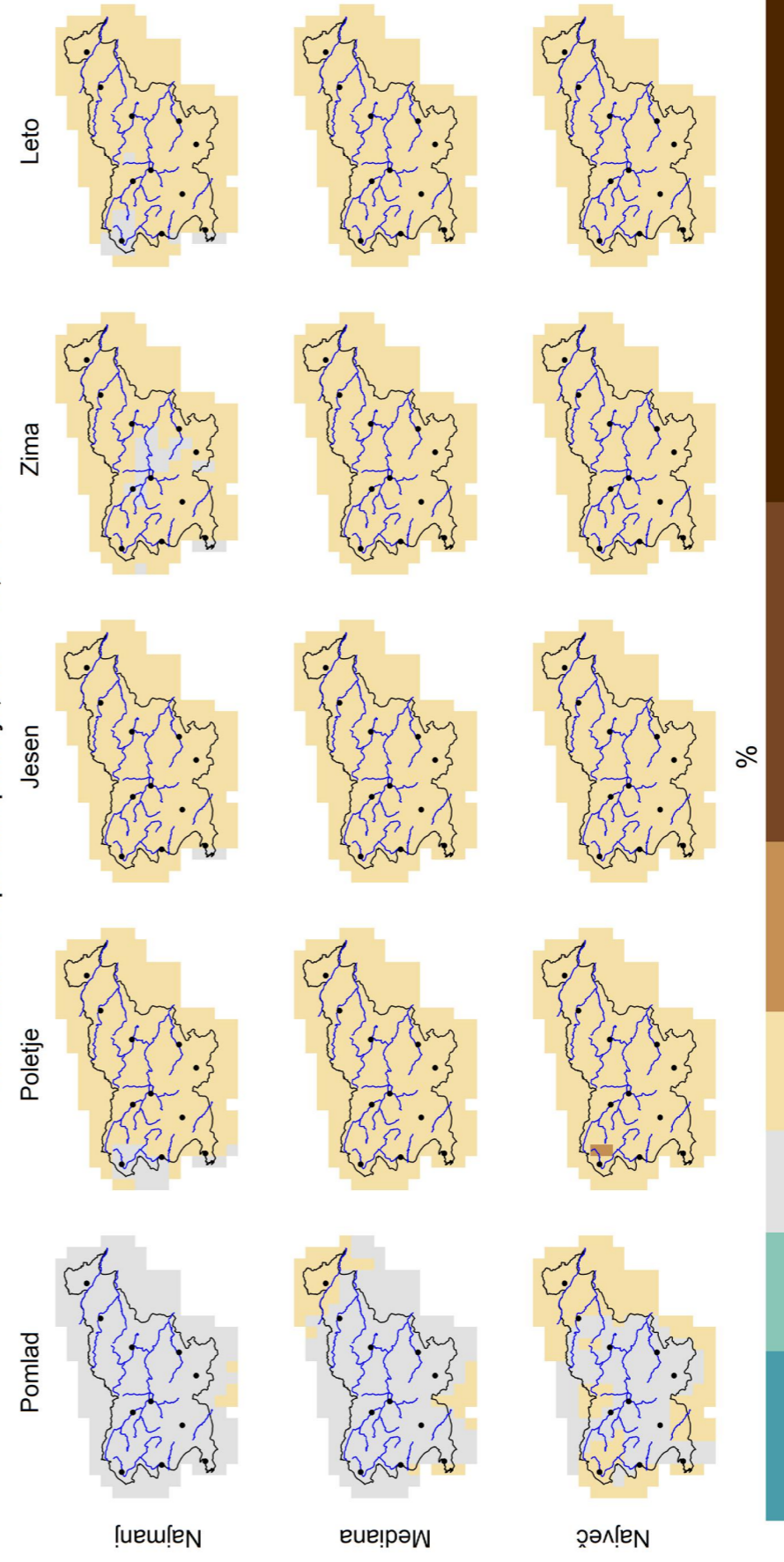


Referenčna evapotranspiracija, RCP2.6, 2011–2040



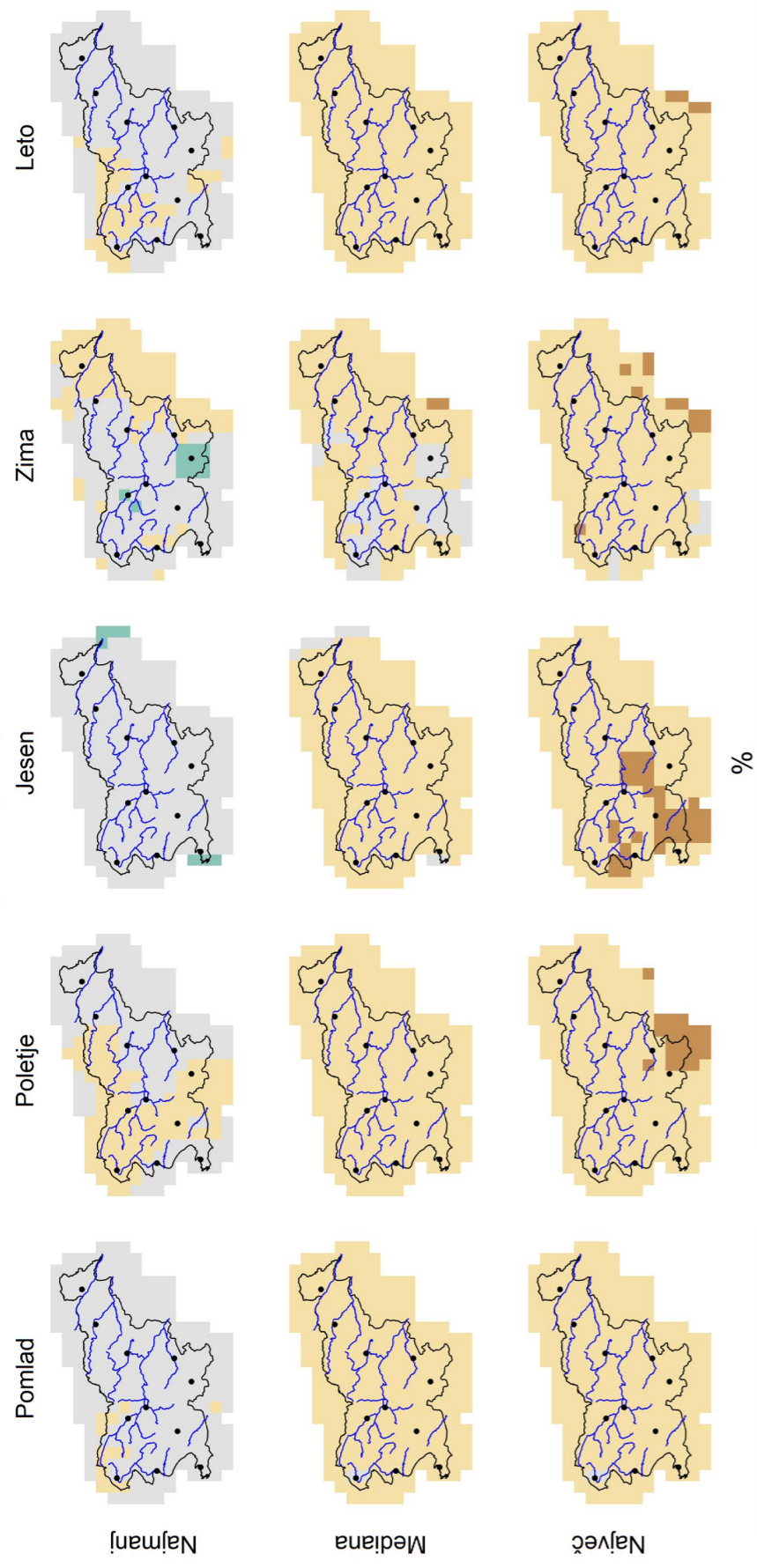
Slika 3.48 | Najmanjša vrednost, mediana in največja vrednost modelske relativne spremembe v obdobju 2011–2040 glede na obdobje 1981–2010 za povprečno evapotranspiracijo po meteoroloških letnih časih in za celo leto po scenariju RCP2.6

Referenčna evapotranspiracija, RCP2.6, 2041–2070



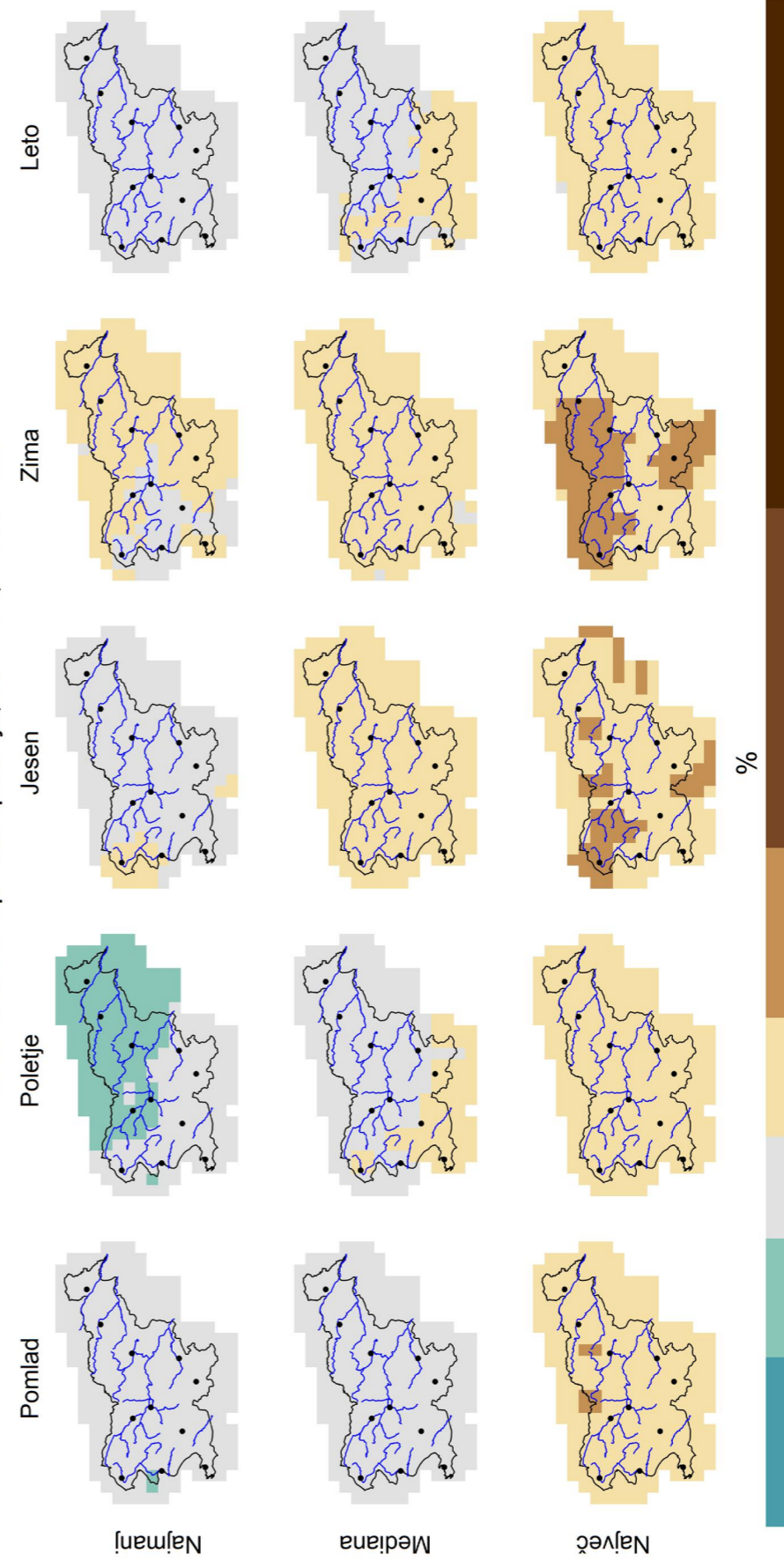
Slika 3.49 | Najmanjša vrednost, mediana in največja vrednost modelske relativne spremembe v obdobju 2041–2070 glede na obdobje 1981–2010 za povprečno evapotranspiracijo po meteoroloških letnih časih in za celo leto po scenariju RCP2.6

Referenčna evapotranspiracija, RCP2.6, 2071–2100



Slika 3.50 | Najmanjša vrednost, mediana in največja vrednost modelske relativne spremembe v obdobju 2071–2100 glede na obdobje 1981–2010 za povprečno evapotranspiracijo po meteoroloških letnih časih in za celo leto po scenariju RCP2.6

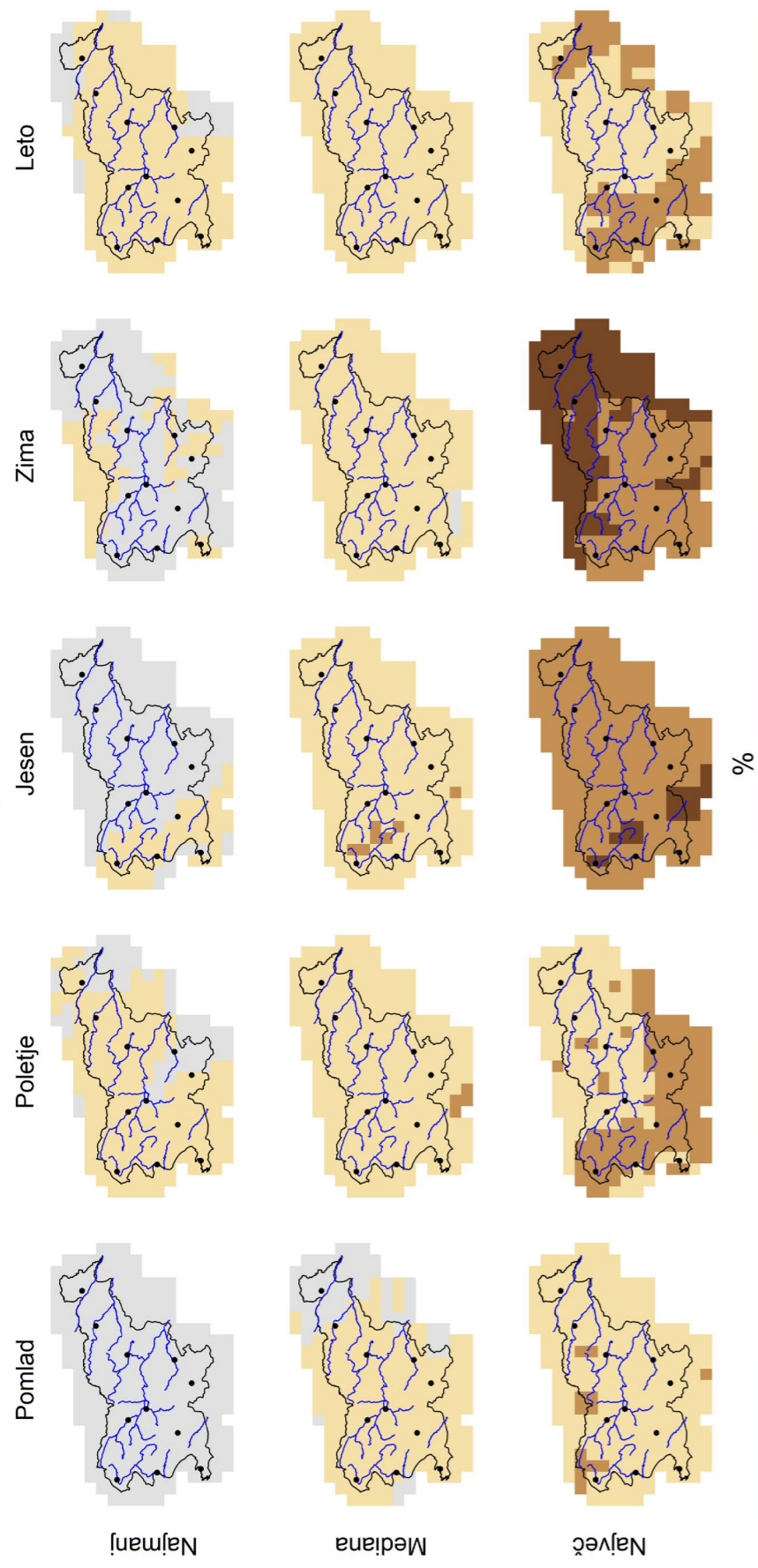
Referenčna evapotranspiracija, RCP4.5, 2011–2040



Slika 3.51 | Najmanjša vrednost, mediana in največja vrednost modelske relativne spremembe v obdobju 2011–2040 glede na obdobje 1981–2010 za povprečno evapotranspiracijo po meteoroloških letnih časih in za celo leto po scenariju RCP4.5

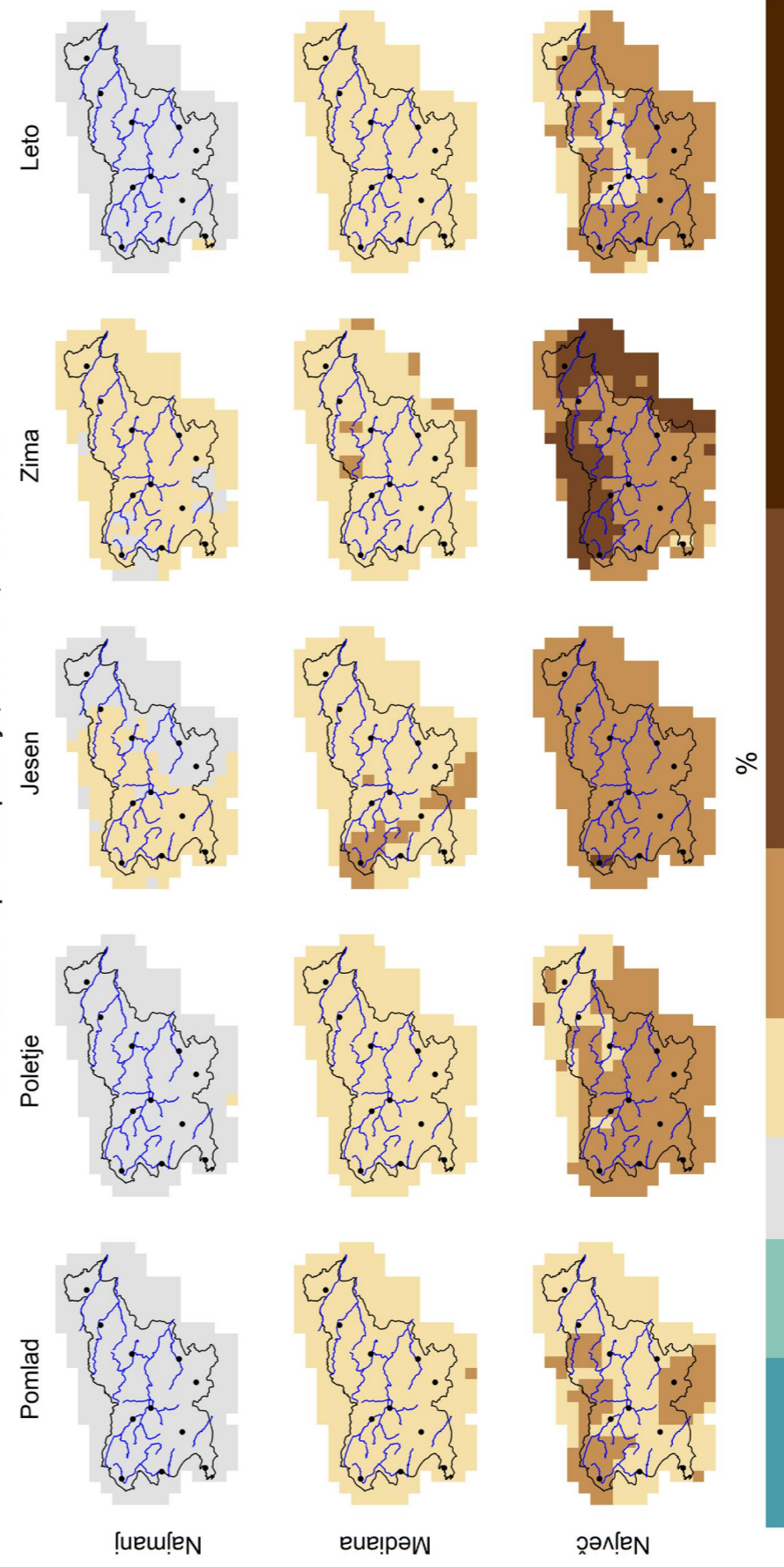


Referenčna evapotranspiracija, RCP4.5, 2041–2070



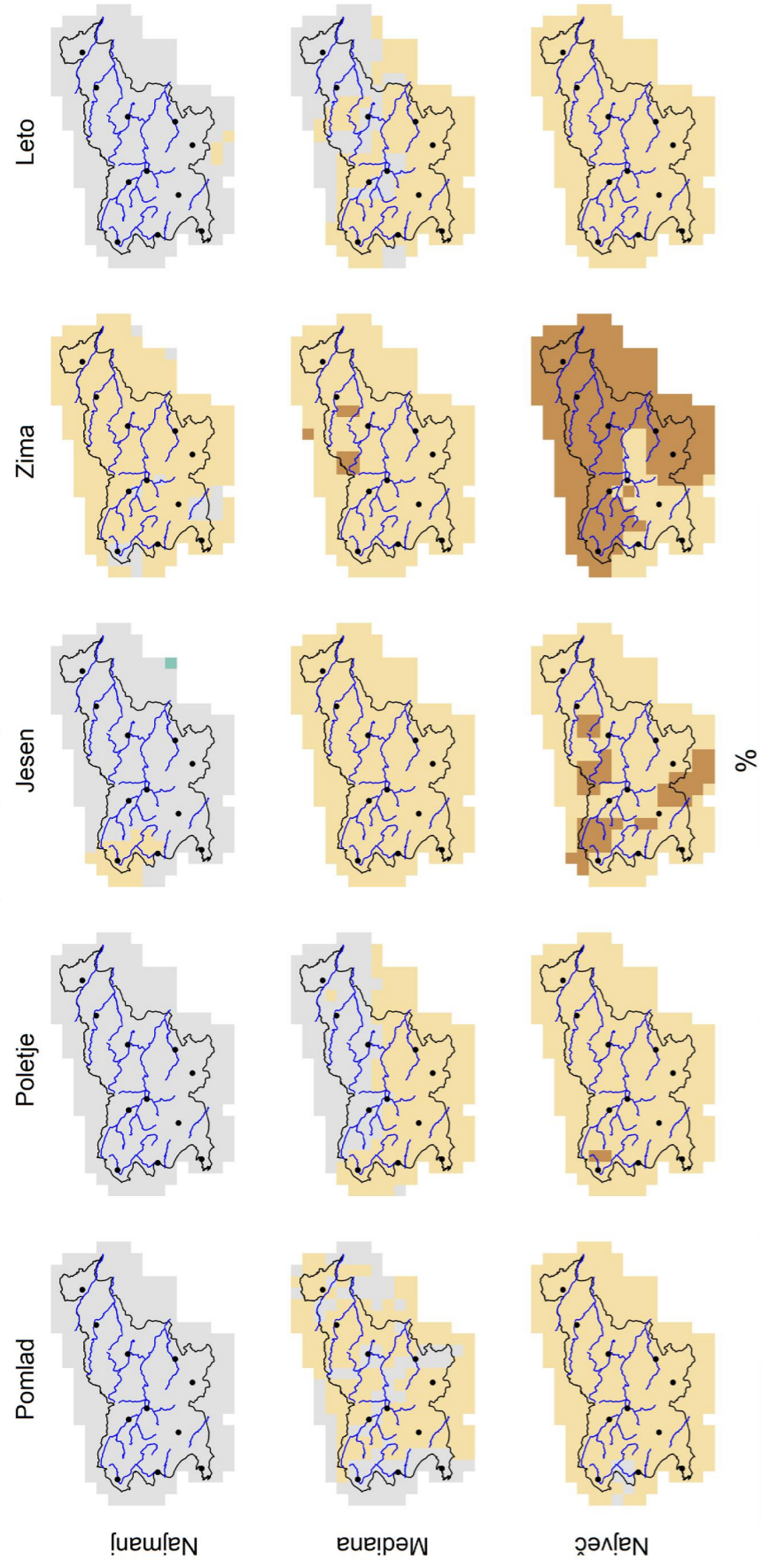
Slika 3.52 | Najmanjša vrednost, mediana in največja vrednost modelske relativne spremembe v obdobju 2041–2070 glede na obdobje 1981–2010 za povprečno evapotranspiracijo po meteoroloških letnih časih in za celo leto po scenariju RCP4.5

Referenčna evapotranspiracija, RCP4.5, 2071–2100



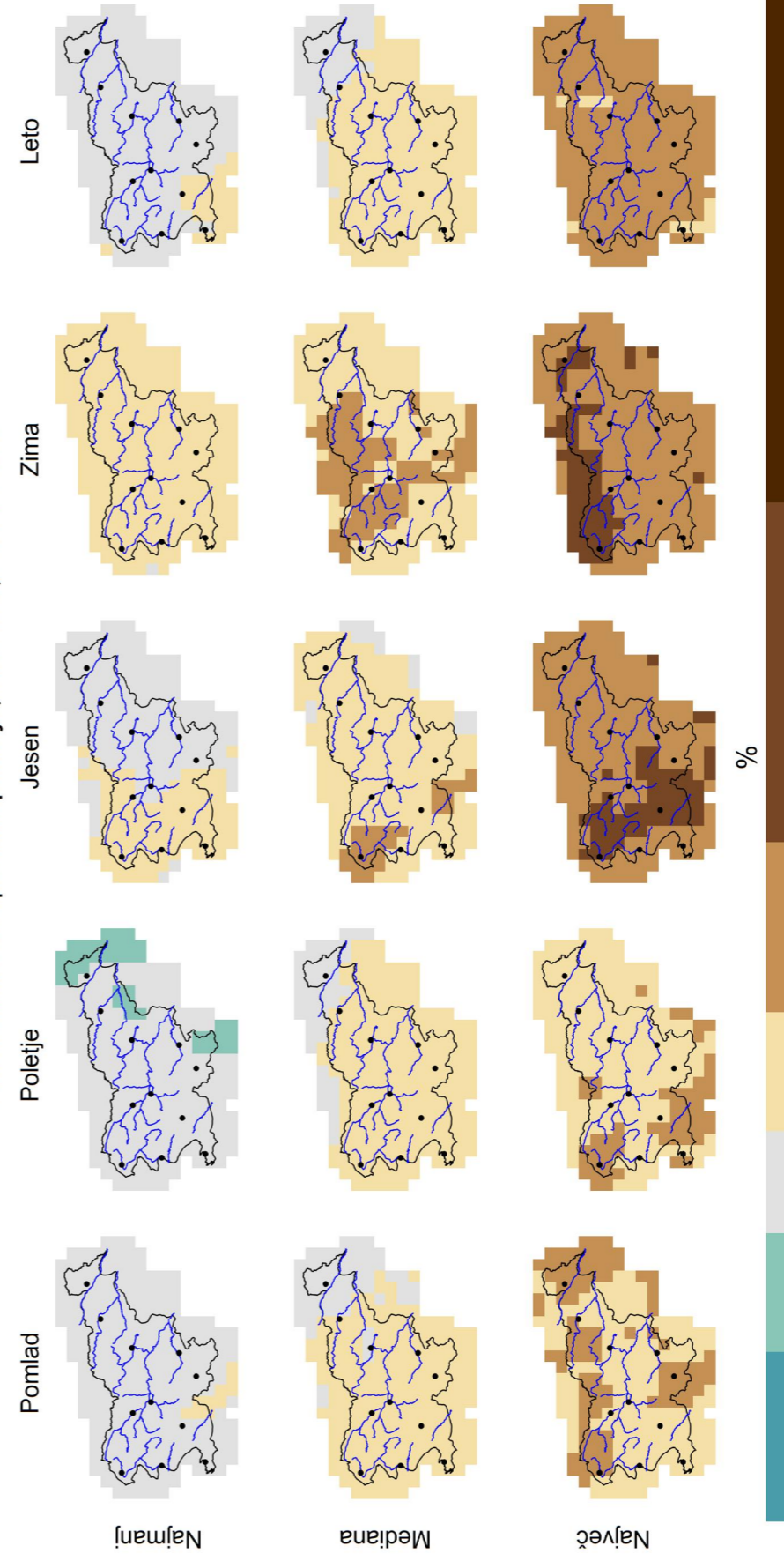
Slika 3.53 | Najmanjša vrednost, mediana in največja vrednost modelske relativne spremembe v obdobju 2071–2100 glede na obdobje 1981–2010 za povprečno evapotranspiracijo po meteoroloških letnih časih in za celo leto po scenariju RCP4.5

Referenčna evapotranspiracija, RCP8.5, 2011–2040



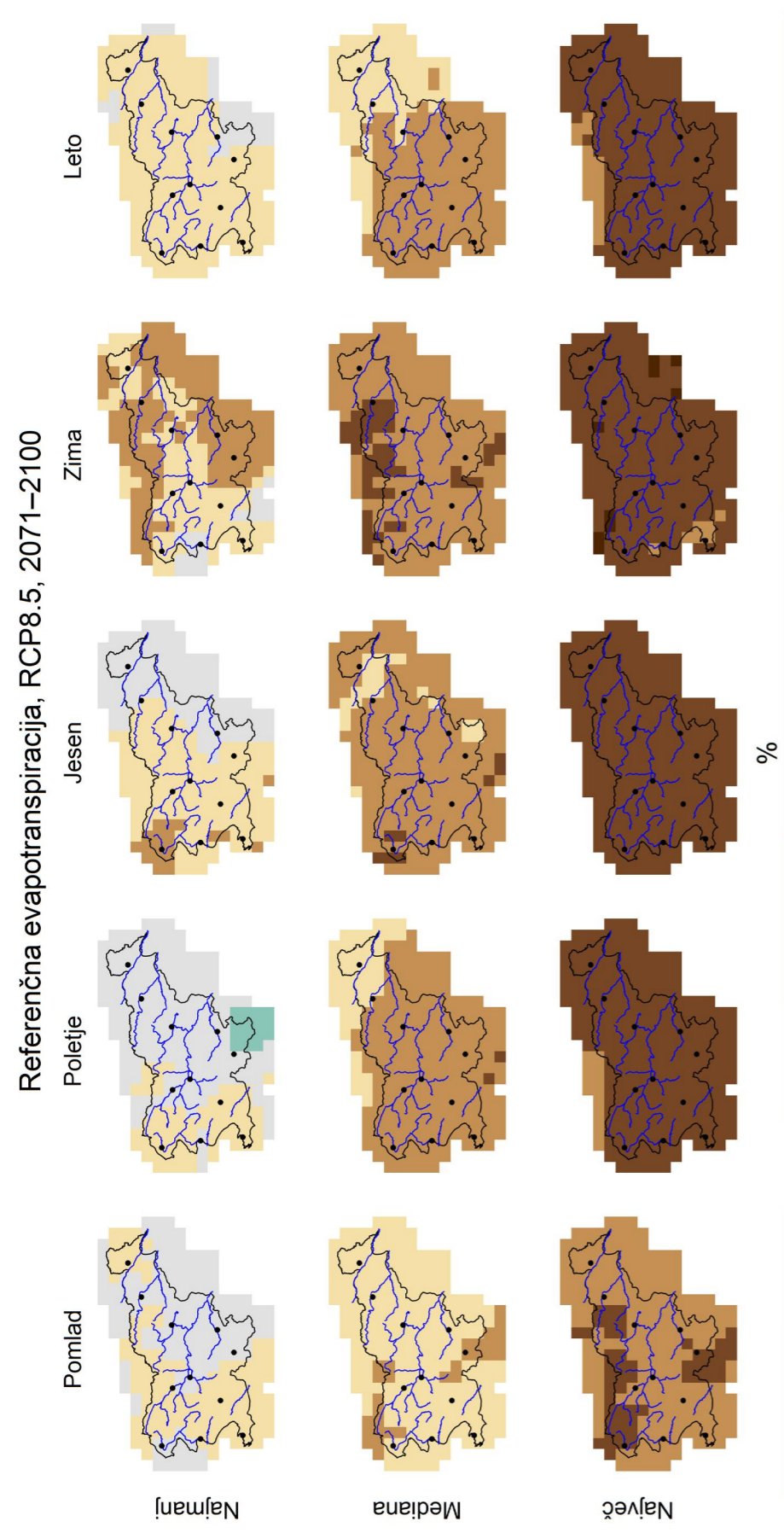
Slika 3.54 | Najmanjša vrednost, mediana in največja vrednost modelske relativne spremembe v obdobju 2011–2040 glede na obdobje 1981–2010 za povprečno evapotranspiracijo po meteoroloških letnih časih in za celo leto po scenariju RCP8.5

Referenčna evapotranspiracija, RCP8.5, 2041–2070

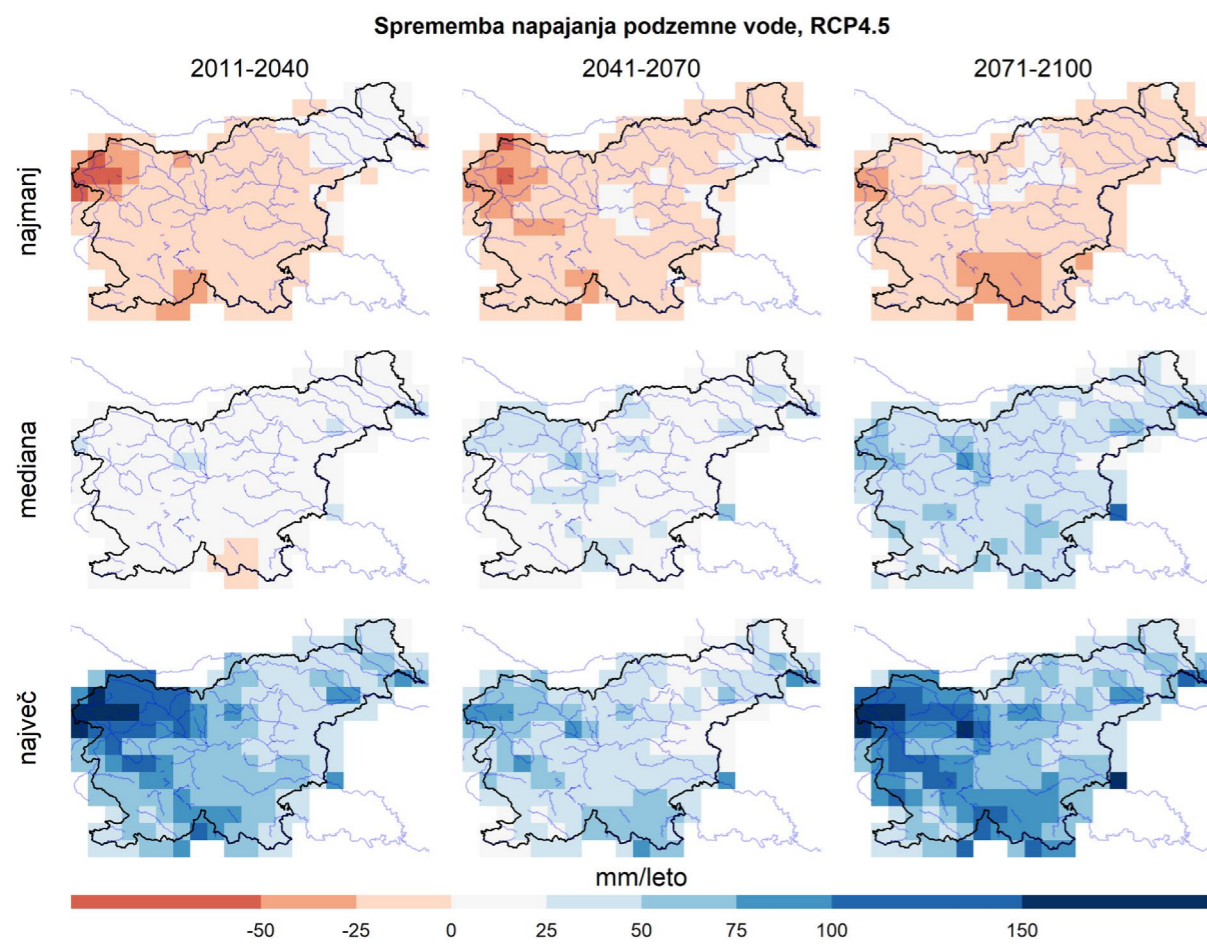


Slika 3.55 | Najmanjša vrednost, mediana in največja vrednost modelske relativne spremembe v obdobju 2041–2070 glede na obdobje 1981–2010 za povprečno evapotranspiracijo po meteoroloških letnih časih in za celo leto po scenariju RCP8.5

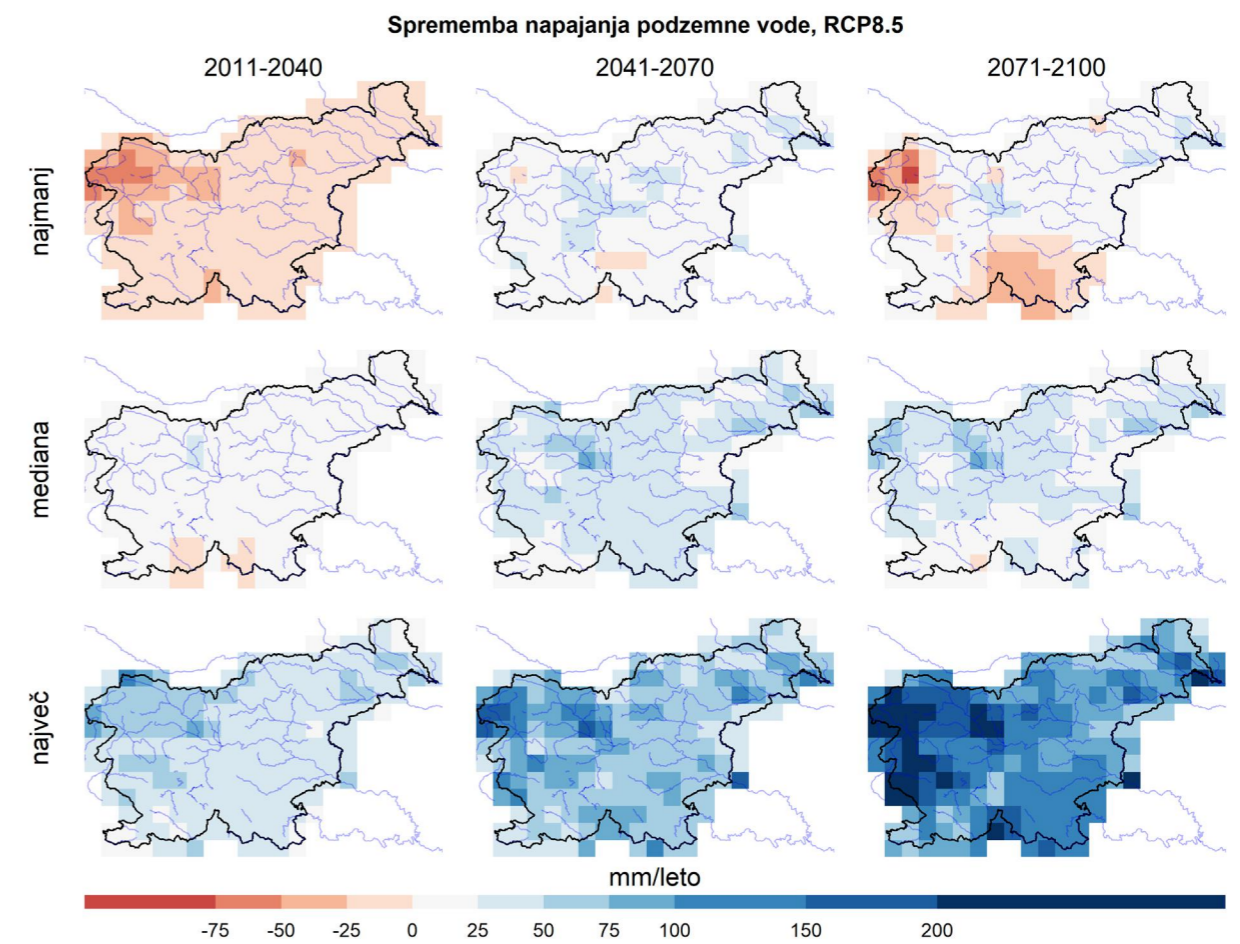




Slika 3.56 | Najmanjša vrednost, mediana in največja vrednost modelske relativne spremembe v obdobju 2071–2100 glede na obdobje 1981–2010 za povprečno evapotranspiracijo po meteoroloških letnih časih in za celo leto po scenariju RCP8.5

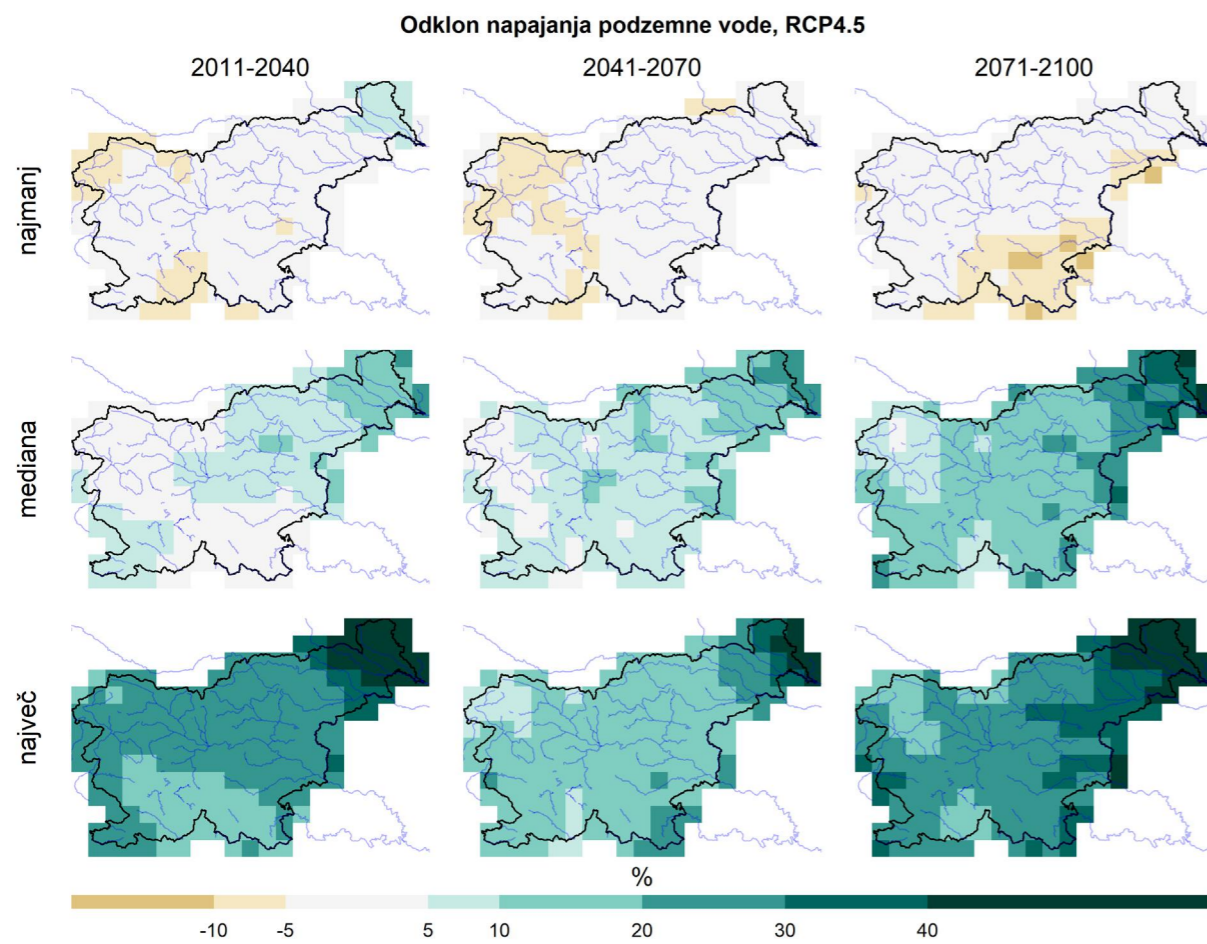


Slika 3.57 | Najmanjša vrednost, mediana in največja vrednost modelske spremembe glede na obdobje 1981–2010 za napajanje pozemne vode v treh projekcijskih obdobjih po scenariju RCP4.5

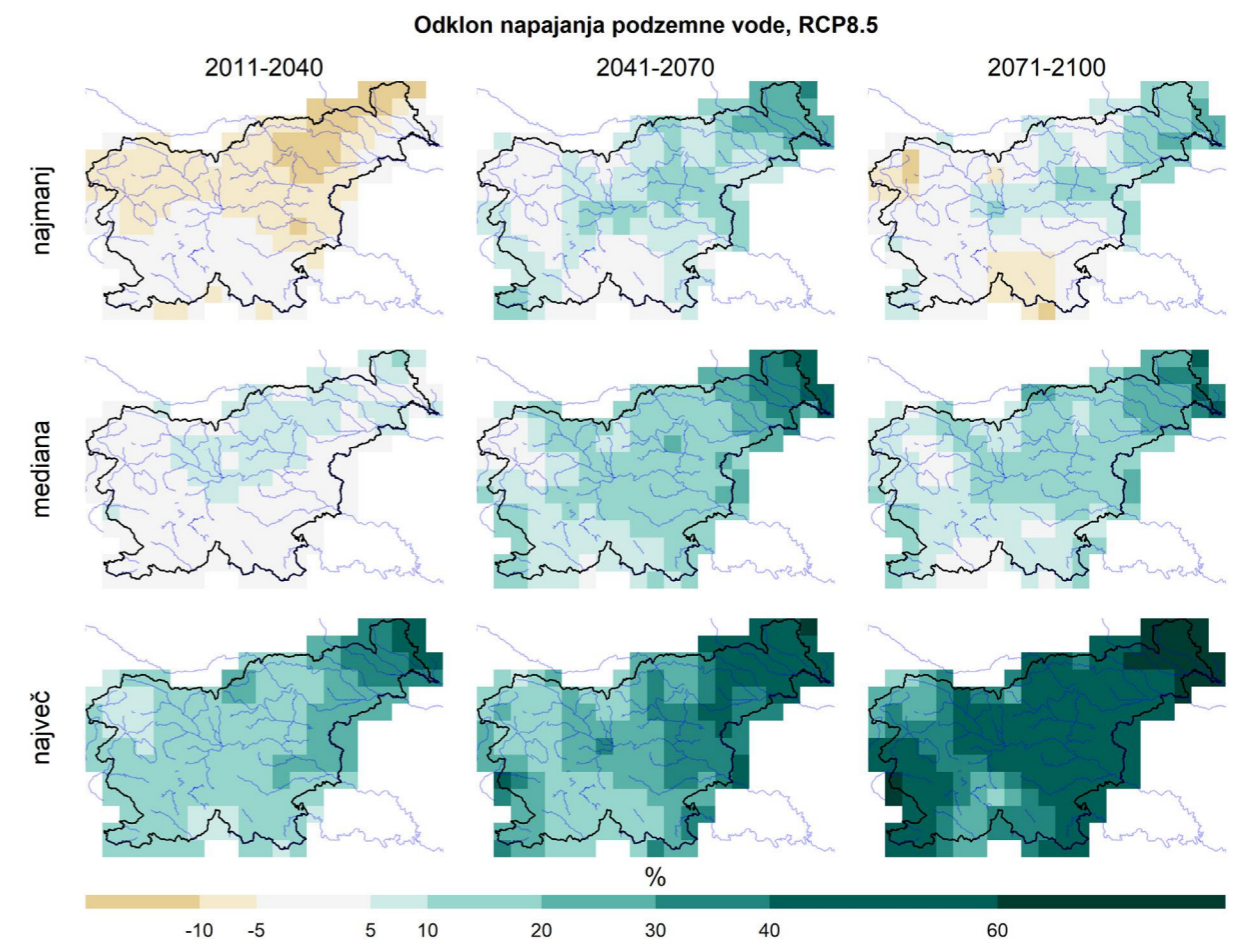


Slika 3.58 | Najmanjša vrednost, mediana in največja vrednost modelske spremembe glede na obdobje 1981–2010 za napajanje pozemne vode v treh projekcijskih obdobjih po scenariju RCP8.5

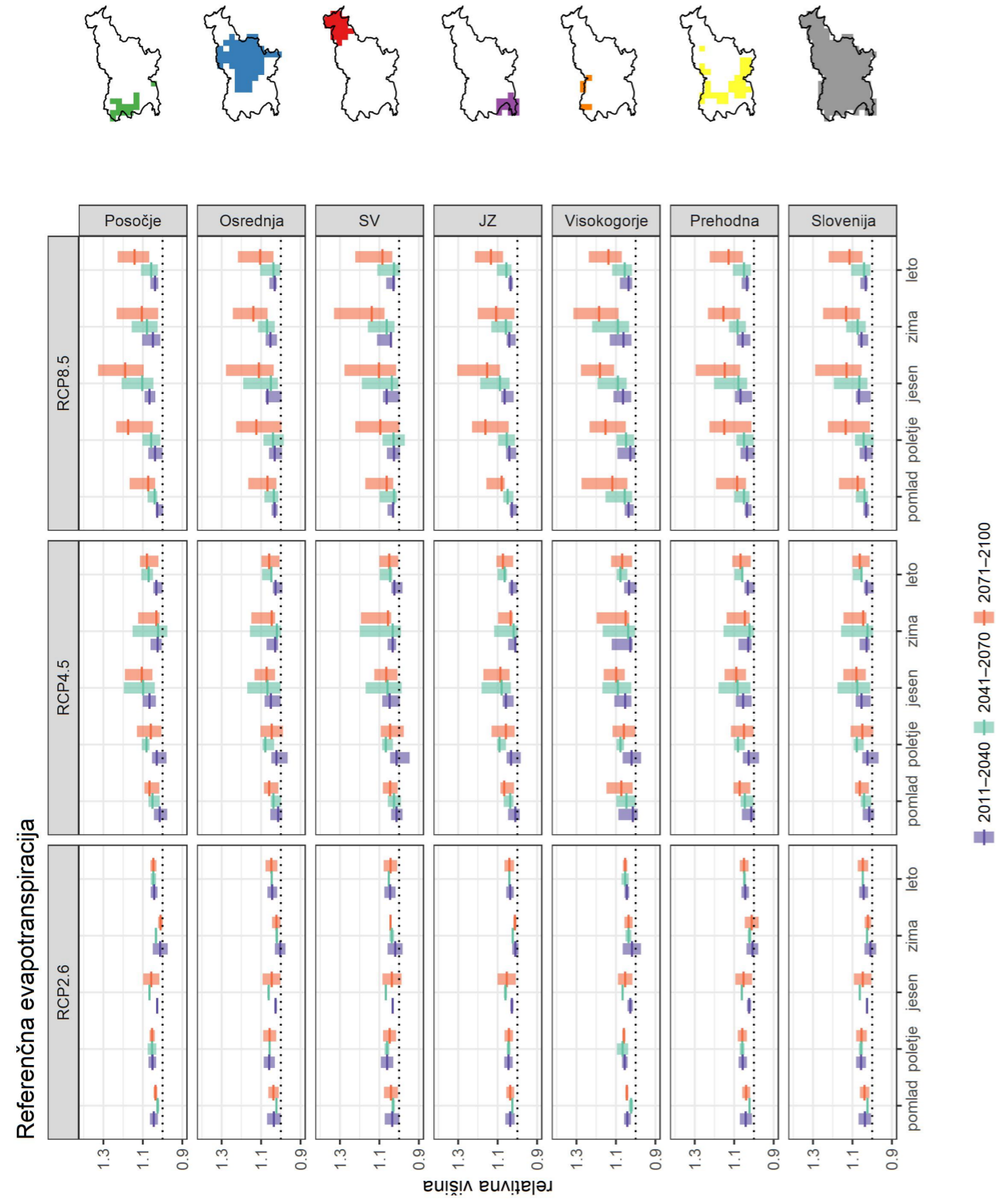




Slika 3.59 | Najmanjša vrednost, mediana in največja vrednost modelske relativne spremembe glede na obdobje 1981–2010 za napajanje pozemne vode v treh projekcijskih obdobjih po scenariju RCP4.5



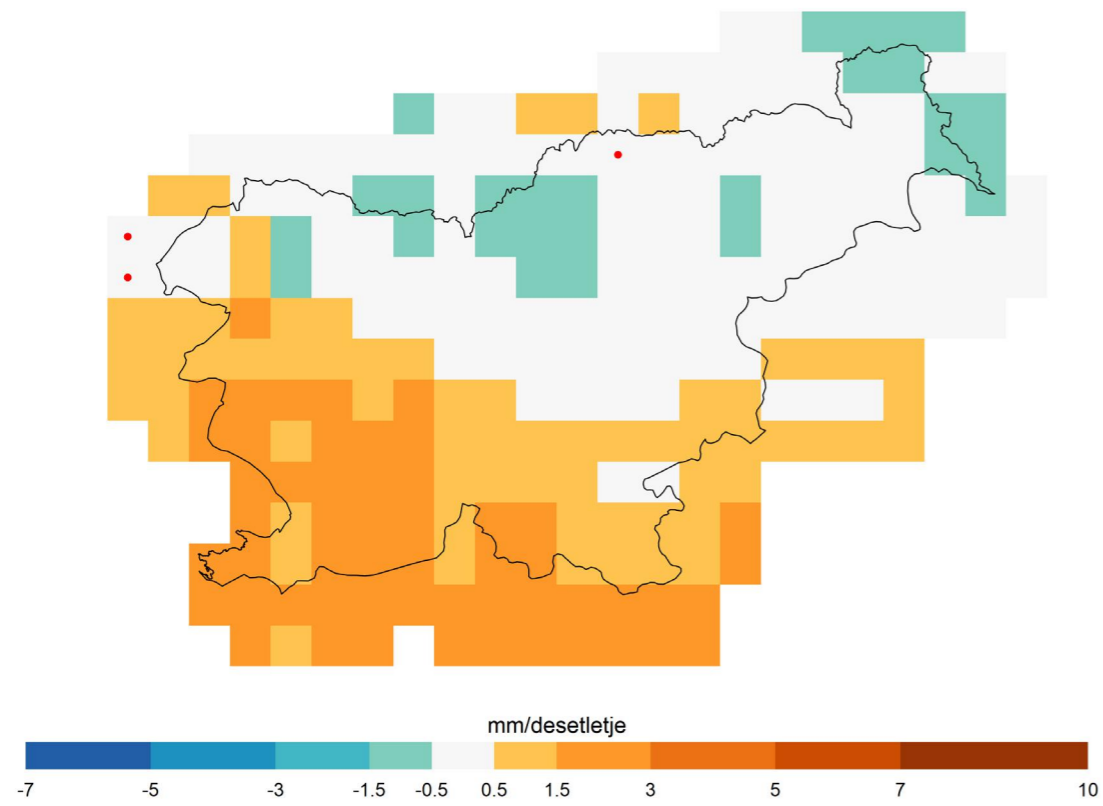
Slika 3.60 | Najmanjša vrednost, mediana in največja vrednost modelske relativne spremembe glede na obdobje 1981–2010 za napajanje pozemne vode v treh projekcijskih obdobjih po scenariju RCP8.5



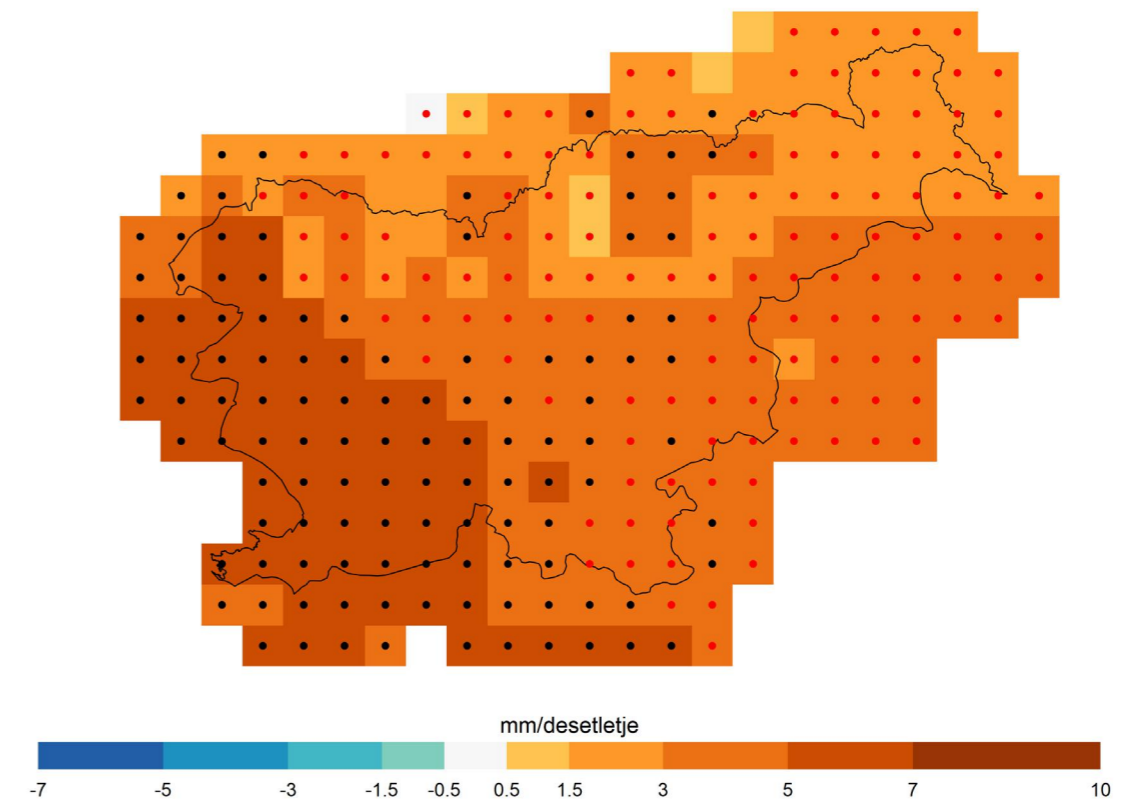
Slika 3.61 | Povprečni razponi sprememb povprečne evapotranspiracije v posameznih regijah po meteoroloških letnih časih in za celo leto za tri scenarije izpustov



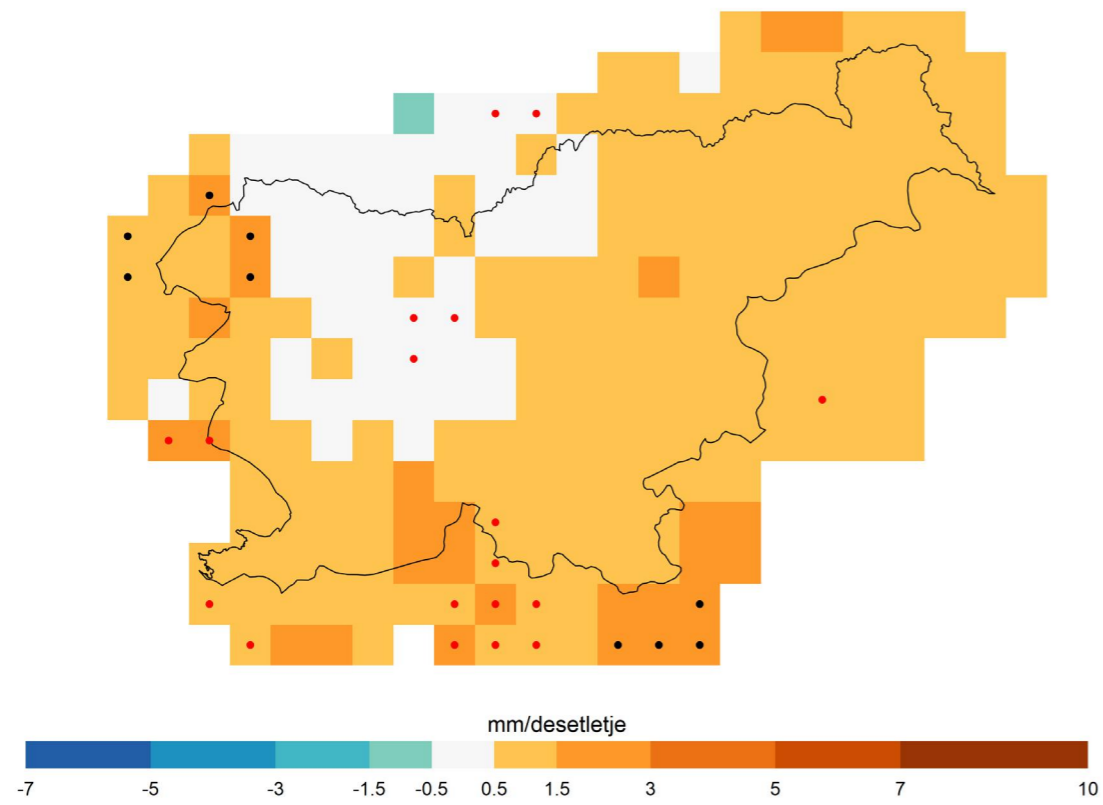
Trend največjega vodnega primanjkljaja, RCP2.6, leto



Trend največjega vodnega primanjkljaja, RCP8.5, leto

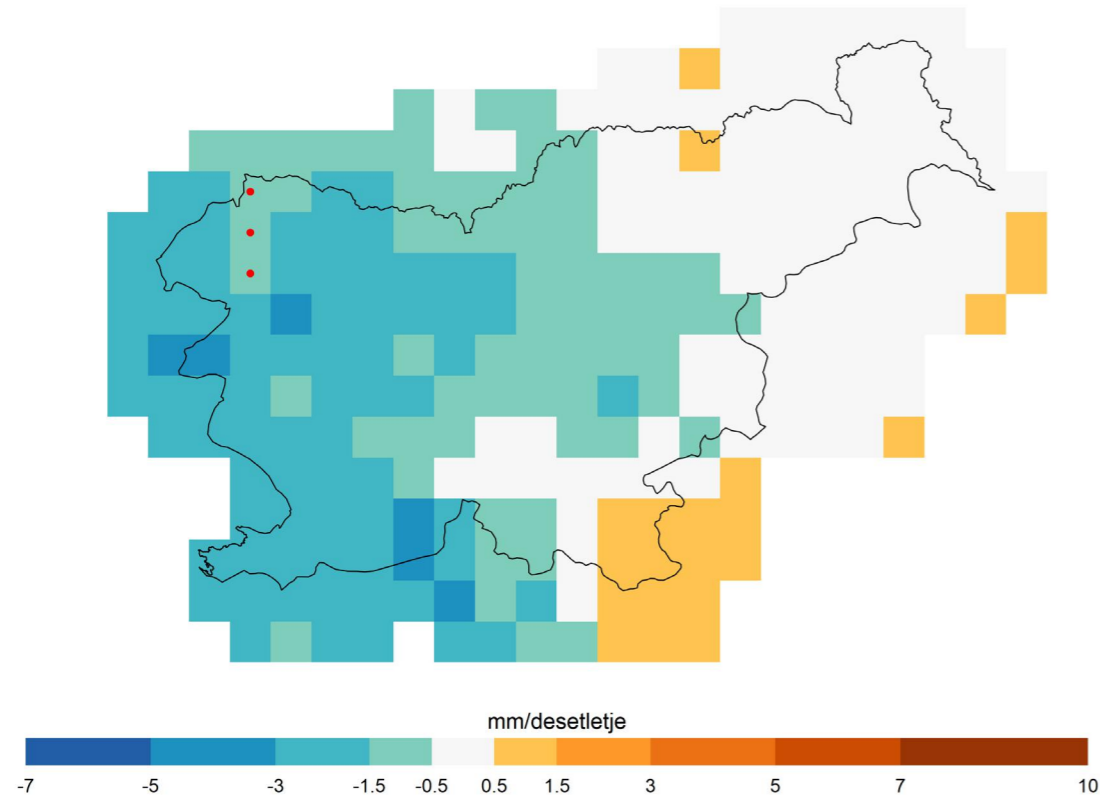


Trend največjega vodnega primanjkljaja, RCP4.5, leto

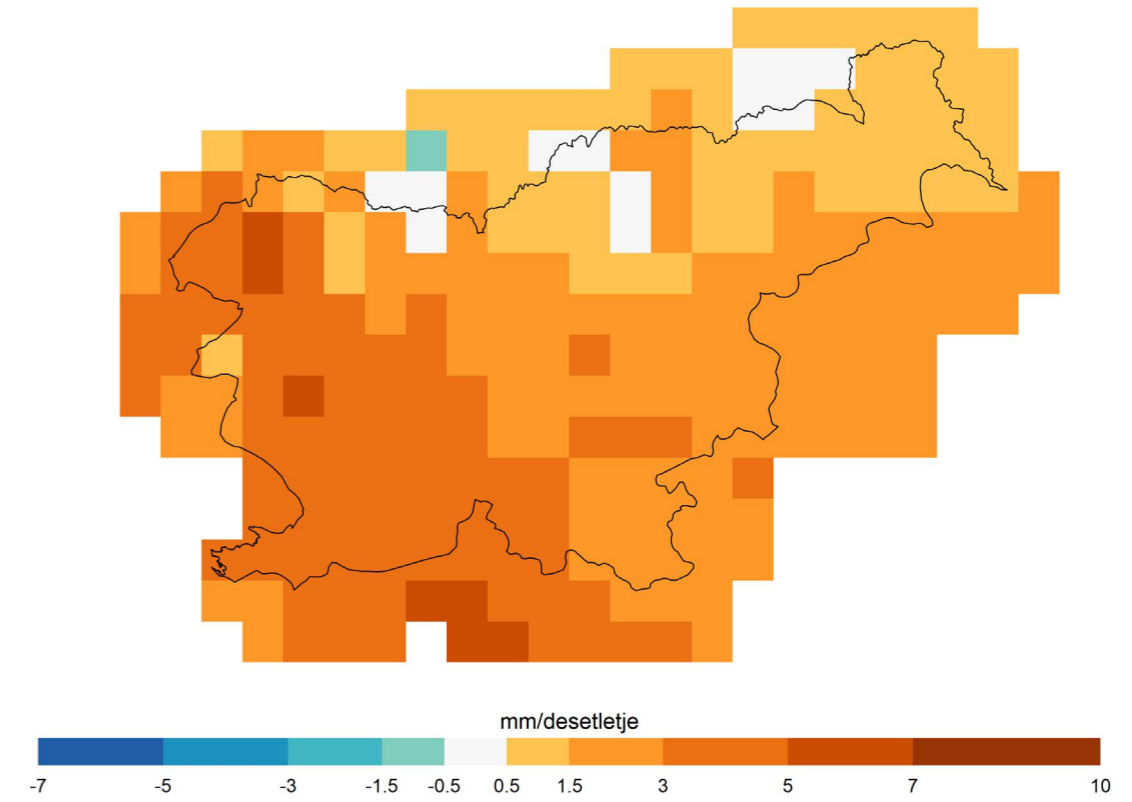


Slika 3.62 | Trendi največjega letnega vodnega primanjkljaja s pripadajočo zanesljivostjo za scenarij RCP2.6 (zgoraj), RCP4.5 (spodaj) in RCP8.5 (naslednja stran) v obdobju 1981–2100. Črne pike označujejo celice z zanesljivim trendom, rdeče pike celice z nezanesljivim trendom. V ostalih celicah ni izrazitega trenda (zaznane spremembe so manjše od naravne spremenljivosti).

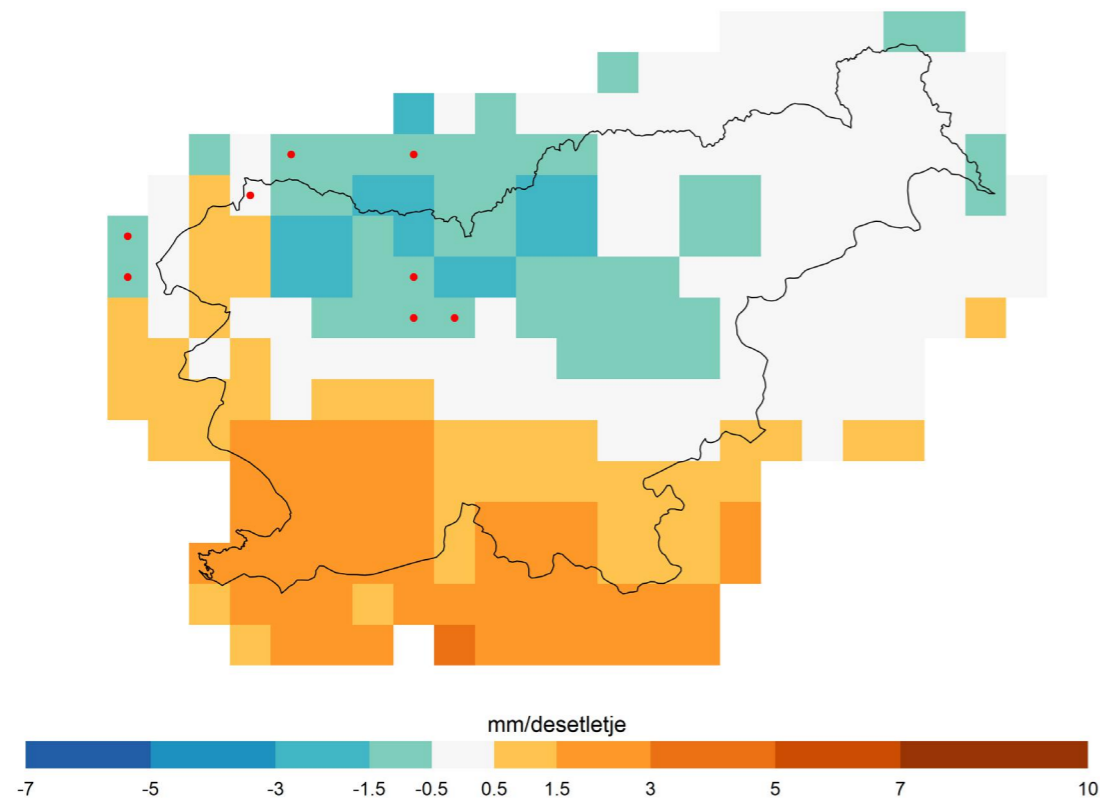
Trend največjega vodnega primanjkljaja, RCP2.6, pomlad



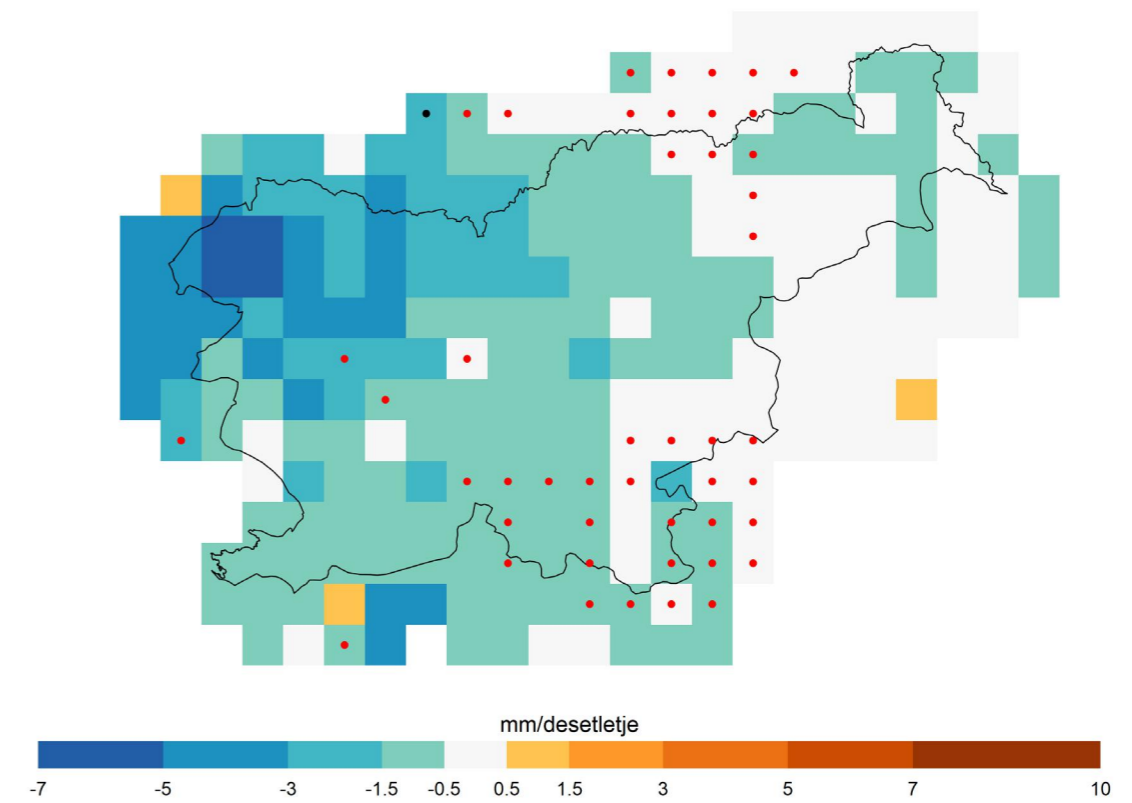
Trend največjega vodnega primanjkljaja, RCP2.6, jesen



Trend največjega vodnega primanjkljaja, RCP2.6, poletje



Trend največjega vodnega primanjkljaja, RCP2.6, zima

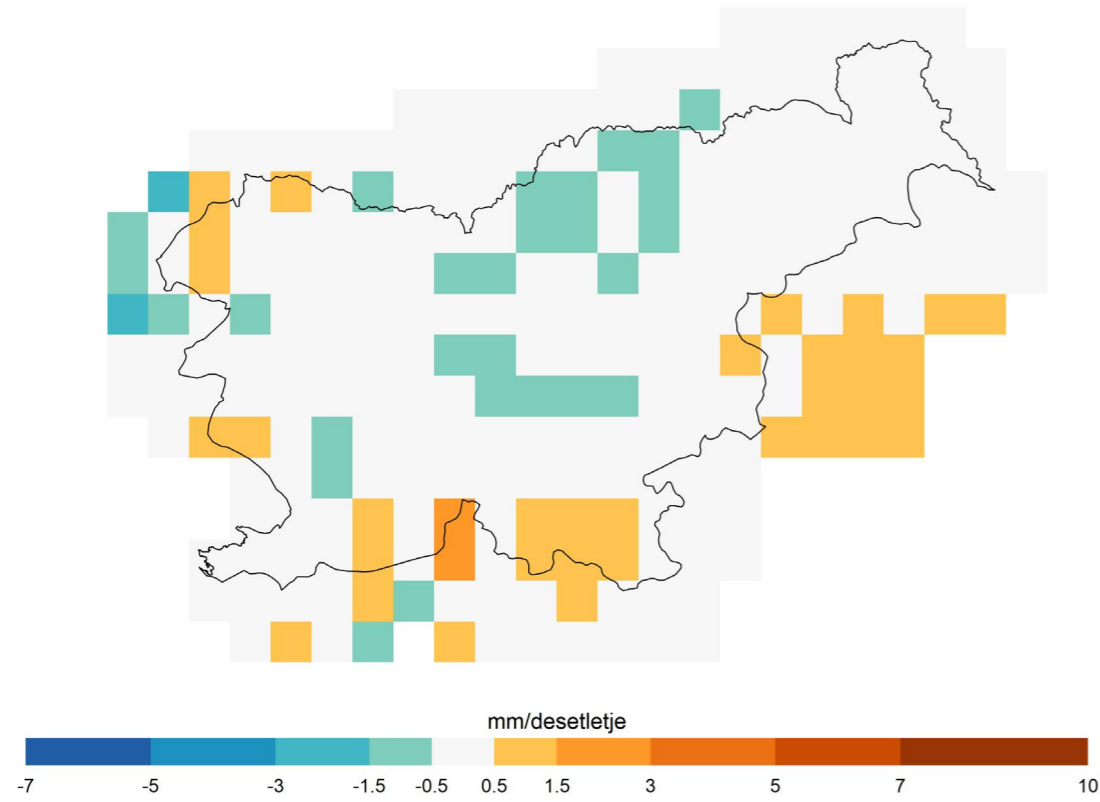


Slika 3.63 | Trendi največjega vodnega primanjkljaja spomladi (zgoraj) in poleti (spodaj) s pripadajočo zanesljivostjo za scenarij RCP2.6 v obdobju 1981–2100. Črne pike označujejo celice z zanesljivim trendom, rdeče pike celice z nezanesljivim trendom. V ostalih celicah ni izrazitega trenda (zaznane spremembe so manjše od naravne spremenljivosti).

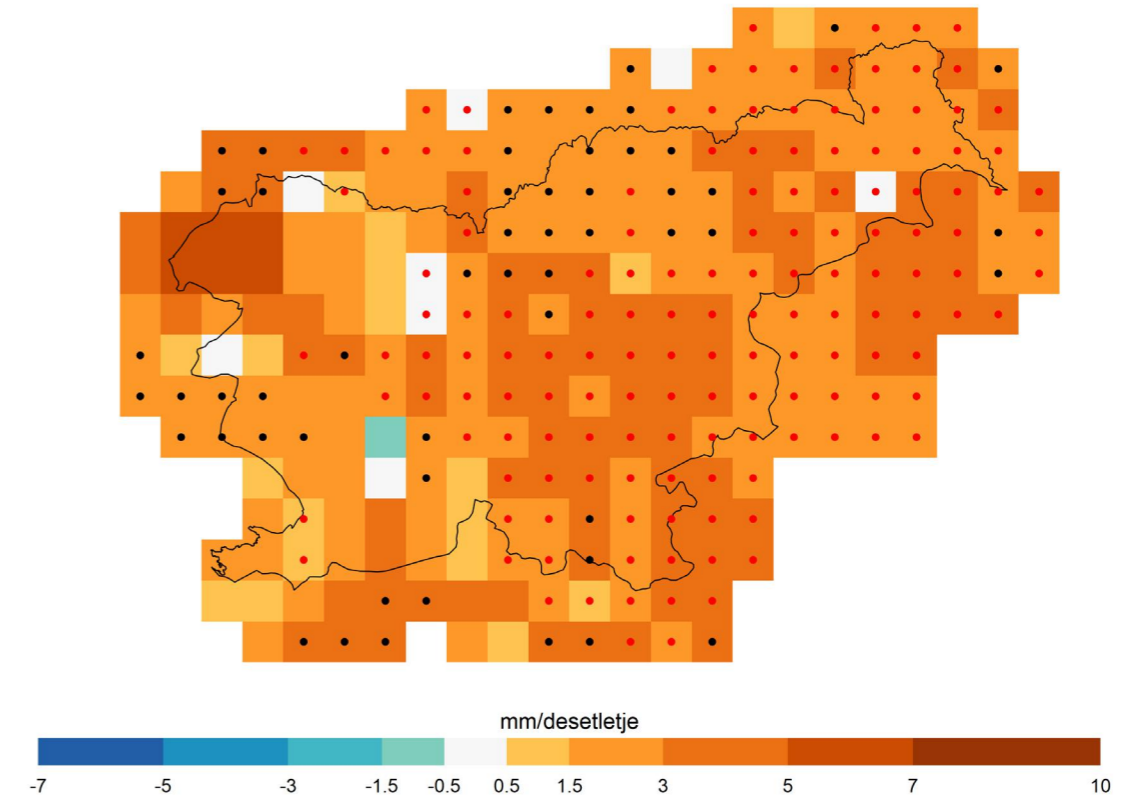
Slika 3.64 | Trendi največjega vodnega primanjkljaja jeseni (zgoraj) in pozimi (spodaj) s pripadajočo zanesljivostjo za scenarij RCP2.6 v obdobju 1981–2100. Črne pike označujejo celice z zanesljivim trendom, rdeče pike celice z nezanesljivim trendom. V ostalih celicah ni izrazitega trenda (zaznane spremembe so manjše od naravne spremenljivosti).



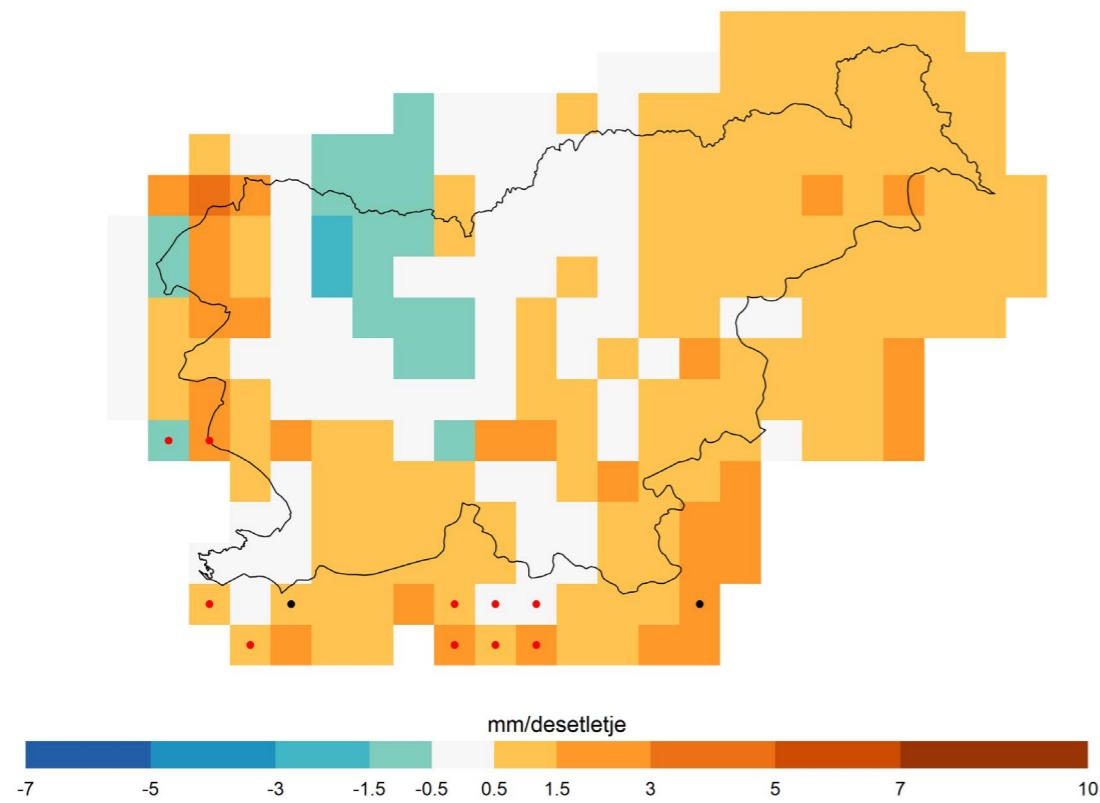
Trend največjega vodnega primanjkljaja, RCP4.5, pomlad



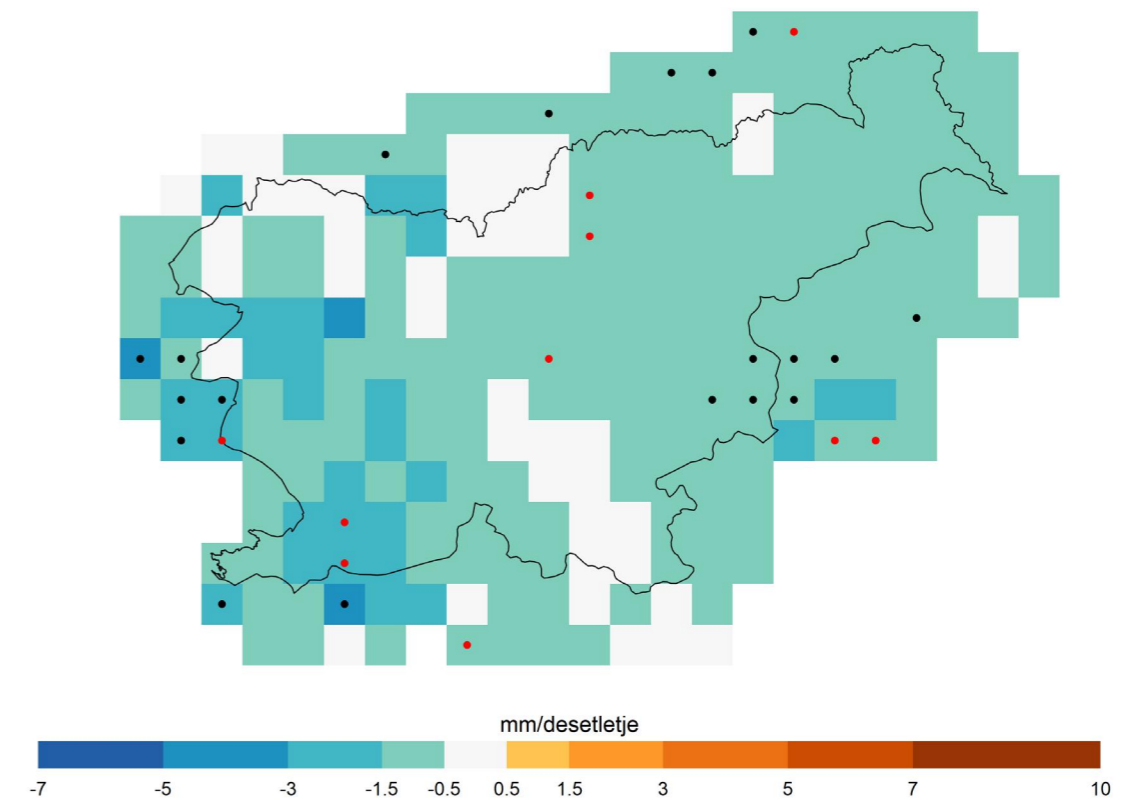
Trend največjega vodnega primanjkljaja, RCP4.5, jesen



Trend največjega vodnega primanjkljaja, RCP4.5, poletje



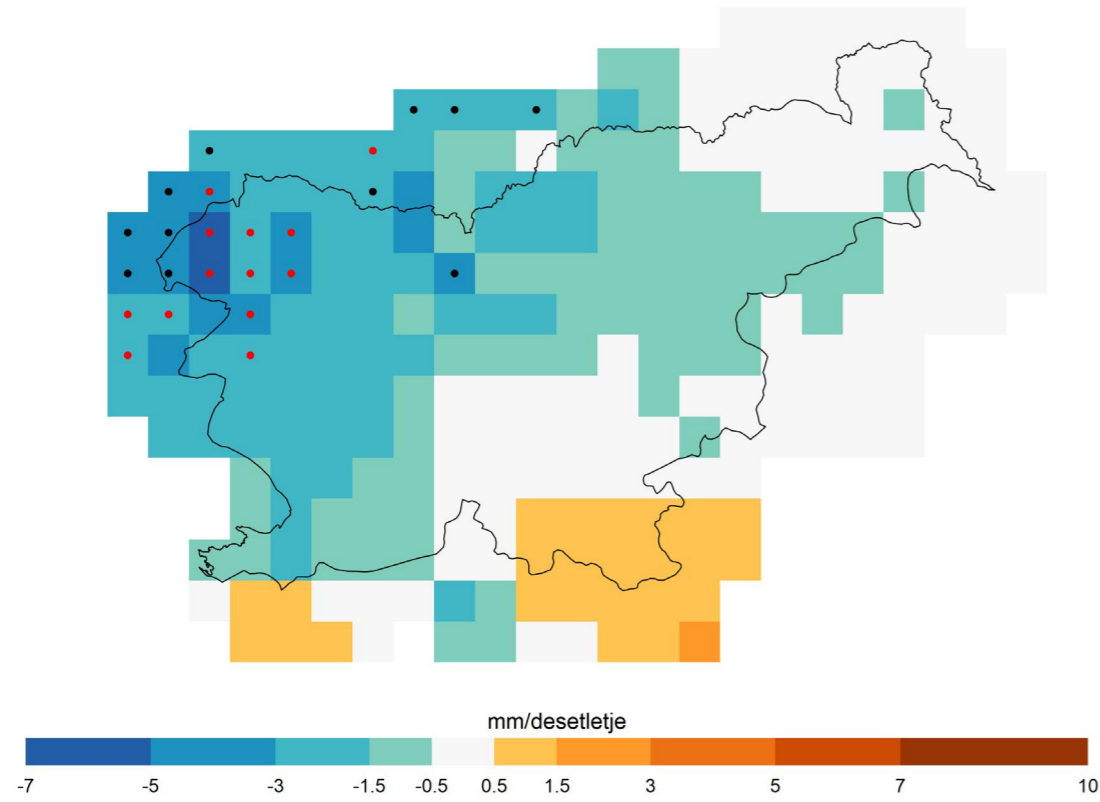
Trend največjega vodnega primanjkljaja, RCP4.5, zima



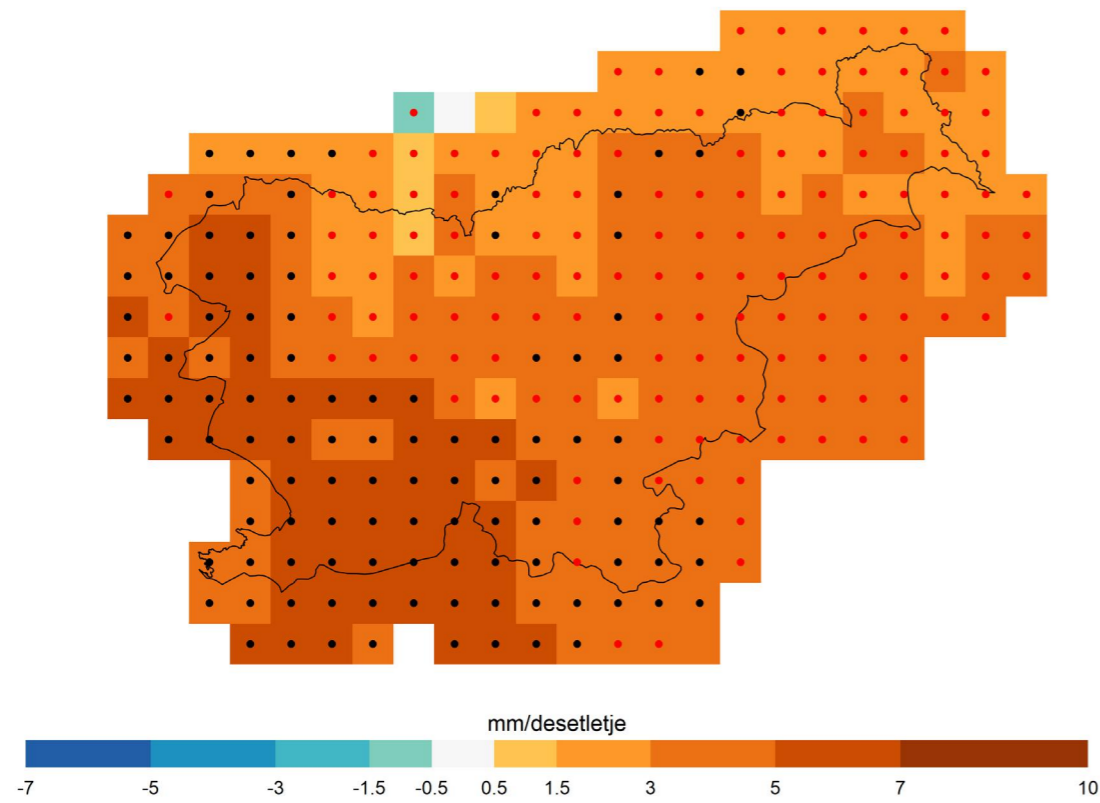
Slika 3.65 | Trendi največjega vodnega primanjkljaja spomladi (zgoraj) in poleti (spodaj) s pripadajočo zanesljivostjo za scenarij RCP4.5 v obdobju 1981–2100. Črne pike označujejo celice z zanesljivim trendom, rdeče pike celice z nezanesljivim trendom. V ostalih celicah ni izrazitega trenda (zaznane spremembe so manjše od naravne spremenljivosti).

Slika 3.66 | Trendi največjega vodnega primanjkljaja jeseni (zgoraj) in pozimi (spodaj) s pripadajočo zanesljivostjo za scenarij RCP4.5 v obdobju 1981–2100. Črne pike označujejo celice z zanesljivim trendom, rdeče pike celice z nezanesljivim trendom. V ostalih celicah ni izrazitega trenda (zaznane spremembe so manjše od naravne spremenljivosti).

Trend največjega vodnega primanjkljaja, RCP8.5, pomlad

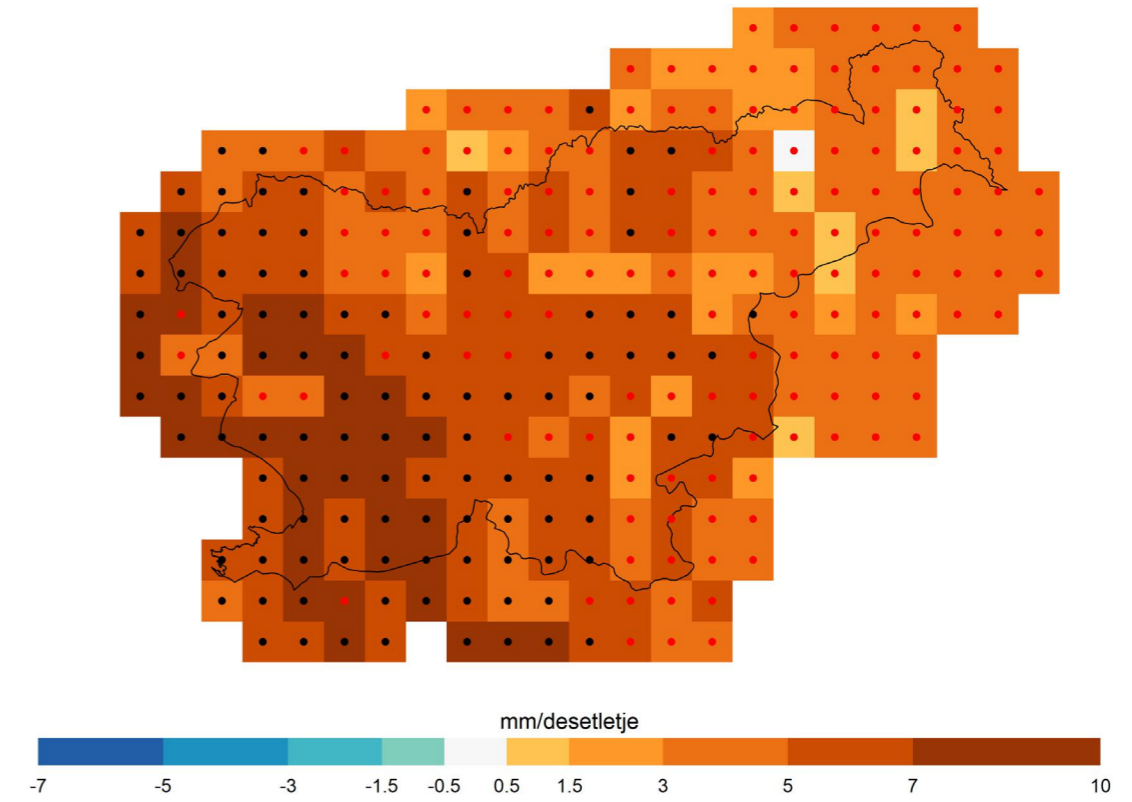


Trend največjega vodnega primanjkljaja, RCP8.5, poletje

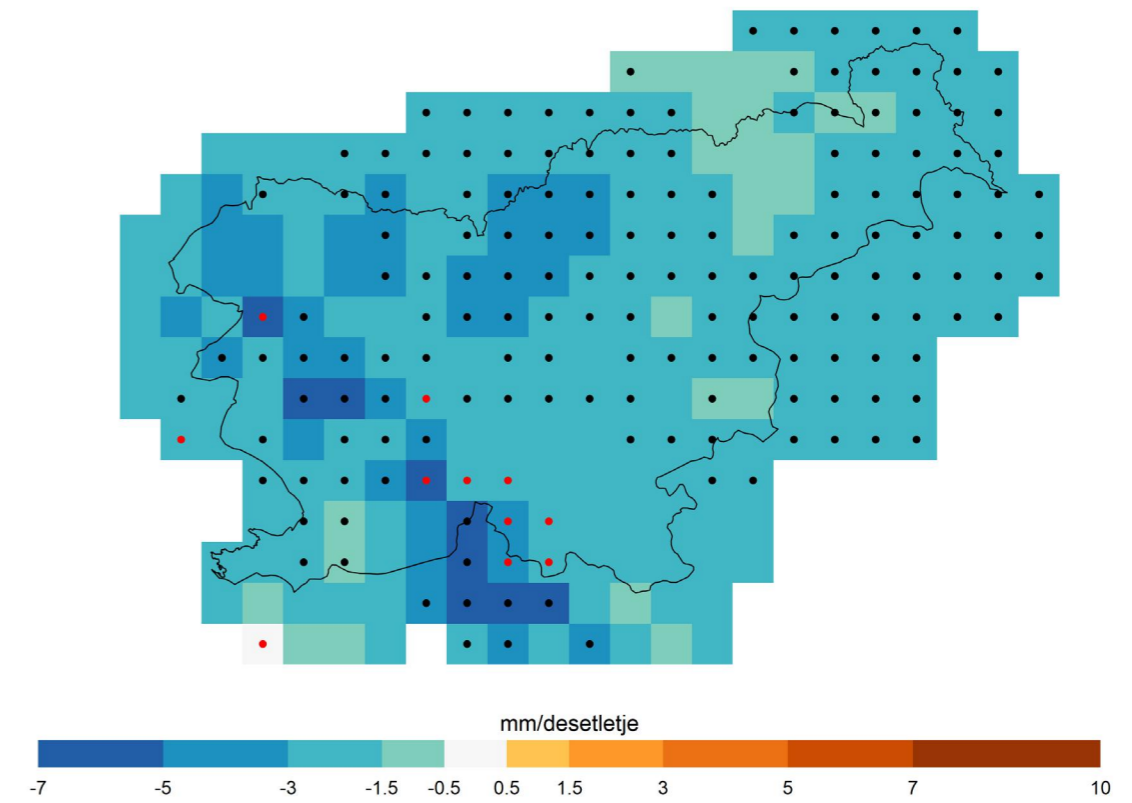


Slika 3.67 | Trendi največjega vodnega primanjkljaja spomladi (zgoraj) in poleti (spodaj) s pripadajočo zanesljivostjo za scenarij RCP8.5 v obdobju 1981–2100. Črne pike označujejo celice z zanesljivim trendom, rdeče pike celice z nezanesljivim trendom. V ostalih celicah ni izrazitega trenda (zaznane spremembe so manjše od naravne spremenljivosti).

Trend največjega vodnega primanjkljaja, RCP8.5, jesen



Trend največjega vodnega primanjkljaja, RCP8.5, zima



Slika 3.68 | Trendi največjega vodnega primanjkljaja jeseni (zgoraj) in pozimi (spodaj) s pripadajočo zanesljivostjo za scenarij RCP8.5 v obdobju 1981–2100. Črne pike označujejo celice z zanesljivim trendom, rdeče pike celice z nezanesljivim trendom. V ostalih celicah ni izrazitega trenda (zaznane spremembe so manjše od naravne spremenljivosti).



Referenčna evapotranspiracija, Posočje

Sezona	Scenarij	2011–2040			2041–2070			2071–2100		
		Najmanj	Mediana	Največ	Najmanj	Mediana	Največ	Najmanj	Mediana	Največ
pomlad	RCP2.6	2	4	6	2	2	3	3	4	5
	RCP4.5	-2	1	4	1	5	7	2	7	9
	RCP8.5	0	3	3	3	4	8	4	7	17
poletje	RCP2.6	3	5	7	3	5	8	4	5	7
	RCP4.5	-2	3	5	7	8	11	1	6	13
	RCP8.5	0	4	7	1	6	10	5	18	24
jesen	RCP2.6	3	3	3	6	7	7	2	6	10
	RCP4.5	3	7	10	4	10	20	5	11	19
	RCP8.5	4	7	9	5	10	21	10	19	33
zima	RCP2.6	-2	1	5	3	4	4	0	1	3
	RCP4.5	0	3	5	-3	3	15	1	3	13
	RCP8.5	2	5	9	3	8	16	2	11	24
leto	RCP2.6	3	4	6	3	5	6	3	5	6
	RCP4.5	0	3	5	5	7	11	2	8	11
	RCP8.5	2	4	6	2	6	11	7	14	23

Preglednica 3.1 | Največja vrednost, mediana in najmanjša vrednost relativne spremembe povprečne evapotranspiracije (v %) v regiji Posočje po meteoroloških letnih časih in za celo leto od povprečja v obdobju 1981–2010

Referenčna evapotranspiracija, severovzhodna regija

Sezona	Scenarij	2011–2040			2041–2070			2071–2100		
		Najmanj	Mediana	Največ	Najmanj	Mediana	Največ	Najmanj	Mediana	Največ
pomlad	RCP2.6	0	4	7	2	3	4	1	4	8
	RCP4.5	-2	1	4	-1	3	6	1	4	8
	RCP8.5	3	3	6	1	3	10	3	6	17
poletje	RCP2.6	3	6	9	5	6	7	2	5	8
	RCP4.5	-5	1	5	3	7	9	-2	4	9
	RCP8.5	0	3	6	-3	3	8	0	9	22
jesen	RCP2.6	3	3	3	6	7	7	-1	4	8
	RCP4.5	0	5	9	-1	6	17	1	7	13
	RCP8.5	0	6	8	0	4	19	2	10	28
zima	RCP2.6	-1	3	7	3	4	6	5	5	5
	RCP4.5	1	3	5	-1	3	21	3	6	20
	RCP8.5	2	4	12	2	6	17	7	14	34
leto	RCP2.6	2	5	7	5	5	5	1	4	8
	RCP4.5	-2	2	4	3	5	10	0	5	10
	RCP8.5	2	3	7	0	3	11	3	8	22

Preglednica 3.3 | Največja vrednost, mediana in najmanjša vrednost relativne spremembe povprečne evapotranspiracije (v %) v severovzhodni regiji po meteoroloških letnih časih in za celo leto od povprečja v obdobju 1981–2010

Referenčna evapotranspiracija, osrednja regija

Sezona	Scenarij	2011–2040			2041–2070			2071–2100		
		Najmanj	Mediana	Največ	Najmanj	Mediana	Največ	Najmanj	Mediana	Največ
pomlad	RCP2.6	0	4	7	2	2	2	1	4	6
	RCP4.5	-1	1	5	0	4	5	1	6	9
	RCP8.5	2	3	5	1	4	8	2	7	16
poletje	RCP2.6	3	6	9	5	6	6	2	6	9
	RCP4.5	-3	2	5	3	8	9	-1	5	10
	RCP8.5	-1	3	6	-1	4	9	0	12	23
jesen	RCP2.6	2	3	3	6	6	7	0	5	9
	RCP4.5	0	5	8	0	7	17	3	7	13
	RCP8.5	0	7	8	1	5	19	4	11	28
zima	RCP2.6	-2	1	4	2	3	3	1	3	5
	RCP4.5	1	3	6	-1	2	16	2	5	16
	RCP8.5	2	5	8	2	6	12	6	13	25
leto	RCP2.6	2	4	7	4	5	5	2	5	8
	RCP4.5	-1	3	4	4	5	10	1	6	10
	RCP8.5	2	3	6	0	4	11	4	10	22

Preglednica 3.2 | Največja vrednost, mediana in najmanjša vrednost relativne spremembe povprečne evapotranspiracije (v %) v osrednji regiji po meteoroloških letnih časih in za celo leto od povprečja v obdobju 1981–2010

Referenčna evapotranspiracija, jugozahodna regija

Sezona	Scenarij	2011–2040			2041–2070			2071–2100		
		Najmanj	Mediana	Največ	Najmanj	Mediana	Največ	Najmanj	Mediana	Največ
pomlad	RCP2.6	1	4	6	2	3	3	2	4	6
	RCP4.5	-1	1	5	2	4	7	2	7	9
	RCP8.5	0	3	4	2	5	7	6	8	16
poletje	RCP2.6	2	5	7	3	4	5	2	4	6
	RCP4.5	-2	3	5	6	9	10	1	6	13
	RCP8.5	1	4	6	1	5	10	4	16	23
jesen	RCP2.6	2	3	4	5	6	7	1	5	10
	RCP4.5	2	6	7	3	8	18	4	9	17
	RCP8.5	2	6	8	4	9	19	9	15	30
zima	RCP2.6	0	1	3	2	3	3	1	2	2
	RCP4.5	0	1	4	0	2	12	3	3	10
	RCP8.5	1	4	5	2	6	13	1	11	20
leto	RCP2.6	2	4	6	4	4	4	2	4	7
	RCP4.5	0	3	4	5	6	10	2	7	11
	RCP8.5	2	3	5	3	6	10	7	13	22

Preglednica 3.4 | Največja vrednost, mediana in najmanjša vrednost relativne spremembe povprečne evapotranspiracije (v %) v jugozahodni regiji po meteoroloških letnih časih in za celo leto od povprečja v obdobju 1981–2010

Referenčna evapotranspiracija, visokogorje

Sezona	Scenarij	2011–2040			2041–2070			2071–2100		
		Najmanj	Mediana	Največ	Najmanj	Mediana	Največ	Najmanj	Mediana	Največ
pomlad	RCP2.6	2	4	6	1	2	3	4	4	5
	RCP4.5	-1	2	9	0	5	10	1	7	15
	RCP8.5	1	4	6	2	6	15	4	12	27
poletje	RCP2.6	4	5	7	4	7	10	5	6	7
	RCP4.5	-3	2	7	6	8	10	0	6	12
	RCP8.5	0	3	9	1	5	10	5	15	23
jesen	RCP2.6	1	3	4	6	7	7	2	5	9
	RCP4.5	2	5	11	2	9	17	6	10	16
	RCP8.5	2	7	11	5	9	19	11	18	28
zima	RCP2.6	-2	2	7	2	4	6	2	4	6
	RCP4.5	1	2	10	-1	4	16	1	5	17
	RCP8.5	2	6	11	4	8	20	8	18	29
leto	RCP2.6	3	4	6	3	5	7	4	5	6
	RCP4.5	0	3	6	4	8	10	2	7	12
	RCP8.5	2	4	8	2	6	12	7	14	24

Preglednica 3.5 | Največja vrednost, mediana in najmanjša vrednost relativne spremembe povprečne evapotranspiracije (v %) v regiji visokogorje po meteoroloških letnih časih in za celo leto od povprečja v obdobju 1981–2010

Referenčna evapotranspiracija, Slovenija

Sezona	Scenarij	2011–2040			2041–2070			2071–2100		
		Najmanj	Mediana	Največ	Najmanj	Mediana	Največ	Najmanj	Mediana	Največ
pomlad	RCP2.6	1	4	7	2	2	2	1	4	6
	RCP4.5	-1	2	5	0	4	6	2	6	9
	RCP8.5	2	3	4	2	4	8	4	7	17
poletje	RCP2.6	3	6	8	5	6	7	3	5	8
	RCP4.5	-3	2	5	4	8	9	-1	5	11
	RCP8.5	0	3	6	-1	4	9	1	14	22
jesen	RCP2.6	2	3	3	6	6	7	0	5	9
	RCP4.5	1	5	8	1	8	18	3	8	15
	RCP8.5	1	7	8	2	7	19	5	13	29
zima	RCP2.6	-2	1	4	3	3	3	1	3	4
	RCP4.5	1	3	6	-1	3	16	2	5	15
	RCP8.5	2	5	8	3	7	14	6	13	25
leto	RCP2.6	2	4	7	4	5	5	2	5	7
	RCP4.5	-1	3	4	5	5	10	1	6	10
	RCP8.5	2	3	6	1	4	11	5	11	22

Preglednica 3.7 | Največja vrednost, mediana in najmanjša vrednost relativne spremembe povprečne evapotranspiracije (v %) v Sloveniji po meteoroloških letnih časih in za celo leto od povprečja v obdobju 1981–2010

Referenčna evapotranspiracija, prehodna regija

Sezona	Scenarij	2011–2040			2041–2070			2071–2100		
		Najmanj	Mediana	Največ	Najmanj	Mediana	Največ	Najmanj	Mediana	Največ
pomlad	RCP2.6	1	4	7	2	2	3	2	4	6
	RCP4.5	0	1	6	0	5	7	2	7	10
	RCP8.5	1	3	5	2	5	10	4	9	19
poletje	RCP2.6	4	6	8	5	6	7	4	6	8
	RCP4.5	-3	3	6	5	8	10	0	5	12
	RCP8.5	0	3	7	0	5	9	1	15	23
jesen	RCP2.6	1	2	4	6	6	6	1	5	9
	RCP4.5	1	5	9	2	8	18	4	9	15
	RCP8.5	1	7	10	3	8	20	7	15	30
zima	RCP2.6	-2	1	4	2	3	4	-2	2	5
	RCP4.5	1	3	7	-1	3	16	1	5	14
	RCP8.5	2	6	8	3	8	13	6	15	24
leto	RCP2.6	3	4	6	4	5	5	3	5	7
	RCP4.5	0	3	5	5	6	10	2	7	11
	RCP8.5	2	3	6	2	5	11	6	13	22

Preglednica 3.6 | Največja vrednost, mediana in najmanjša vrednost relativne spremembe povprečne evapotranspiracije (v %) v prehodni regiji po meteoroloških letnih časih in za celo leto od povprečja v obdobju 1981–2010

Napajanje podzemne vode, Slovenija

Scenarij	2011–2040			2041–2070			2071–2100		
	Najmanj	Mediana	Največ	Najmanj	Mediana	Največ	Najmanj	Mediana	Največ
RCP4.5	-3	4	23	-4	7	14	-3	13	25
RCP8.5	-6	3	14	6	11	24	1	10	43

Preglednica 3.8 | Največja vrednost, mediana in najmanjša vrednost relativne spremembe napajanja podzemne vode (v %) v Sloveniji od povprečja v obdobju 1981–2010



Največji vodni primanjkljaj

Regija	Sezona	RCP2.6			RCP4.5			RCP8.5		
		Spodnja	Trend	Zgornja	Spodnja	Trend	Zgornja	Spodnja	Trend	Zgornja
<b>Posočje</b>	pomlad	-98	-20	45	-71	1	63	-113	-27	59
	poletje	-100	13	81	-71	13	126	-76	50	188
	jesen	-49	47	125	-81	35	138	-99	72	207
	zima	-124	-18	55	-87	-13	61	-135	-32	39
	leto	-64	17	71	-49	14	105	-84	52	169
<b>osrednja</b>	pomlad	-49	-5	32	-44	-2	37	-55	-6	54
	poletje	-67	3	49	-50	10	87	-78	34	130
	jesen	-26	23	73	-97	28	107	-151	44	151
	zima	-53	-4	30	-45	-10	20	-65	-19	20
	leto	-58	7	50	-38	11	76	-64	32	120
<b>SV</b>	pomlad	-28	1	30	-41	-1	33	-36	0	48
	poletje	-54	1	43	-41	10	63	-62	25	83
	jesen	-32	9	62	-83	25	88	-129	29	114
	zima	-32	-3	17	-35	-9	13	-47	-16	10
	leto	-51	-1	40	-35	9	58	-53	21	76
<b>JZ</b>	pomlad	-66	-19	23	-44	2	46	-71	-10	43
	poletje	-50	23	67	-44	15	101	-89	51	171
	jesen	-21	36	83	-68	23	113	-119	64	175
	zima	-73	-6	49	-71	-16	45	-81	-16	32
	leto	-46	24	64	-41	16	96	-87	54	165
<b>visoko-gorje</b>	pomlad	-87	-7	48	-62	-4	39	-95	-27	38
	poletje	-106	-3	72	-76	5	87	-76	30	166
	jesen	-56	14	111	-86	26	119	-111	57	169
	zima	-126	-16	27	-69	-8	47	-111	-28	36
	leto	-61	-1	48	-37	6	73	-83	19	115
<b>prehodna</b>	pomlad	-71	-10	36	-50	-1	44	-66	-9	47
	poletje	-75	9	61	-52	9	98	-74	41	150
	jesen	-29	30	86	-80	21	106	-134	57	166
	zima	-88	-8	43	-59	-10	31	-88	-23	32
	leto	-54	11	59	-39	11	86	-69	41	140
<b>Slovenija</b>	pomlad	-69	-7	35	-49	-1	43	-73	-7	51
	poletje	-75	6	60	-53	10	96	-75	36	155
	jesen	-32	24	90	-87	26	110	-139	50	166
	zima	-91	-6	39	-58	-10	32	-88	-20	27
	leto	-57	8	57	-39	11	86	-69	34	142

Preglednica 3.9 | Spodnja meja, trend in zgornja meja 95-odstotnega intervala zaupanja za trend modelskega največjega vodnega primanjkljaja (v mm/desetletje) po meteoroloških letnih časih in za celo leto v obdobju 1981–2100